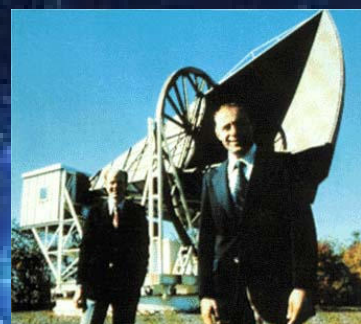
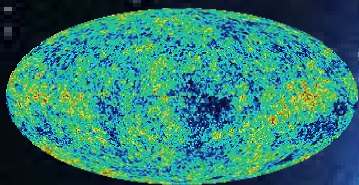


Violation de CP et étude de l'angle alpha du triangle d'unitarité dans Babar

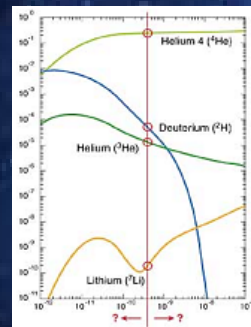
Marc Escalier, post-doc 2^e année
Dapnia/SPP/Saclay

Pourquoi étudier la violation de CP ?

D'où venons-nous ?
Pourquoi existons-nous ?



qté/ 10^6 H



1965, Penzias, Wilson, 3K ρ mat. ord.

Asymétrie matière/antimatière

1967, Sakharov:
violation CP

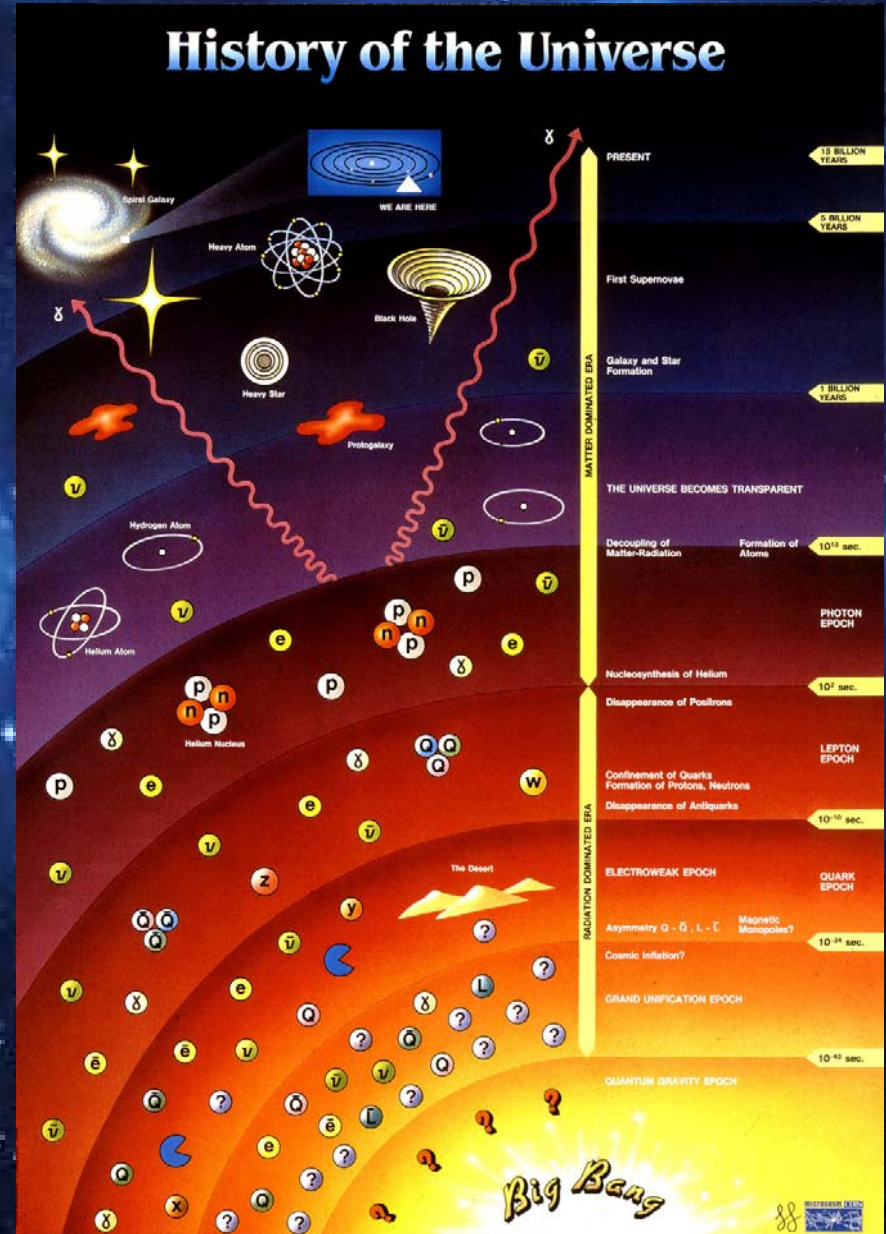
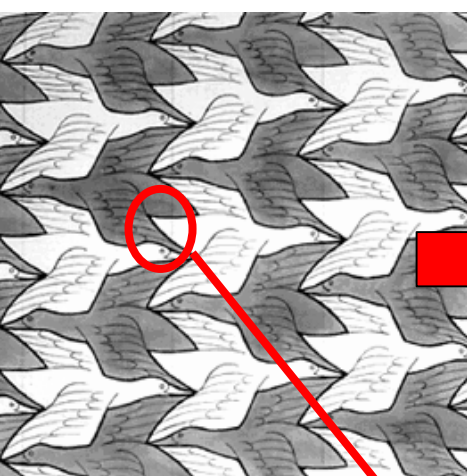
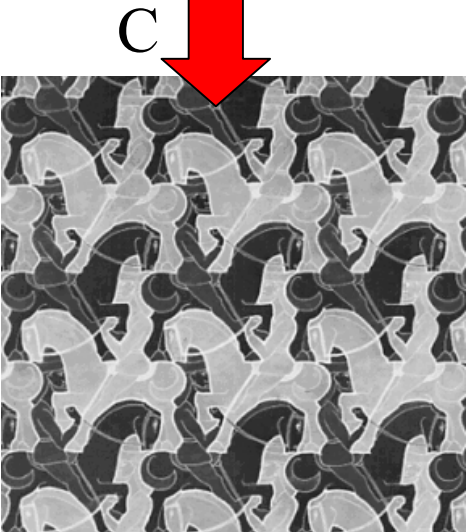
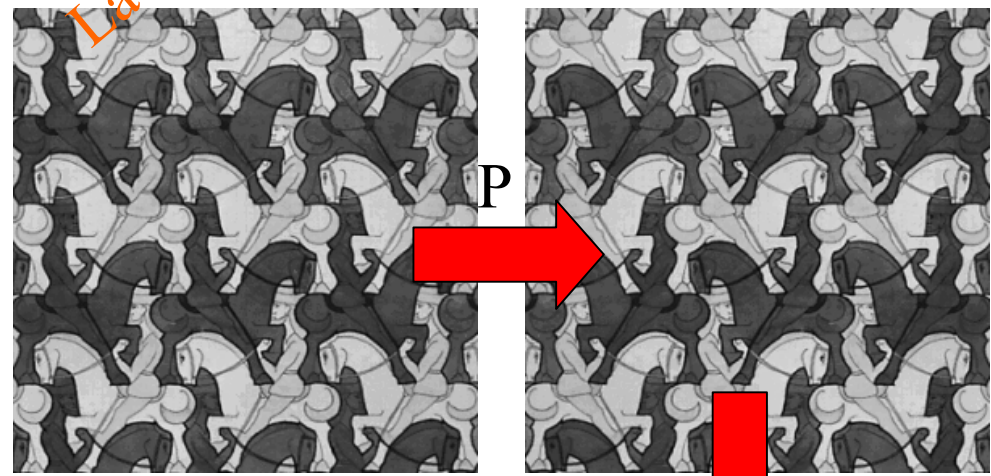
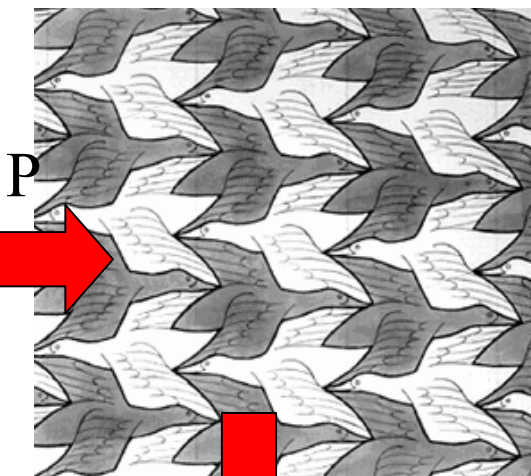


Illustration de violation de CP

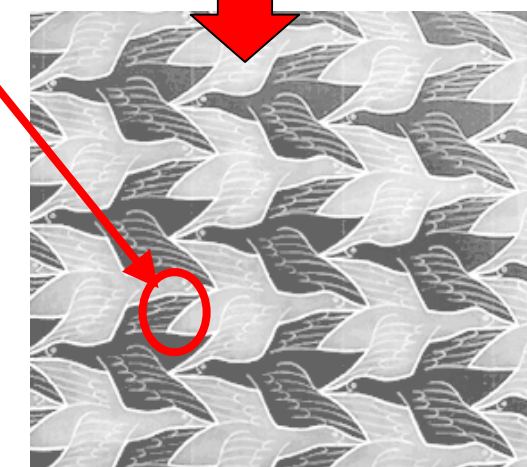
La violation de CP



queue vers le haut



queue vers le bas



oie blanche:

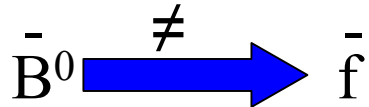
Dessins d'Escher

La violation de CP

- Conjugaison **C**: $Q \rightarrow -Q$
- Parité : **P** $(x,y,z) \rightarrow (-x,-y,-z)$
- Inversion temps: **T** $t \rightarrow -t$

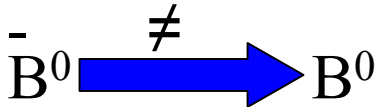
• directe (« désintégration »)

$$P(B \rightarrow f) \neq P(\bar{B} \rightarrow \bar{f})$$

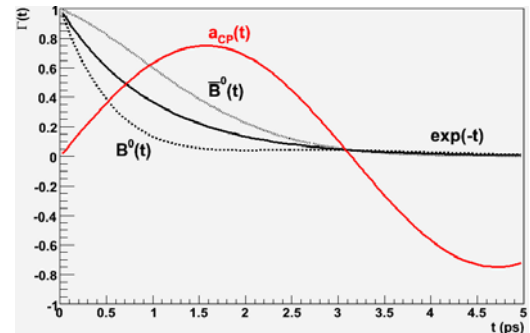
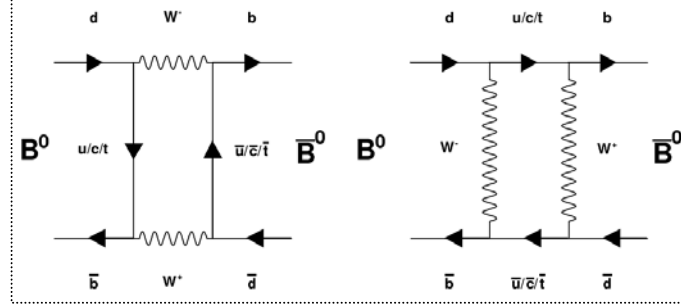
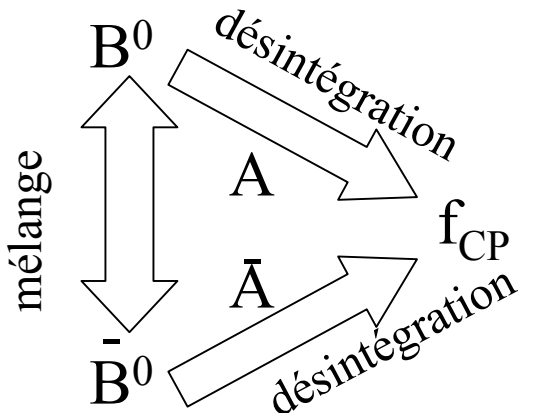


• indirecte (« mélange »)

$$P(B \rightarrow \bar{B}) \neq P(\bar{B} \rightarrow B)$$



• interf. entre désintégrations avec et sans mélange





Histoire violation CP

1949, Powell puzzle τ/θ

1954, Lüders, Pauli, Schwinger : CPT conservé



1956, Lee, Yang, tester conservation P
(<1957, P, C, T dites « conservés »)



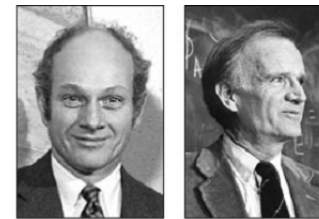
1957: Wu, violation P dans ${}^{60}\text{Co}$

balbutiements

Violation P

<1964: CP « conservé »: CP pair: $K_S \rightarrow \pi^+ \pi^-$, CP impair: $K_L \rightarrow \pi^+ \pi^- \pi^0$

1964, Christenson, Cronin, Fitch, Turlay



Violation CP indirecte/mélange dans kaons neutres

$K_L \rightarrow \pi^+ \pi^- (\sim 10^{-3})$

Violation CP

>1964, CPT conservé, C, P, CP violé par interaction faible

\mathcal{CP} : principe fondamental ou « accident » ?

- fondamental \rightarrow indépendamment du mélange

1998: violation T dans **kaons** neutres

K

CLEAR

(1993), 1999: violation **CP directe** dans **kaons** neutres (NA31, E731), KTEV, NA48

- fondamental \rightarrow d'autres systèmes

1975, Pais, Treiman: prédition \mathcal{CP} faible dans saveurs lourdes (c, b)
(mélange seul)

B

1981, Bigi, Carter, Sanda: prédition $\mathcal{CP} \gg$ dans interférence
désintégration $B \rightarrow J/\psi K_S$ avec et sans mélange, possibilité mesure $\sin 2\beta$



1987, Oddone, proposition usines à B asymétriques ($f(t)$)
(1^{ères} collisions, 1999)

2001: violation **CP interférence**, B neutres $B^0 \rightarrow J/\psi K_S$ Babar, Belle

2004: violation **CP directe** dans B neutres $B^0 \rightarrow K^+ \pi^-$ Babar, Belle

Principales mesures de violation de CP



1973: Kobayashi, Maskawa, mélange quarks : (+Cabibbo 1963)

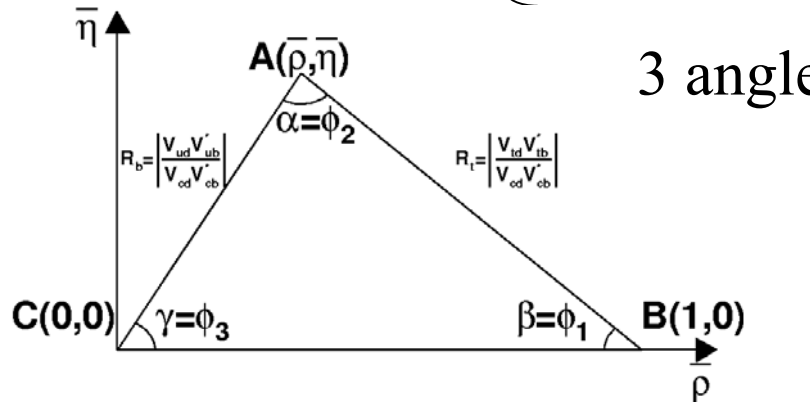
état propre interaction faible \neq état propre masse

$$\begin{pmatrix} d' \\ s' \\ b' \end{pmatrix} = \begin{pmatrix} V_{ud} & V_{us} & V_{ub} \\ V_{cd} & V_{cs} & V_{cb} \\ V_{td} & V_{ts} & V_{tb} \end{pmatrix} \begin{pmatrix} d \\ s \\ b \end{pmatrix}$$

Présence d'une phase
→ violation CP

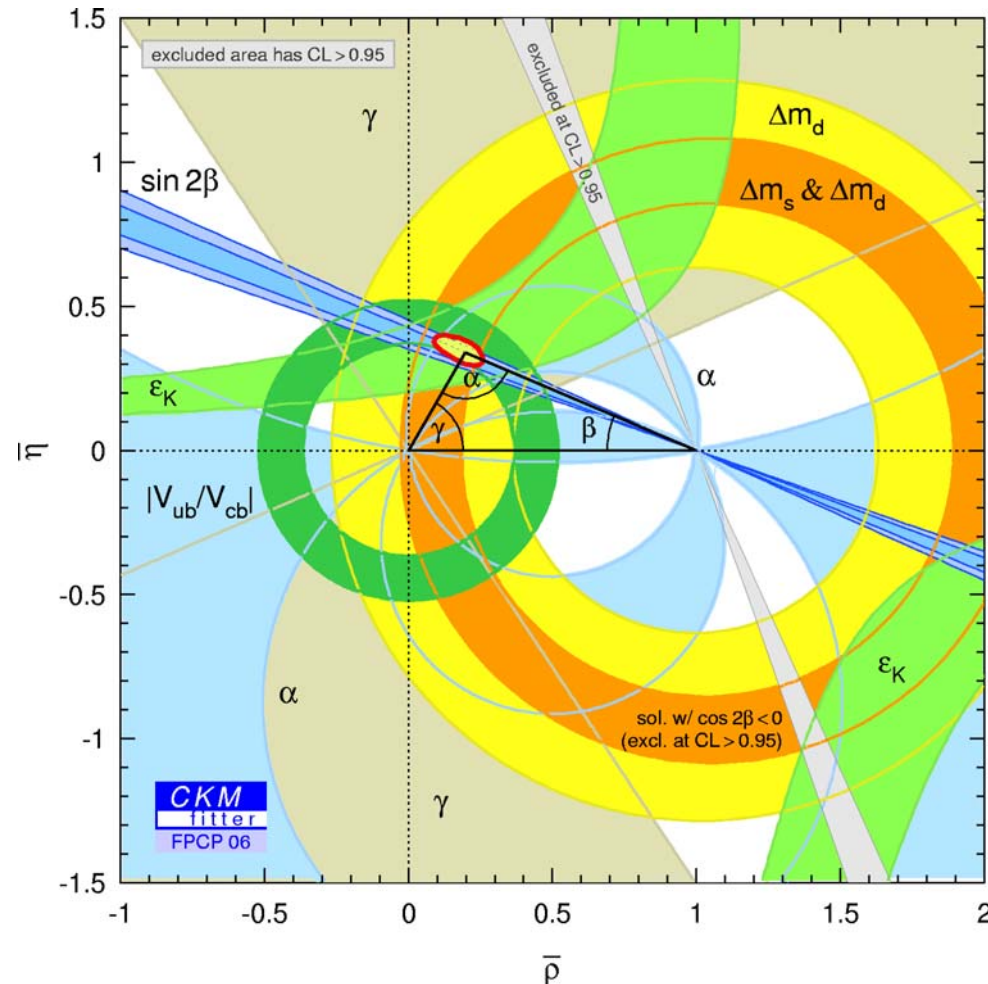
La matrice CKM et le triangle d'unitarité

V_{CKM} , unitaire $\begin{cases} V^\dagger V = 1 & \rightarrow \text{triangle d'unitarité} \\ VV^\dagger = 1 & \\ V_{ub}^* V_{ud} + V_{cb}^* V_{cd} + V_{tb}^* V_{td} = 0 \end{cases}$

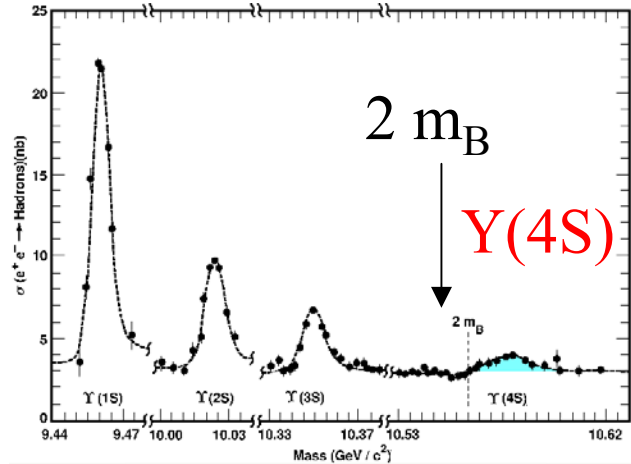


- $\alpha = 92.6^{+10.7}_{-9.3} {}^\circ$
- $\beta = 21.7^{+1.3}_{-1.2} {}^\circ \rightarrow$ précis
- $\gamma = 62^{+38}_{-24} {}^\circ$

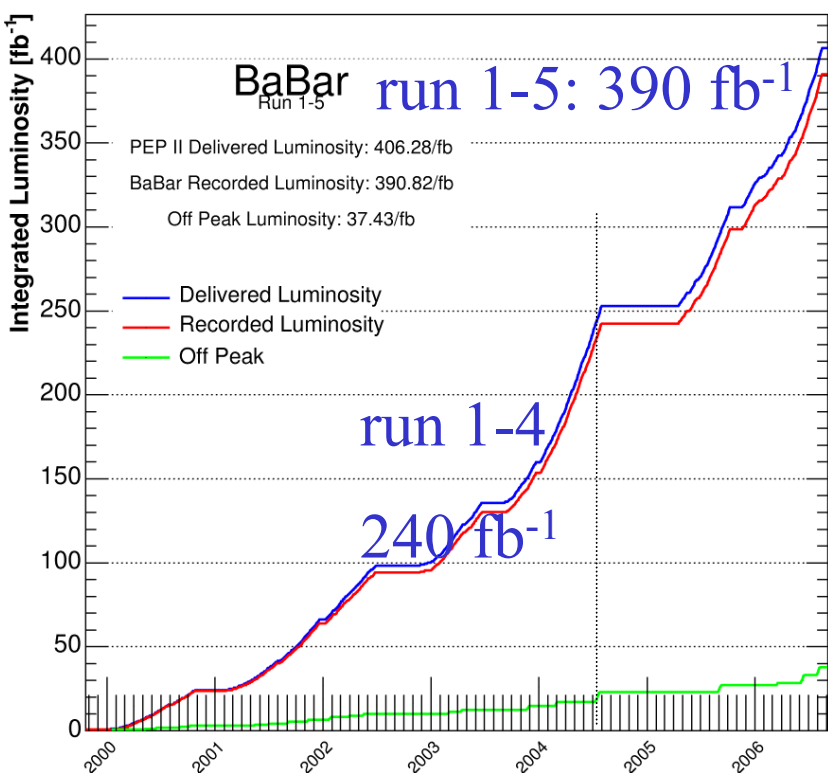
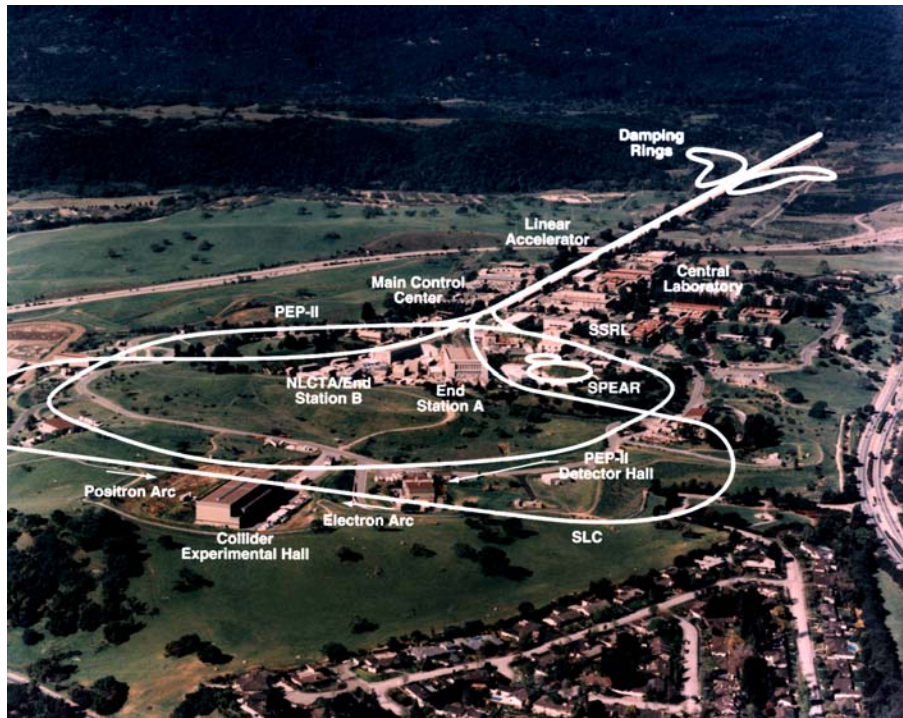
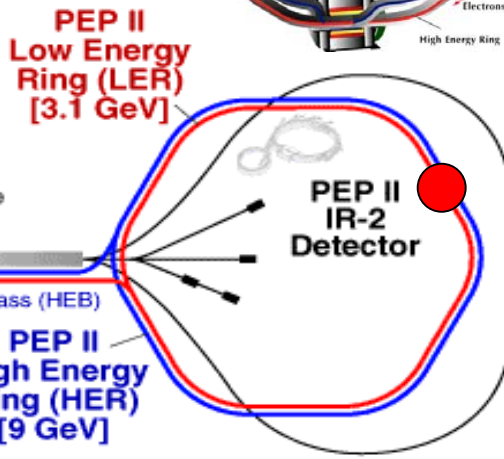
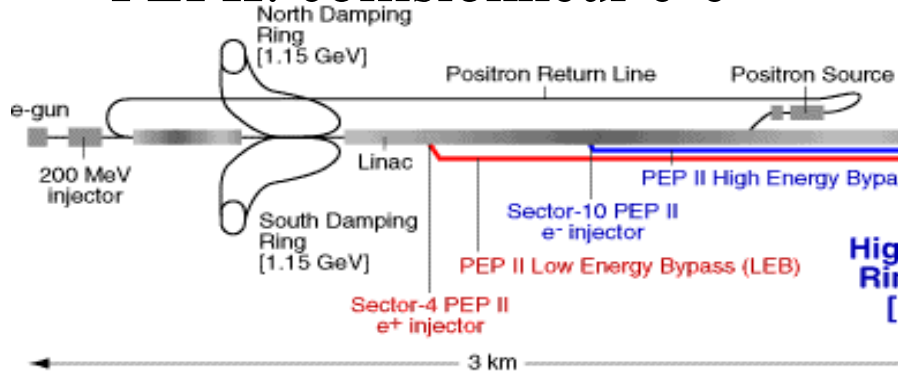
β : précis: mesurer avec méthodes \neq
 \rightarrow nouvelle physique ?
 γ & α : modes rares, (plus de stat)



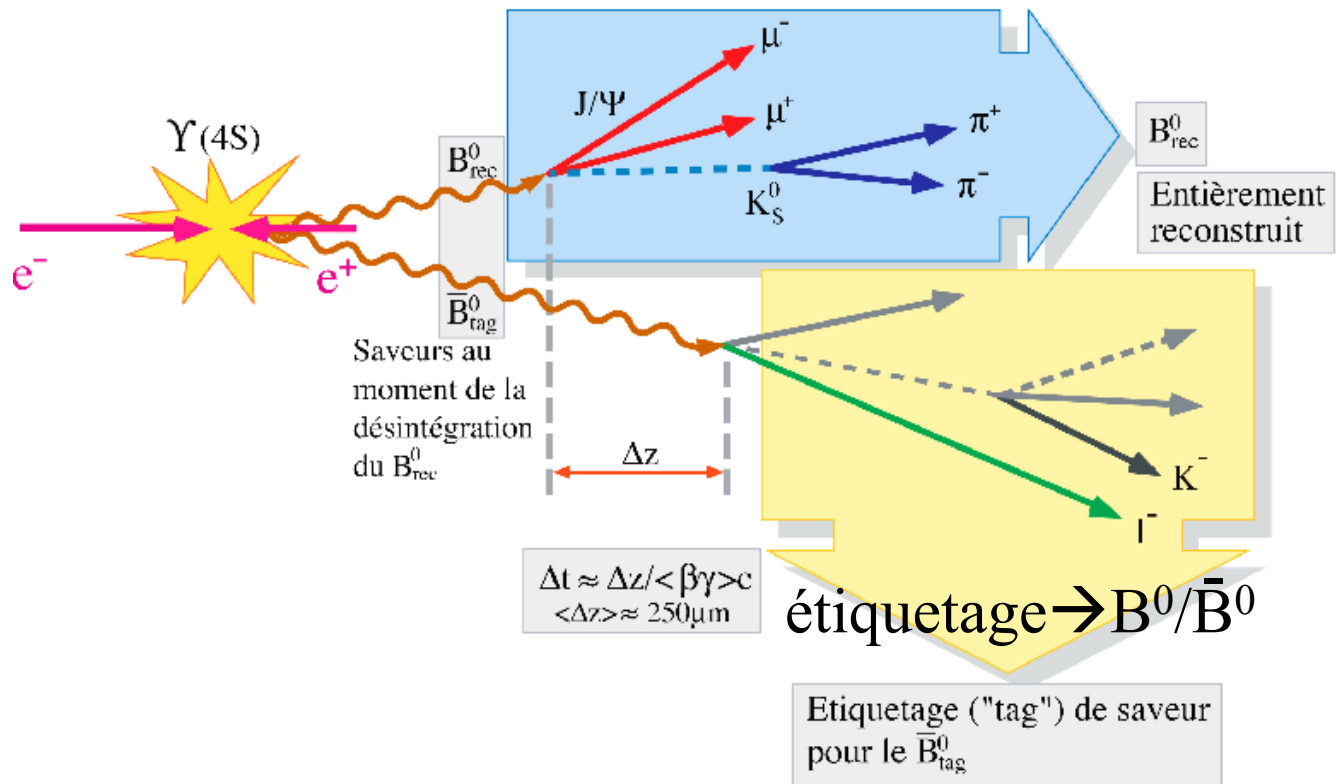
Expérience Babar



PEPII: collisionneur e^+e^-

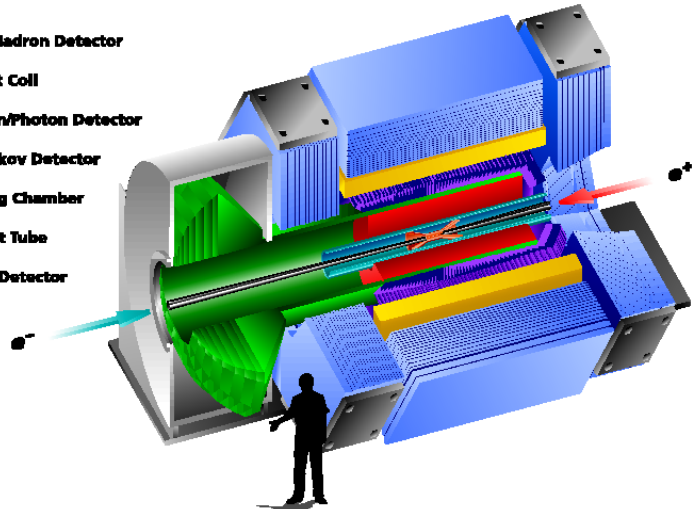


formalisme



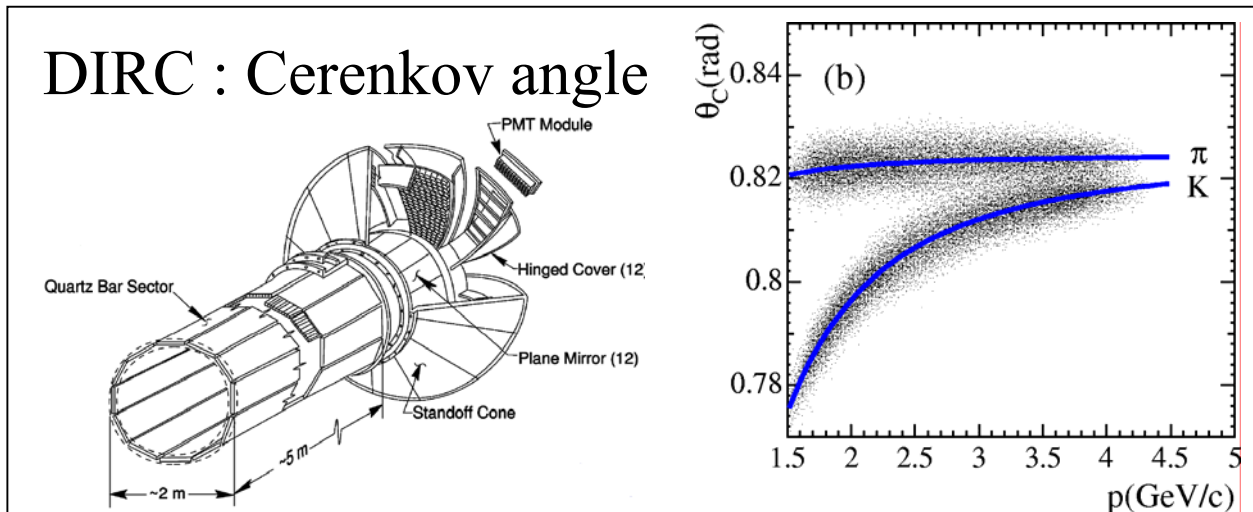
- DéTECTeur de vertex (SVT)
- Chambre à dérive (DCH)
- DéTECTeur Cerenkov (DIRC)
- Calorimètre électromagnétique (EMC)
- Aimant supraconducteur
- Retour de flux instrumenté (IFR)

BaBar Detector



Signal selection

- Hadron ID $\rightarrow \pi/K$ separation

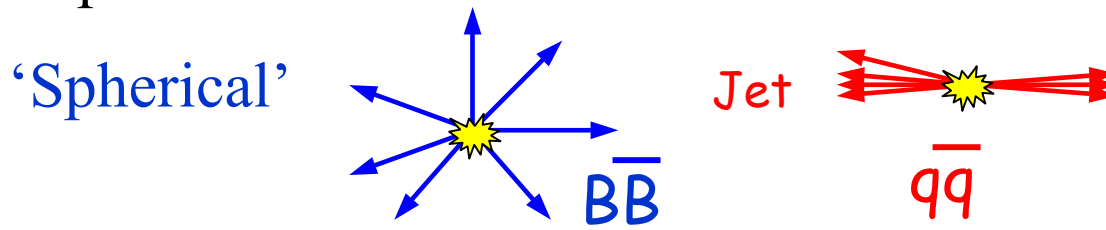


+ dE/dx using DCH

- Kinematical identification with
 - Beam energy substituted mass
 - Energy difference
- Event-shape variables: neural network

$$m_{\text{ES}} = \sqrt{E_{\text{beam}}^{*2} - p_B^{*2}}$$

$$\Delta E = E_B^* - E_{\text{beam}}^*$$



+mass-helicities

Extraction des paramètres

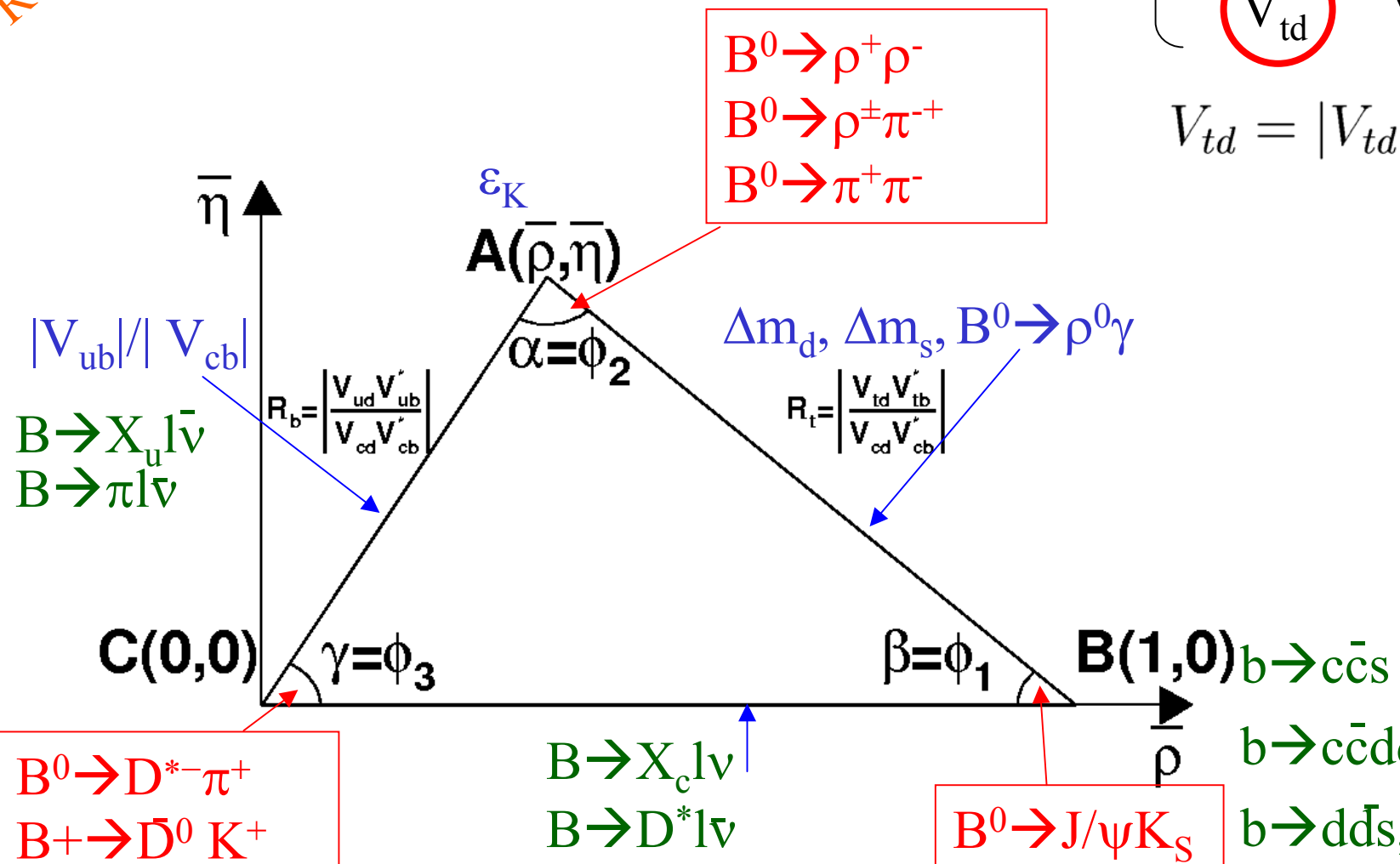
$$V_{ub} = |V_{ub}|e^{-i\gamma}$$

Revue analyses

- module élém matrice, + autr. contraintes
- angles: a_{CP}
- rapport des côtés: mélange B, b → ulv

| | | |
|----------|----------|----------|
| V_{ud} | V_{us} | V_{ub} |
| V_{cd} | V_{cs} | V_{cb} |
| V_{td} | V_{ts} | V_{tb} |

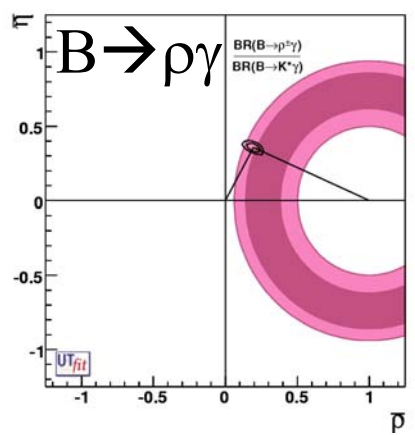
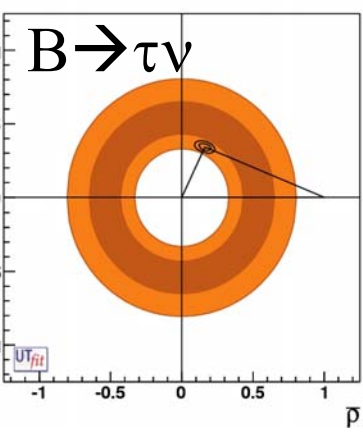
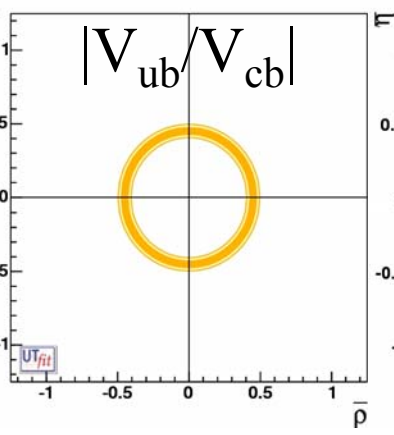
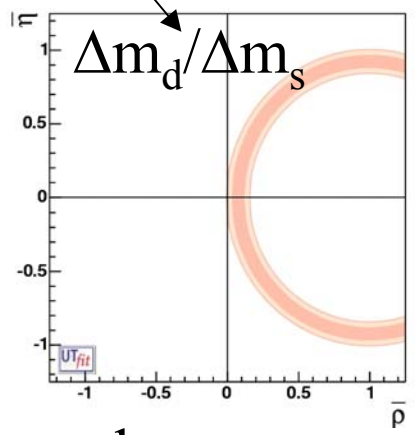
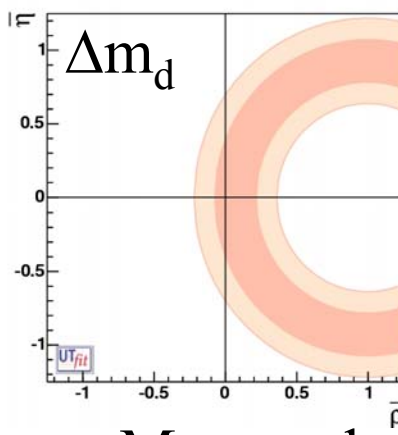
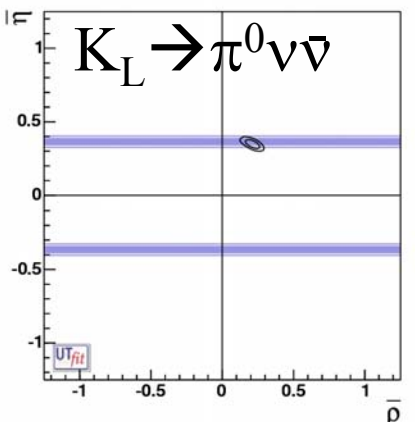
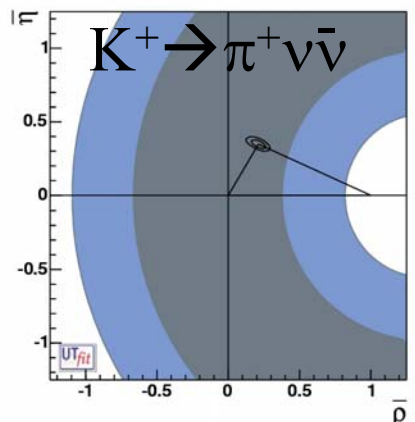
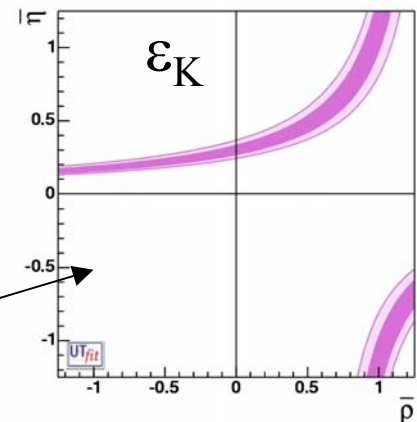
$$V_{td} = |V_{td}|e^{-i\beta}$$



Mesures

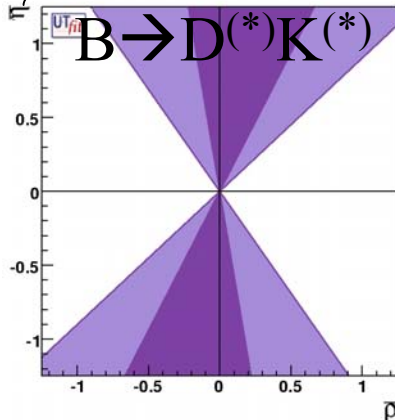
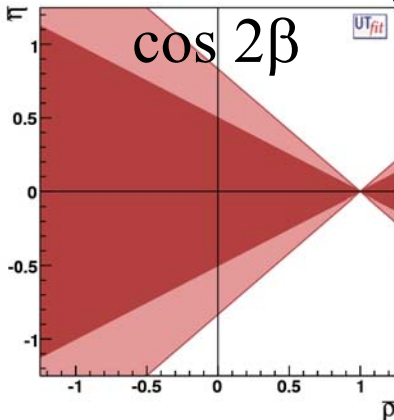
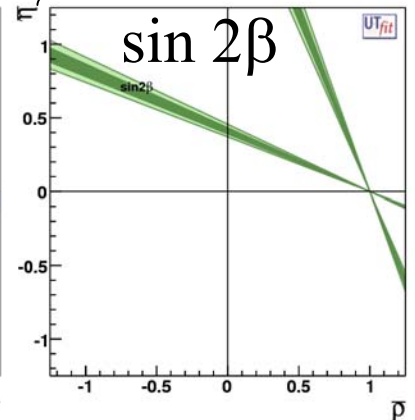
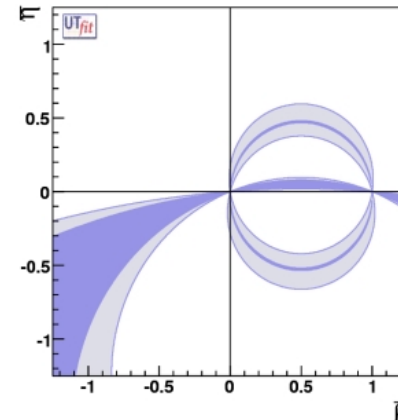
(+ autres analyses)

- Mesures directes: V_{ij}
(non dans Babar)

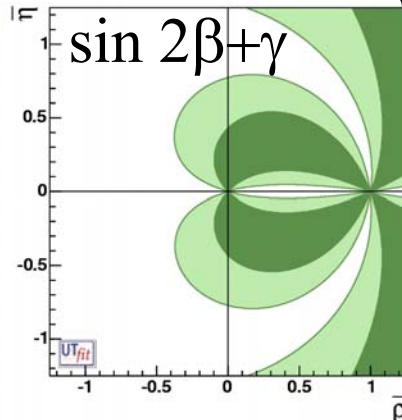


- Mesure des angles

α



γ



β

β

$$\beta = \arg \left(-\frac{V_{cd} V_{cb}^*}{V_{tb}^* V_{td}} \right)$$

$\cos 2\beta > 0$

(0,1)

-1

(0,0)

$\cos 2\beta < 0$

C

(0,0)

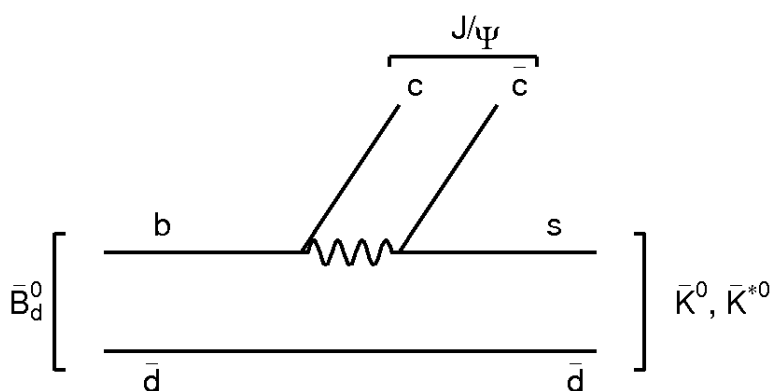
$$V_{td} = |V_{td}| e^{-i\beta}$$

$B^0 \bar{B}^0$ oscillation

A

(1,0)

B

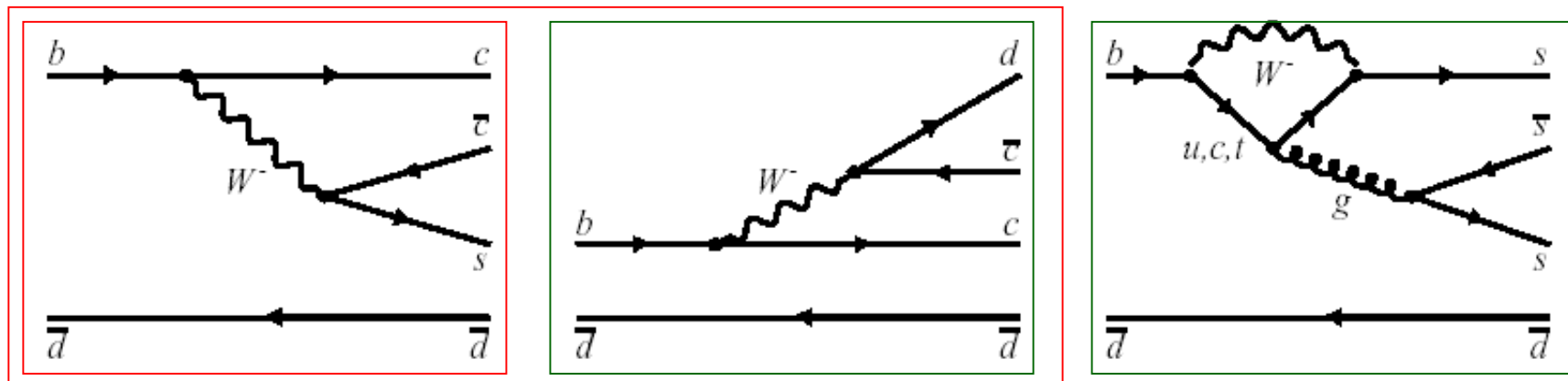


$\rightarrow B \rightarrow J/\Psi K_S$

$b \rightarrow c\bar{c}s$
charmonium
dominé arbre

$b \rightarrow c\bar{c}d$
charm et charmonium
présence pingouin

$b \rightarrow d\bar{d}s, s\bar{s}$
dominé pingouin
dominé pingouin



$J/\psi K_S^0$ (canal en or)

$D^{*+}D^-, D^+D^-$

$\phi K^0, K^+K^-K_S^0,$

$\psi(2S)K_S^0, \chi_{c1}K_S^0, \eta_c K_S^0$

$J/\psi \pi^0, D^{*+}D^{*-}$

$K_S^0 K_S^0 K_S^0, \eta' K^0, K_S^0 \pi^0,$

$J/\psi K_L^0$

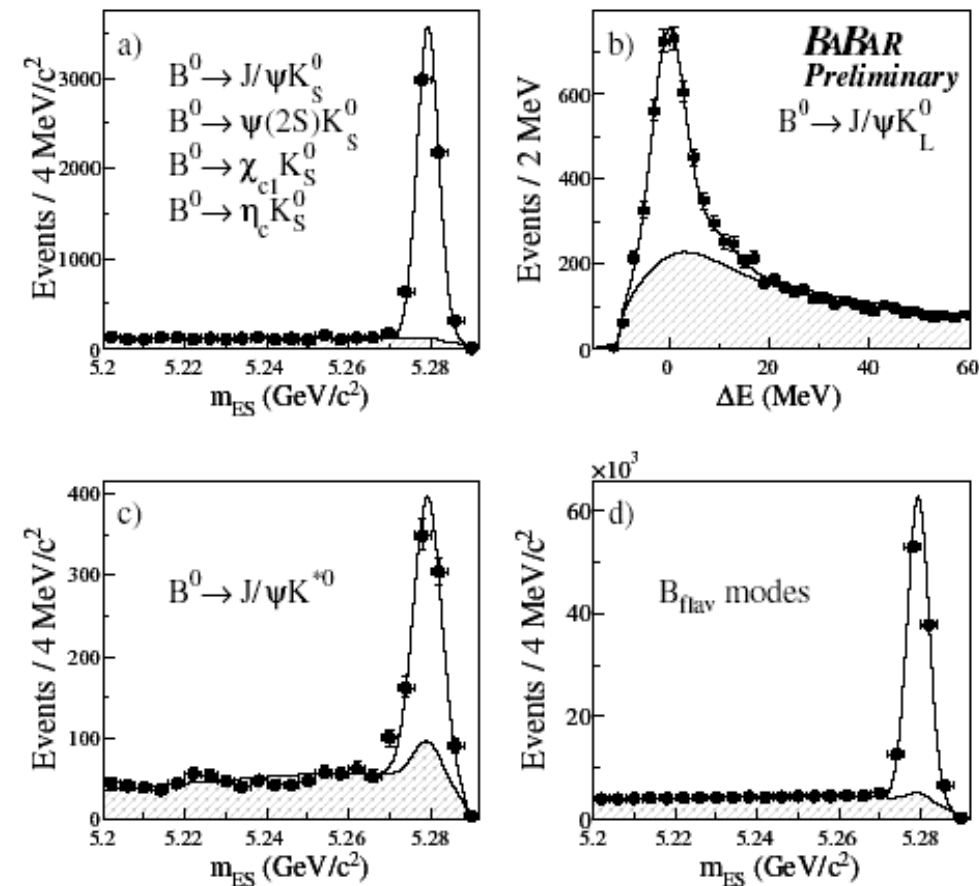
$J/\psi K^{*0} (K^{*0} \rightarrow K_S^0 \pi^0)$

$\omega K_S^0, f_0(980) K_S^0,$

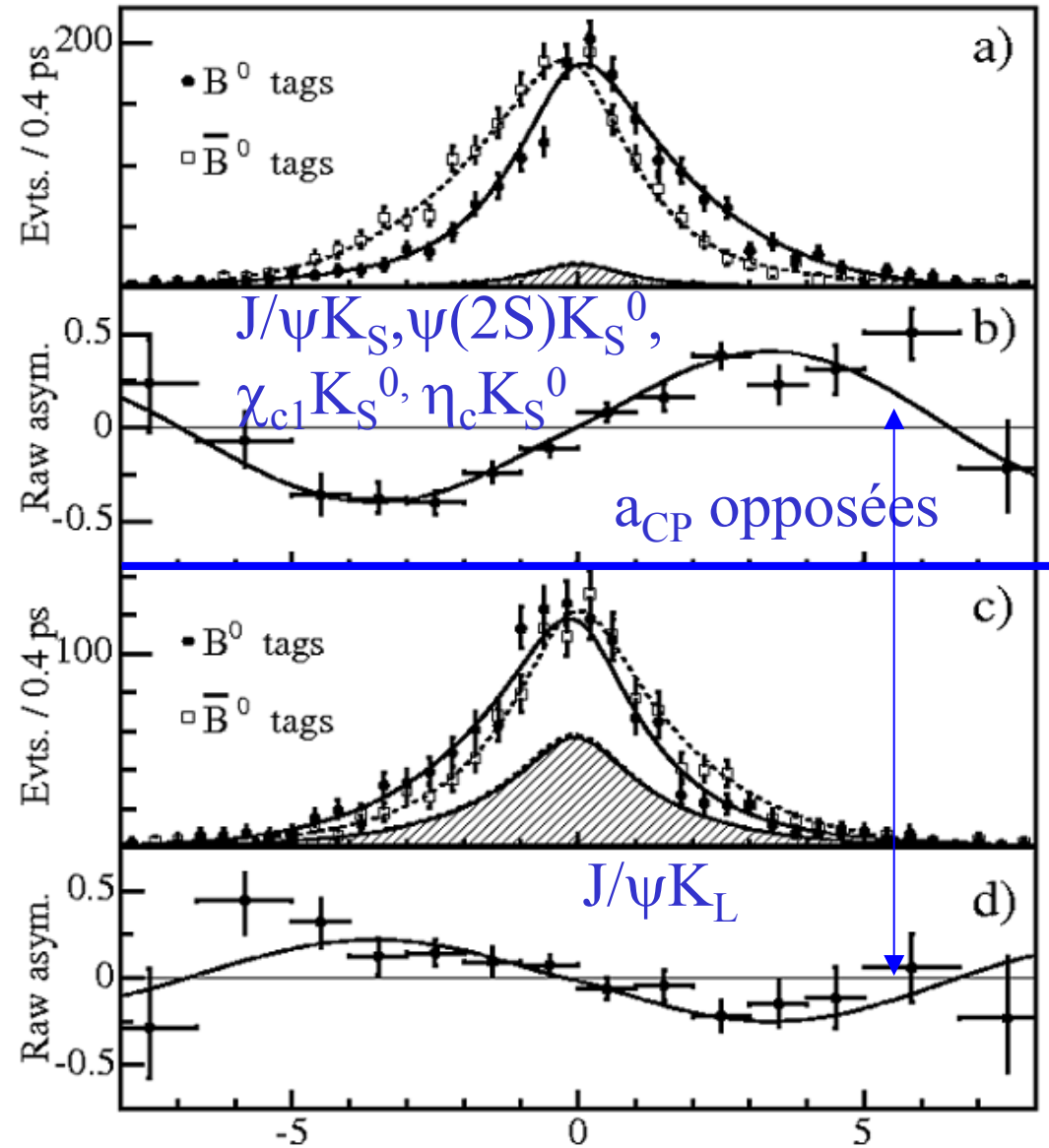
$K_S^0 K_S^0, \rho K_S^0$

347×10^6 BB

hep-ex/0607107



très propre expérimentalement,
BR importants (10^{-3} - 10^{-4})

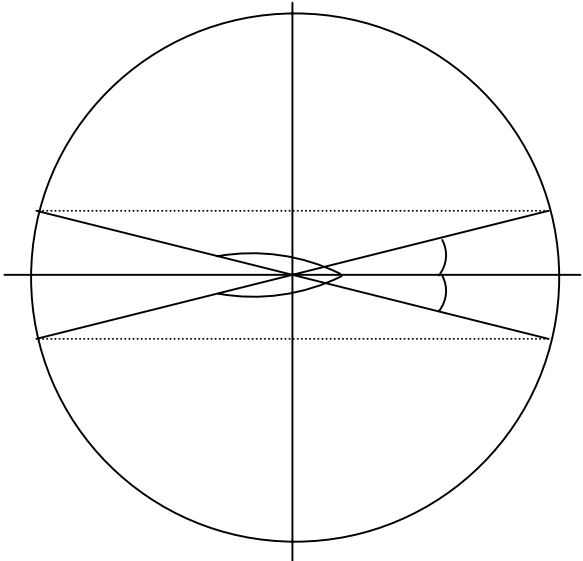


$$\sin 2\beta = 0.710 \pm 0.034 \pm 0.019$$

$$|\lambda| = 0.932 \pm 0.026 \pm 0.017$$

$$C_f = \frac{1 - |\lambda|^2}{1 + |\lambda|^2}$$

Ambiguités d'angle



soit ϕ un angle (α, β, γ)

Soit une mesure $|\sin 2\phi|=x$

4 solutions: $\phi=z$, $\phi=z+\pi$, $\phi=\pi/2-z$, $\phi=3\pi/2-z$
 $\alpha+\beta+\gamma=\pi \rightarrow 16$ solutions à γ sachant (α, β)

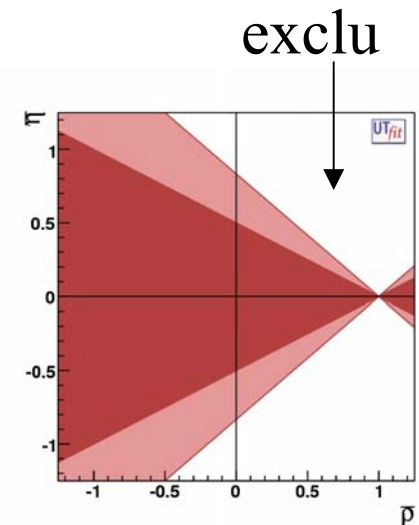
supprimer ambiguïtés:

- signe($\cos 2\phi$) \rightarrow supprime ambiguïté $\pi/2-\phi$
- signe($\sin \phi$) \rightarrow supprime ambiguïté $\pi+\phi$

- analyse $f(t)$ $B \rightarrow J/\psi K^{*0}$ ($K^{*0} \rightarrow K_s \pi^0$)
- $B^0 \rightarrow D^0 \pi^0$

$\rightarrow \beta = (21.2 \pm 1.0)^\circ$ or $(68.8 \pm 1.0)^\circ$

95% CL

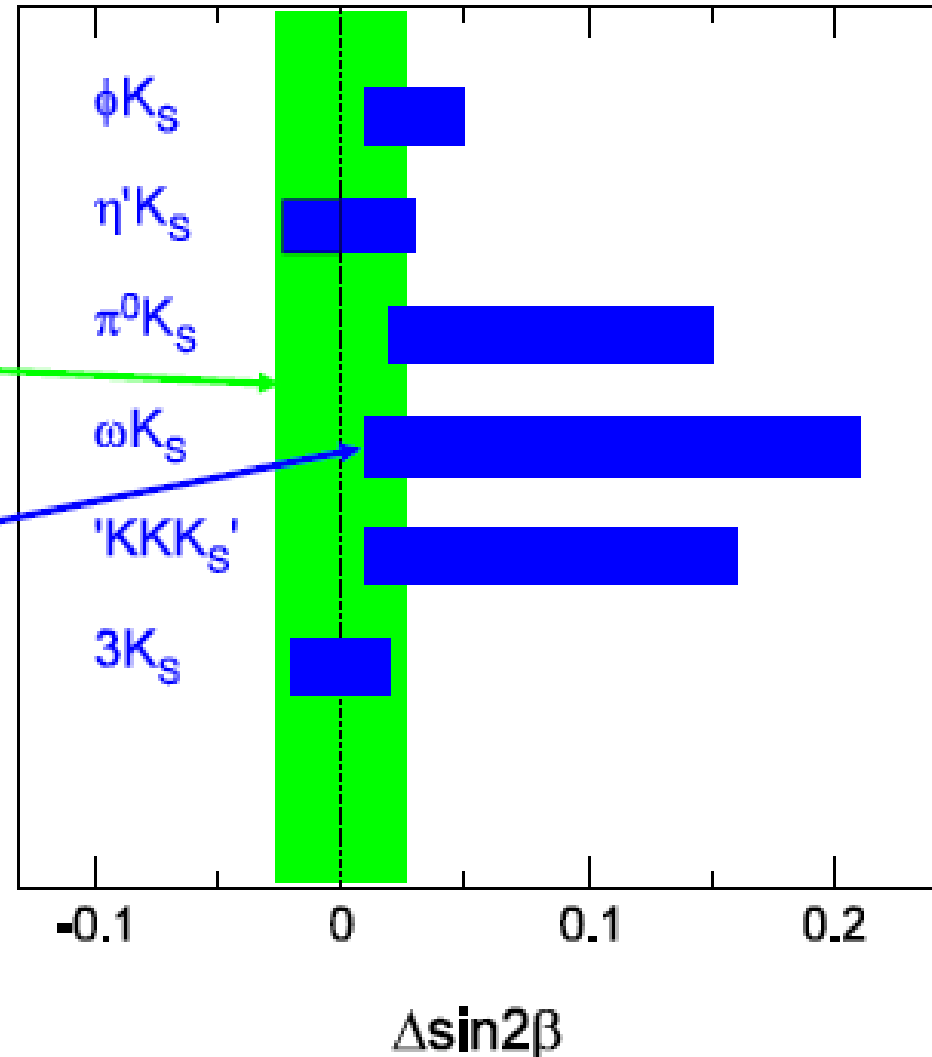


$\sin 2\beta$ from charmless B decays

Compare $\sin 2\beta$ measured in penguin modes to $\sin 2\beta$ from $(c\bar{c})K$

$\sin 2\beta$ experimental uncertainty from $(c\bar{c})K$

$b \rightarrow s$ penguin theory uncertainty



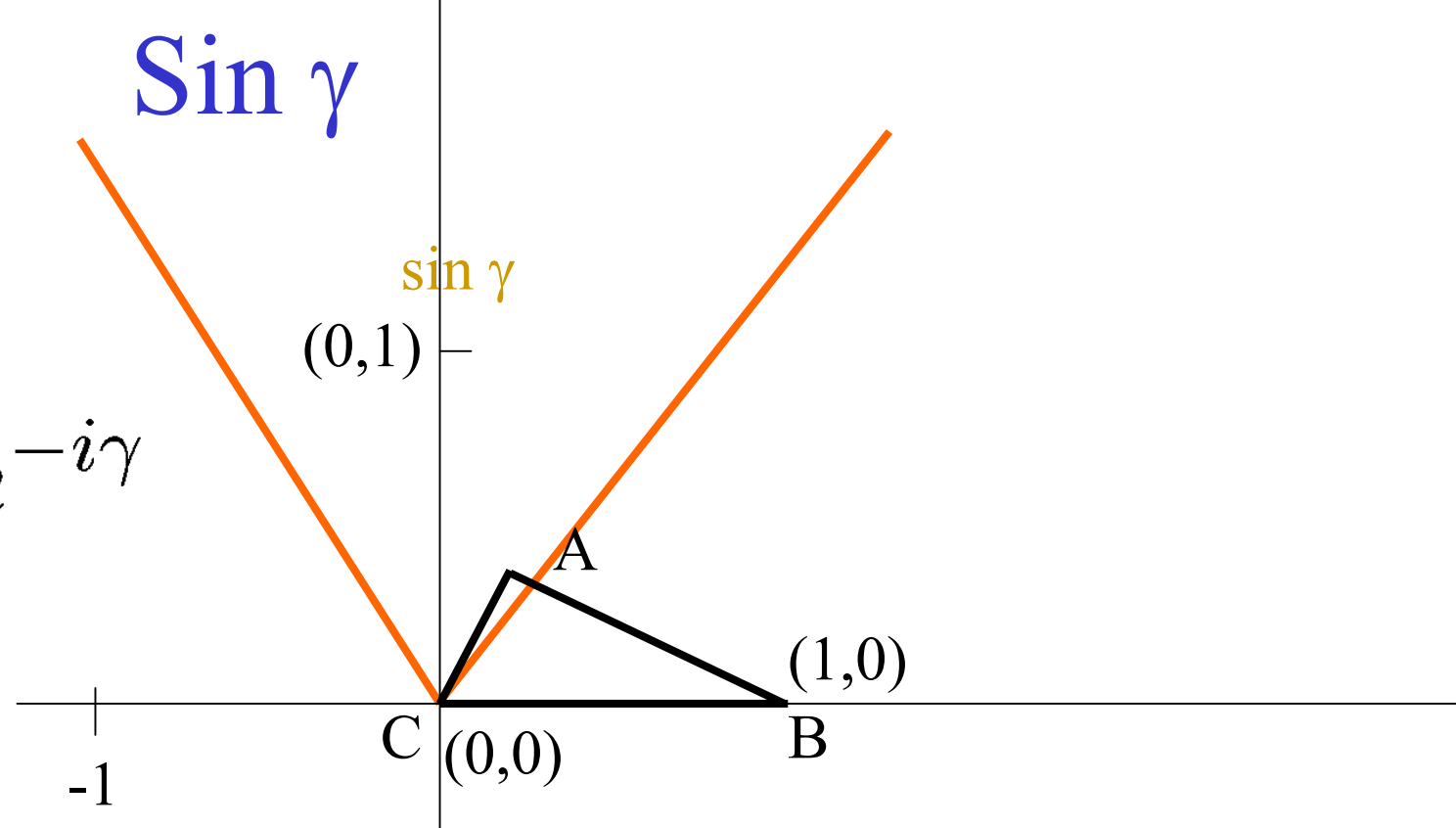
Beneke PLB 620 143 (2005)

Mishima, Sanda PRD 72 114005 (2005)

Williamson, Zupan PRD 74 014003 (2006)

Cheng, Chua, Soni PRD 014006 (2005)

$$V_{ub} = |V_{ub}| e^{-i\gamma}$$

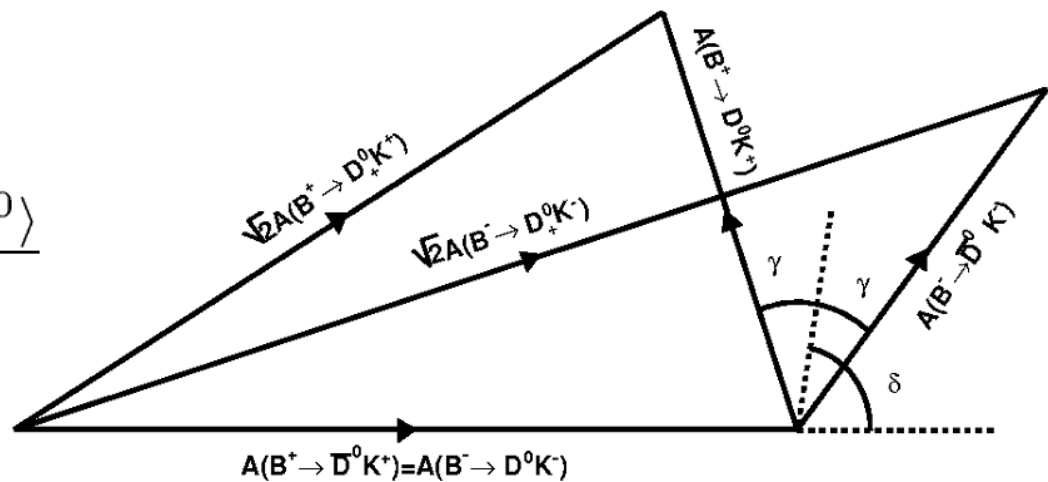


- Gronau, London, Wyler (GLW), 1991: $(D^0/\bar{D}^0)_{CP} K^{+-}$
- Aleksan, Dunietz, Kayser (ADK), 1992
- Atwood, Dunietz, Soni (ADS), 1997: $K^+ K^- \pi^+$
- GGSZ (Giri, Grossman, Soffer, Zupan), «Dalitz»: $(K_S^0 \pi^+ \pi^-) K^{+-}$
- $\sin(2\beta + \gamma)$ (analyse en temps de $B \rightarrow D^{(*)}\pi$)

GLW, ADS: comparer désintégrations $B \rightarrow D^{(*)}K$ avec V_{cb} et V_{ub} 19/53

GLW

États propres CP $|D_{\pm}^0\rangle = \frac{|D^0\rangle \pm |\bar{D}^0\rangle}{\sqrt{2}}$
deux quantités mesurant γ



- Asymétrie de CP

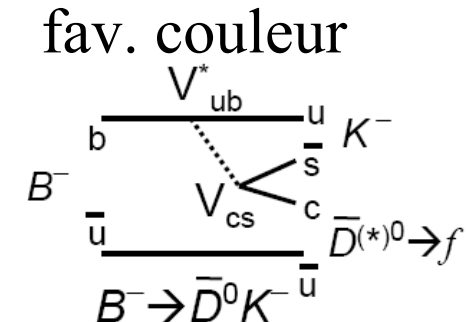
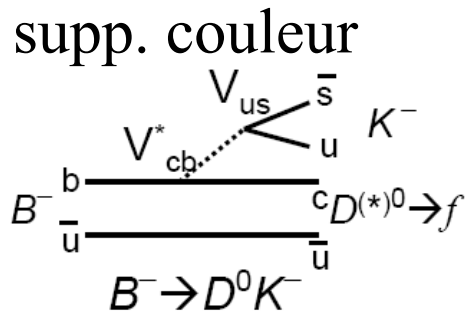
$$A_{CP\pm} = \frac{Br(B^- \rightarrow D_{CP\pm}^0 K^-) - Br(B^+ \rightarrow D_{CP\pm}^0 K^+)}{Br(B^- \rightarrow D_{CP\pm}^0 K^-) + Br(B^+ \rightarrow D_{CP\pm}^0 K^+)}$$

- $R_{CP\pm}$

$$R_{CP\pm} = \frac{Br(B^- \rightarrow D_{CP\pm}^0 K^-) + Br(B^+ \rightarrow D_{CP\pm}^0 K^+)}{[Br(B^- \rightarrow D^0 K^-) + Br(B^+ \rightarrow \bar{D}^0 K^+)]/2}$$

=f(γ)

r_B : rapport sup/fav

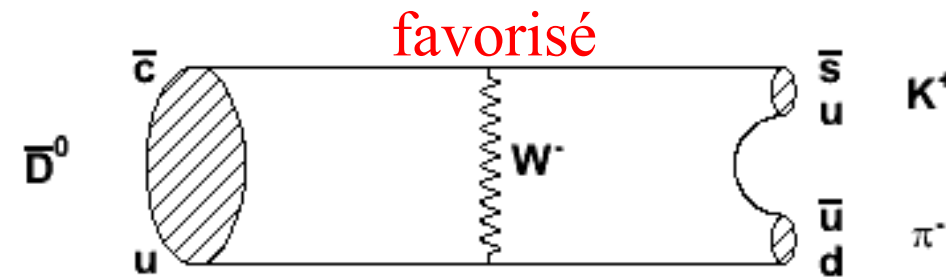
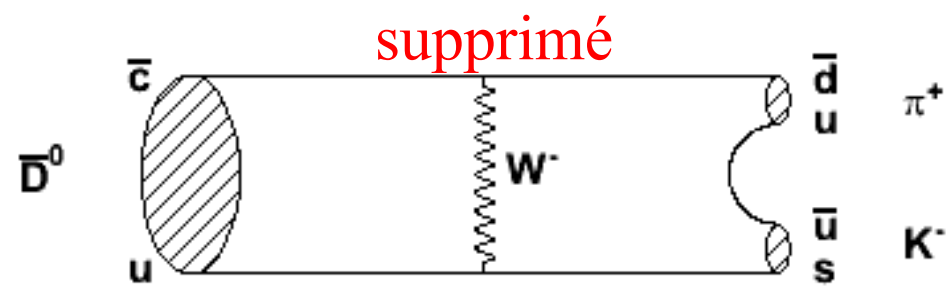
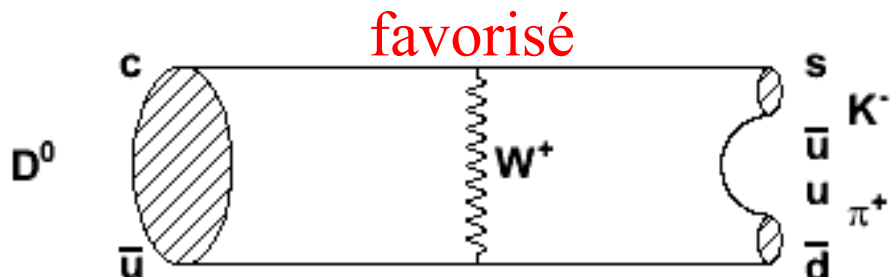
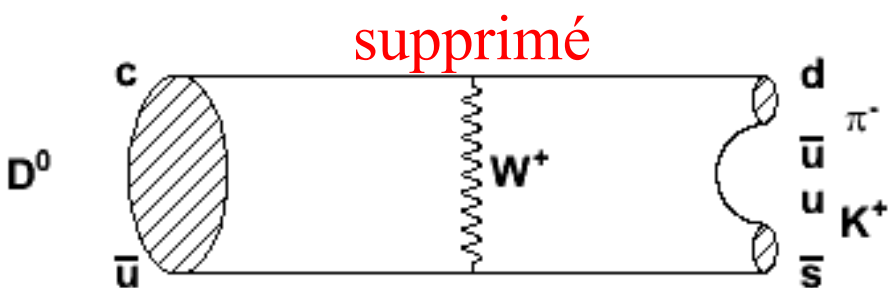


Propre théoriquement (pas de pingouin), pas d'incertitudes hadroniques. r_B faible → faible sensibilité à γ . Br faibles: stat limitée. Ambiguité d'ordre 8 sur γ

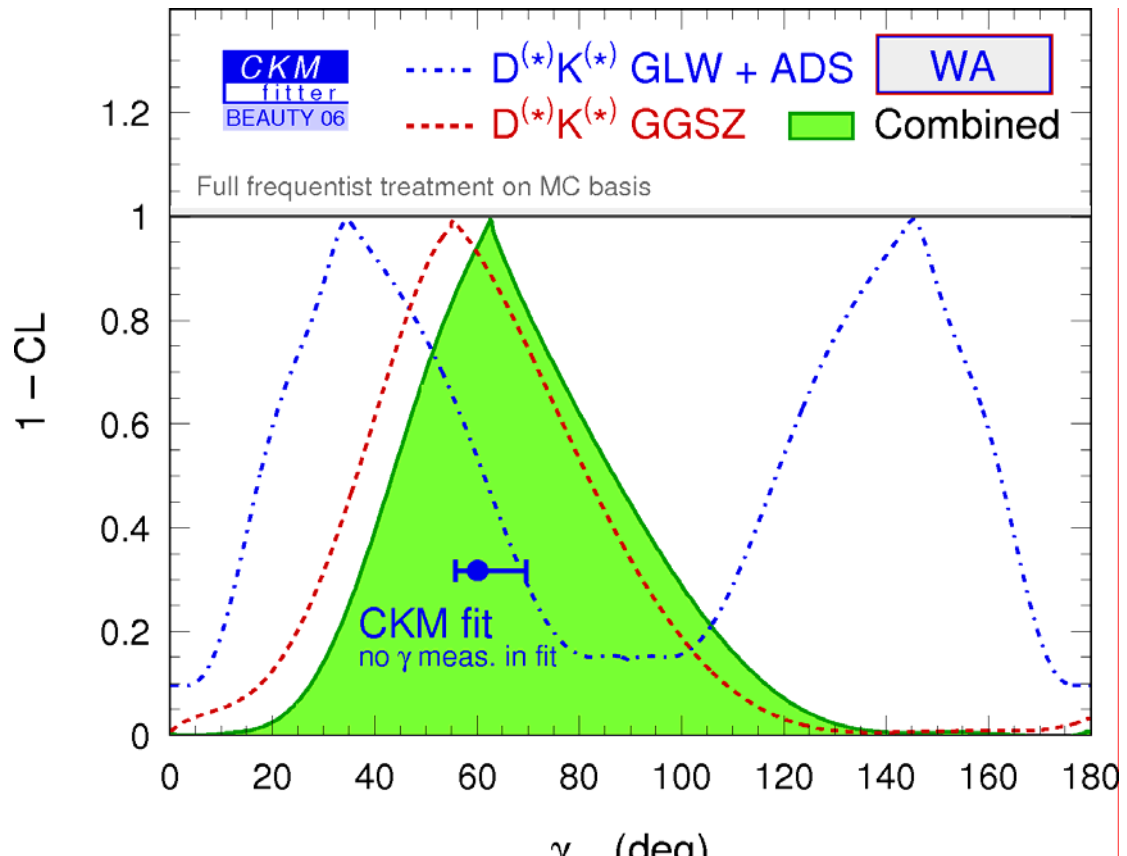
Inconvénient de GLW: r_B faible

$$r_B = |A(B^- \rightarrow \bar{D}^0 K^-)/A(B^- \rightarrow D^0 K^-)|$$

Idée: rendre ces rapports plus proches:
 $B^- \rightarrow D^0 K^-$ (favorisé) & $D^0 \rightarrow K^+ \pi^-$ supprimé
 $B^- \rightarrow \bar{D}^0 K^-$ (supprimé) & $\bar{D}^0 \rightarrow K^+ \pi^-$ favorisé
 $B^+ \rightarrow \bar{D}^0 K^+$ (favorisé) & $\bar{D}^0 \rightarrow K^- \pi^+$ supprimé
 $B^+ \rightarrow D^0 K^+$ (supprimé) & $D^0 \rightarrow K^- \pi^+$ favorisé



Résultats γ



$62 +38/-24$ deg

Extraction de α

$$\alpha = \arg \left(-\frac{V_{td} V_{tb}^*}{V_{ub} V_{ub}^*} \right)$$

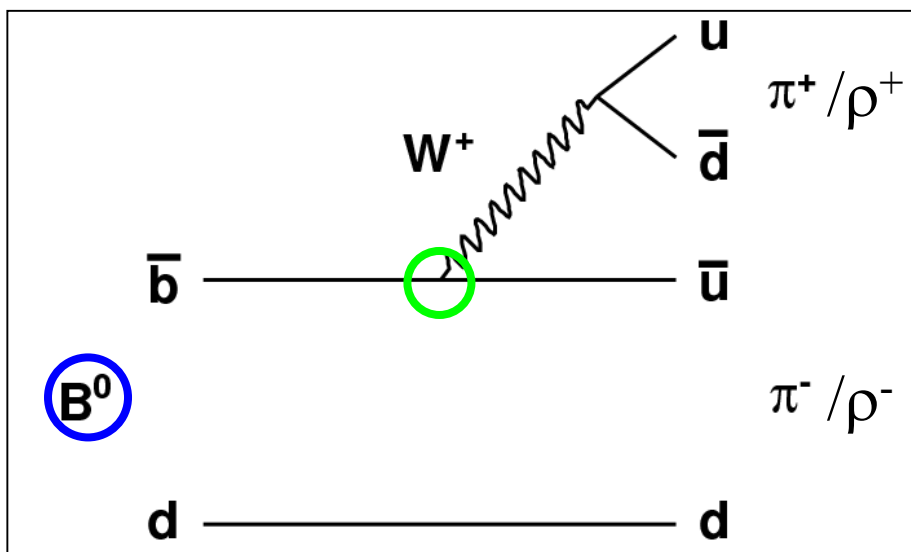
$$V_{td} = |V_{td}| e^{-i\beta}$$

$$\frac{V_{td} V_{tb}^*}{V_{tb} V_{td}^*}$$

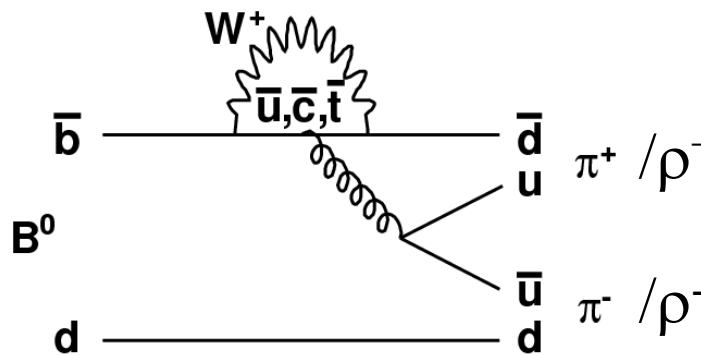
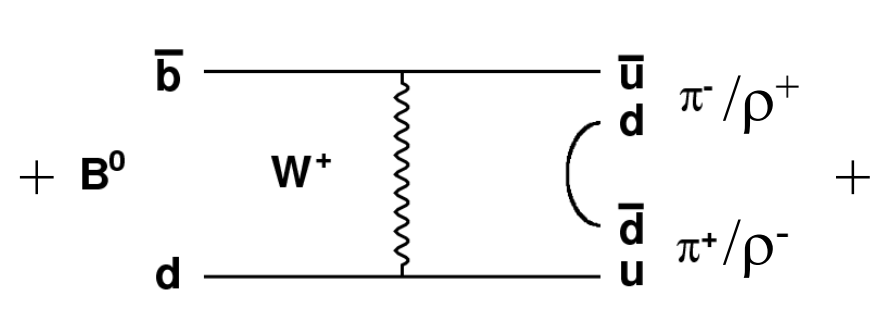
$B^0 \bar{B}^0$ oscillation

$$V_{ub} = |V_{ub}| e^{-i\gamma}$$

$$\alpha \sim (\beta + \gamma)$$

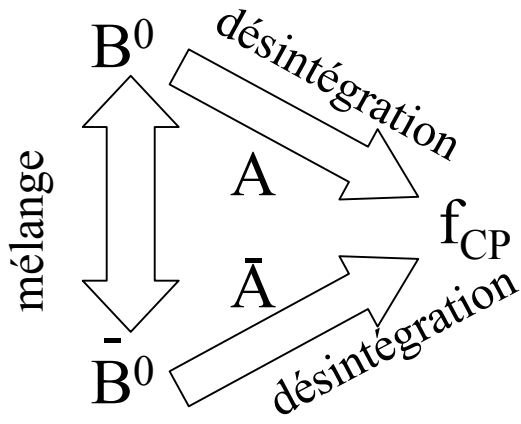


- $B^0/\bar{B}^0 \rightarrow \pi^+ \pi^-$
- $B^0/\bar{B}^0 \rightarrow \rho^\pm \pi^\mp$
- $B^0/\bar{B}^0 \rightarrow \rho^+ \rho^-$ (in red)



penguin
 $\rightarrow \alpha_{\text{eff}}$
 23/53

Violation de CP dans interférence entre désintég. avec & sans mélange



$$\lambda = \frac{q}{p} \frac{\langle f | H | \bar{M}^0 \rangle}{\langle f | H | M^0 \rangle}$$

$$a_{CP}(t) = \frac{|\langle f | H | M_{phys}^0(t) \rangle|^2 - |\langle f | H | \bar{M}_{phys}^0(t) \rangle|^2}{|\langle f | H | M_{phys}^0(t) \rangle|^2 + |\langle f | H | \bar{M}_{phys}^0(t) \rangle|^2}$$

\neq conventions

Si $|q/p| \sim 1$ (vrai pour B, faux pour K)

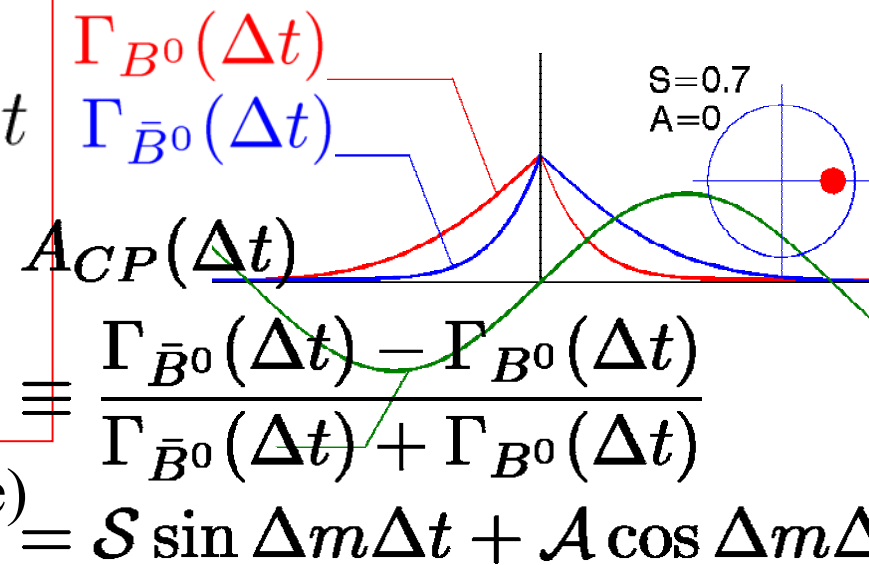
$$a_{CP}(t) = C_f \cos \Delta m t + S_f \sin \Delta m t$$

$$C_f = \frac{1 - |\lambda|^2}{1 + |\lambda|^2}$$

CP directe

$$S_f = \frac{-2Im\lambda}{1 + |\lambda|^2}$$

CP mélange

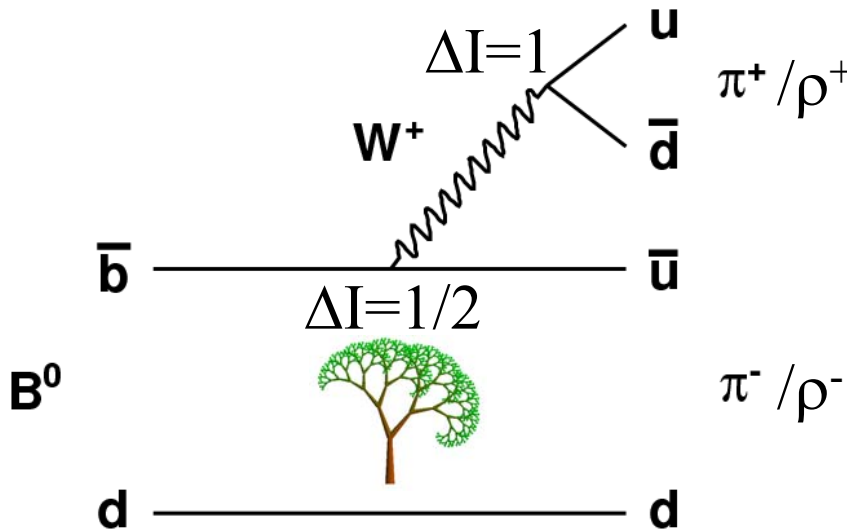


Babar/Belle: \neq conventions

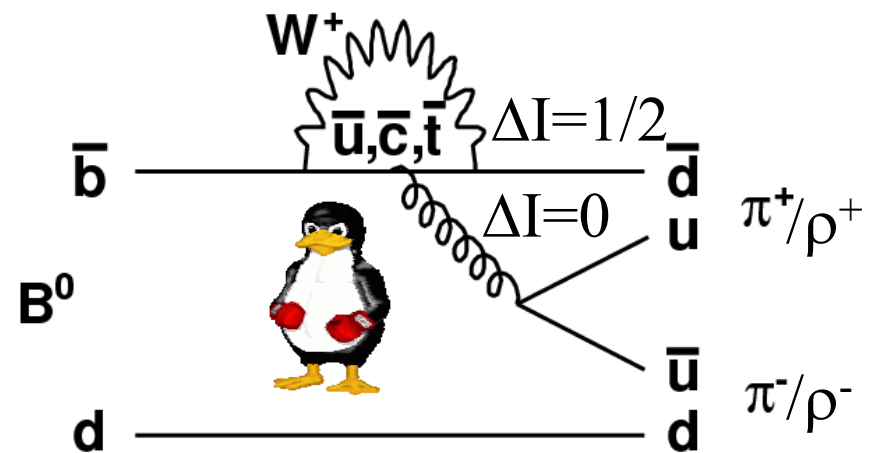
$A = -C$ (Belle)

Isospin method

Gronau, London (1990)



tree: $\Delta I=1/2; 3/2$



penguin: $\Delta I=1/2$

strategy: use isospin relationship to remove penguin pollution

$$\begin{aligned}\langle \pi^+ \pi^- | H_W | B^0 \rangle &= -\sqrt{\frac{1}{3}} A_{1/2,0} + \sqrt{\frac{1}{6}} A_{3/2,2} - \sqrt{\frac{1}{6}} A_{5/2,2} \\ \langle \pi^0 \pi^0 | H_W | B^0 \rangle &= \sqrt{\frac{1}{6}} A_{1/2,0} + \sqrt{\frac{1}{3}} A_{3/2,2} - \sqrt{\frac{1}{3}} A_{5/2,2} \\ \langle \pi^+ \pi^0 | H_W | B^+ \rangle &= \frac{\sqrt{3}}{2} A_{3/2,2} + \sqrt{\frac{1}{3}} A_{5/2,2}\end{aligned}$$

$$\boxed{\frac{1}{\sqrt{2}} \langle \pi^+ \pi^- | H_W | B^0 \rangle + \langle \pi^0 \pi^0 | H_W | B^0 \rangle = \langle \pi^+ \pi^0 | H_W | B^+ \rangle}$$

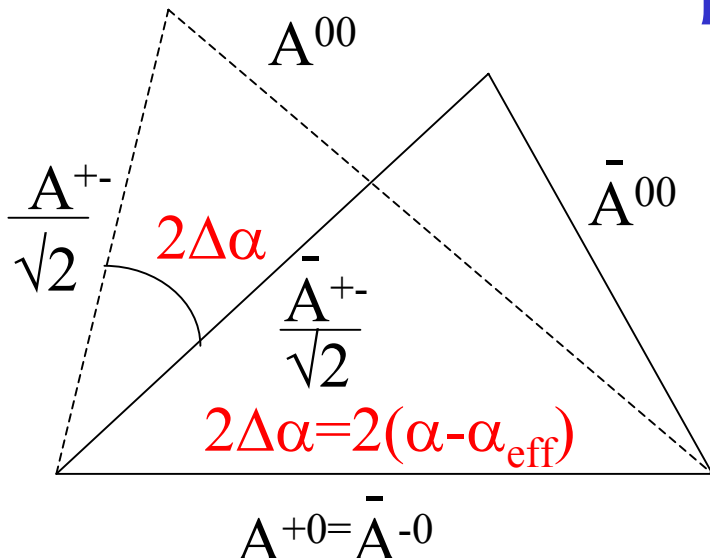
→ triangle **only** if $A_{5/2}=0$

$(A_{1/2}=\text{penguin})$

$(A_{5/2}=\text{NP})$

Idem for $\rho\rho$

$\rho\rho/\pi\pi$



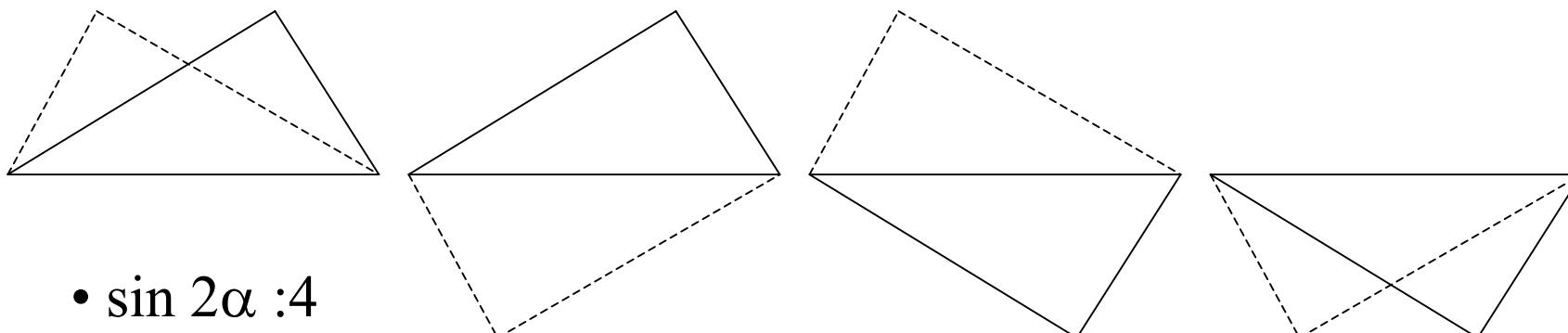
$$A_{\text{Long}}(B^+ \rightarrow \rho^+ \rho^0) = 1/\sqrt{2} \cdot A_{\text{Long}}(B^0 \rightarrow \rho^- \rho^+) + A_{\text{Long}}(B^0 \rightarrow \rho^0 \rho^0)$$

similar approach to $B \rightarrow \pi\pi$:
Gronau, London (1990)

$$\left. \begin{array}{l} A^+ = A(B^0 \rightarrow \rho^+ \rho^-) \\ \bar{A}^+ = A(\bar{B}^0 \rightarrow \rho^+ \rho^-) \\ A^{00} = A(B^0 \rightarrow \rho^0 \rho^0) \\ \bar{A}^{00} = A(\bar{B}^0 \rightarrow \rho^0 \rho^0) \\ A^{+0} = A(B^+ \rightarrow \rho^+ \rho^0) \\ \bar{A}^{-0} = A(B^- \rightarrow \rho^- \rho^0) \end{array} \right\} \begin{array}{l} \rightarrow \pi^+ \pi^- \pi^+ \pi^- (\text{vertex} \neq \pi^0 \pi^0) \\ \text{measure } C^{00} \text{ & } S^{00} \\ = \text{because tree (EW penguin} \ll 1) \end{array}$$

8-fold ambiguity

- triangles flip up/down: 4

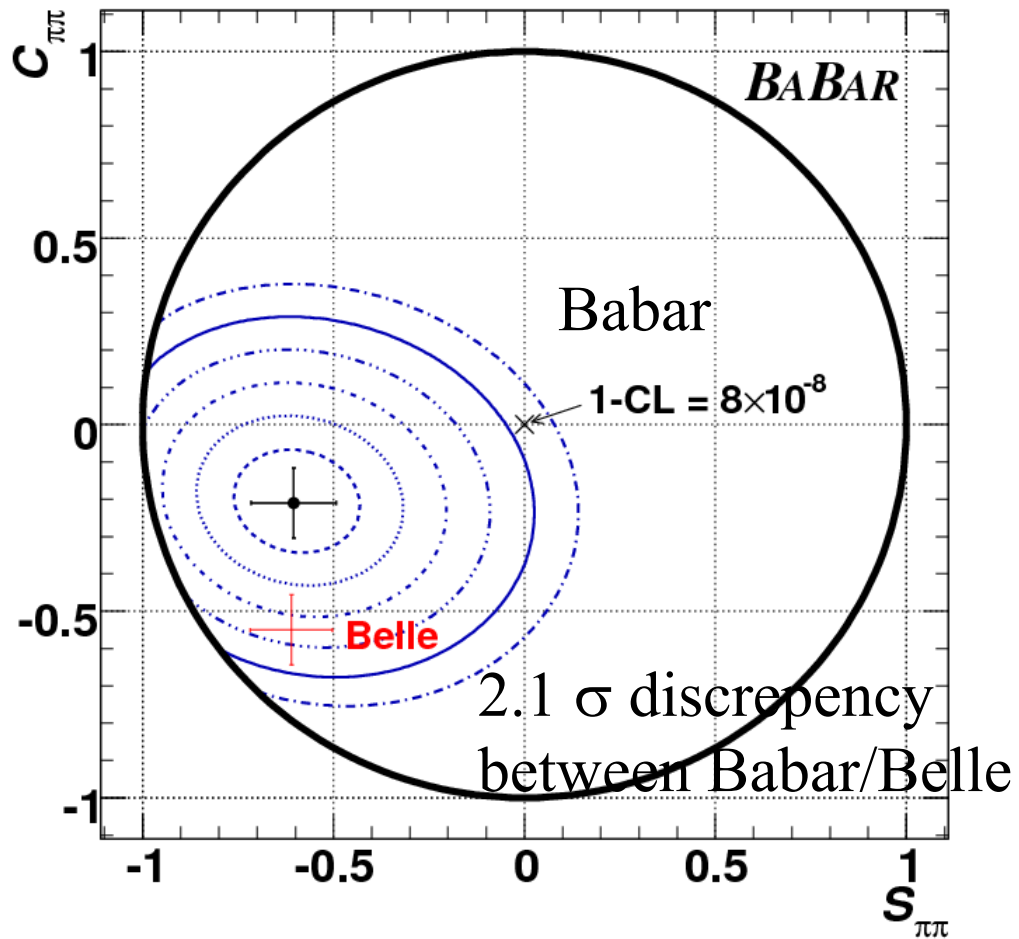


- $\sin 2\alpha : 4$

$$\phi = z, \phi = z + \pi, \phi = \pi/2 - z, \phi = 3\pi/2 - z$$

383 Millions BB

$B^0 \rightarrow \pi^+ \pi^-$



$$\mathcal{A}_{K\pi} = -0.107 \pm 0.018 \text{ (stat)}^{+0.007}_{-0.004} \text{ (syst)},$$

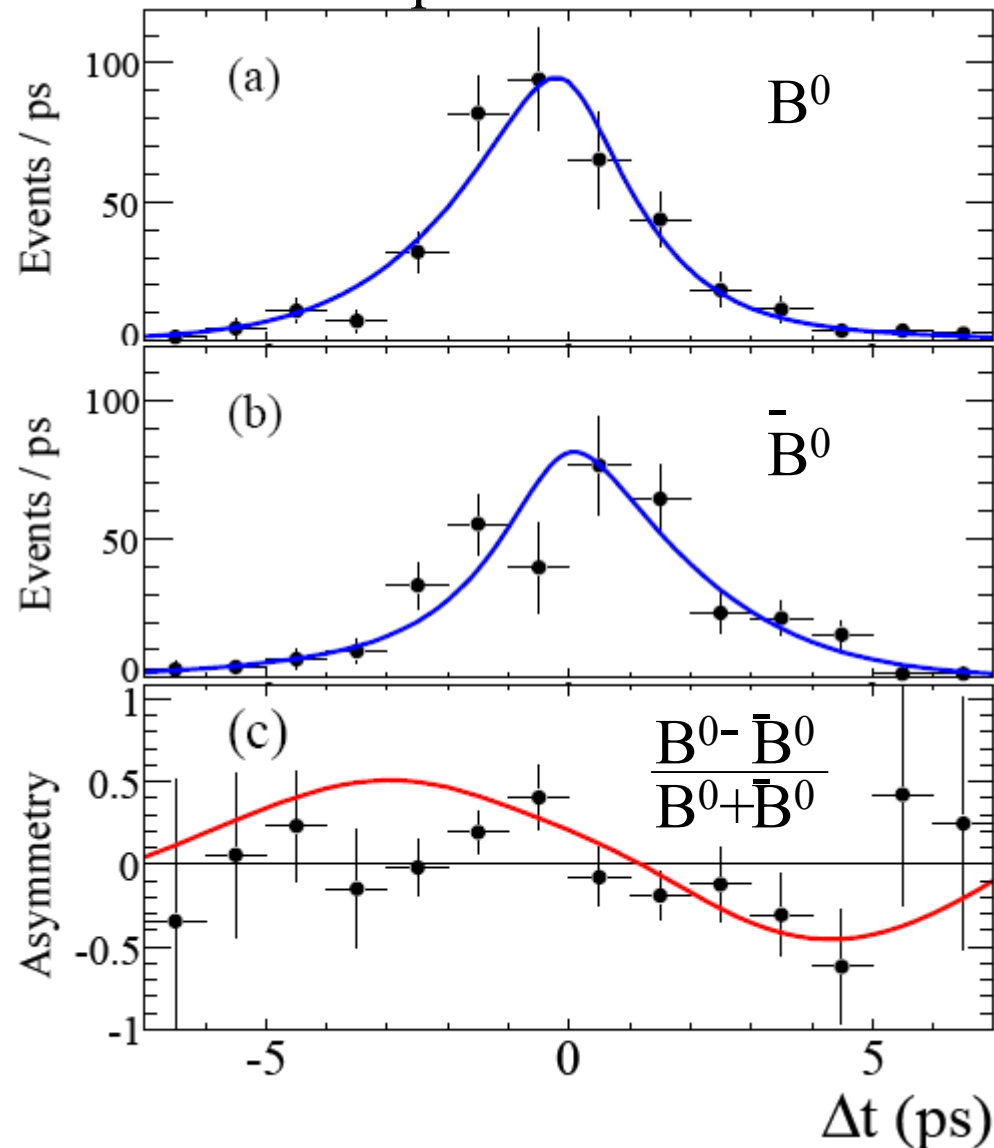
$$S_{\pi\pi} = -0.60 \pm 0.11 \text{ (stat)} \pm 0.03 \text{ (syst)},$$

$$C_{\pi\pi} = -0.21 \pm 0.09 \text{ (stat)} \pm 0.02 \text{ (syst)}.$$

$S, C \neq 0 : 5,4 \sigma$

direct CP violation

hep-ex 0703016



$B^0 \rightarrow \pi^0 \pi^0$

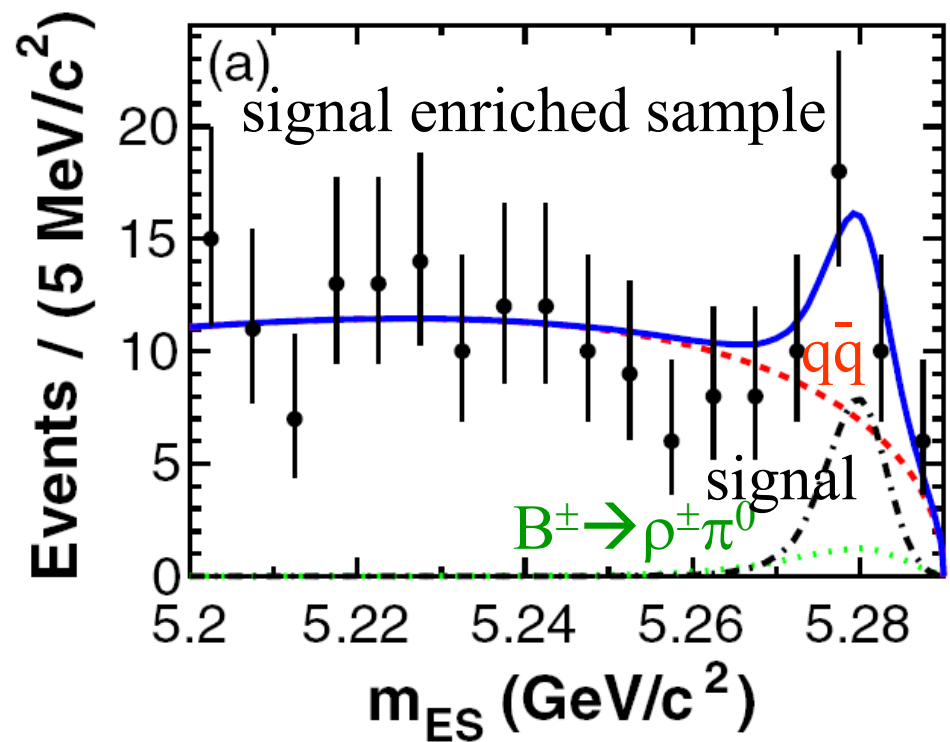
227 10^6 BB

$B^+ \rightarrow \pi^+ \pi^0$

$$BR = (1.17 \pm 0.32 \pm 0.10) 10^{-6}$$

$$C_{00} = -0.12 \pm 0.56 \pm 0.06$$

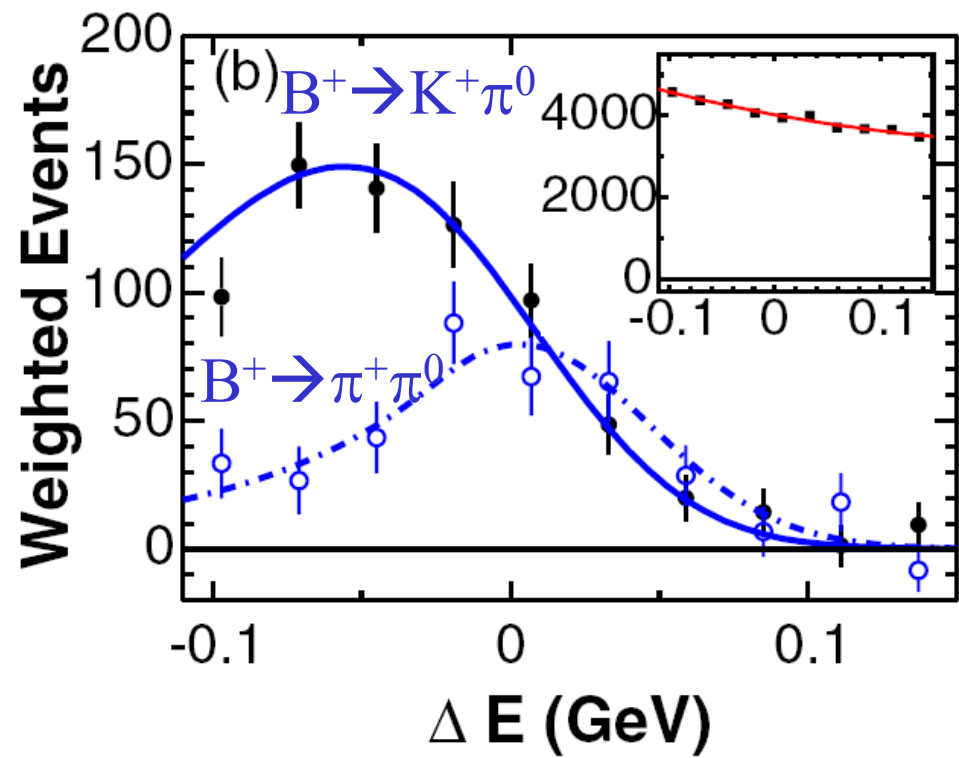
$61 \pm 17 \pm 5$ signal, 5.0σ



$$BR = (5.8 \pm 0.6 \pm 0.4) 10^{-6}$$

$$a_{CP} = -0.01 \pm 0.10 \pm 0.02$$

379 ± 41 signal



$B \rightarrow \rho\rho$

$\pi: J=0$ (S)
 $\rho: J=1$ (V)

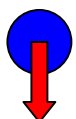
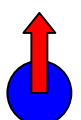
$\rho: J=1 \rightarrow J=0, 1, 2$

$\rho^+\rho^-$ more difficult:

- 2 π^0 in final state (\rightarrow résolution vertex dégradé, + de SxF)
- wide ρ resonance \rightarrow more background
- 3 polarization states w/ different CP eigenvalues

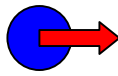
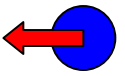
\rightarrow separate contrib to avoid dilution

ρ^+ ρ^-



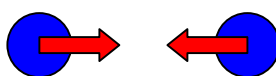
$A_0 = H_0$ (long)

CP=1



$A_{\parallel} = (H^+ + H^-)/\sqrt{2}$

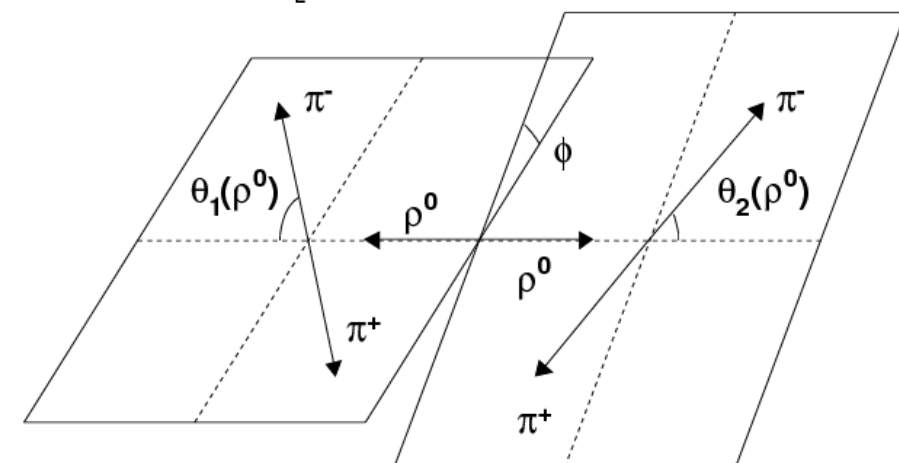
CP=1



$A_{\perp} = (H^+ - H^-)/\sqrt{2}$

CP=-1

$$\frac{1}{\Gamma} \frac{d^2\Gamma}{d \cos \theta_1 d \cos \theta_2} = \frac{9}{4} \left[\cos^2 \theta_1 \cos^2 \theta_2 f_L + \frac{1}{4} \sin^2 \theta_1 \sin^2 \theta_2 (1 - f_L) \right]$$

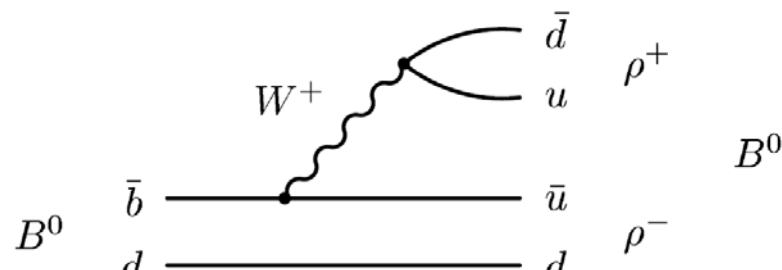


eventually best mode:

- BR ~ 6 x those from $B \rightarrow \pi\pi$
- Penguin pollution much small/ $B \rightarrow \pi\pi$
- $f_L \sim$ almost 100 % (pure CP-event state)

347 10^6 BB, 316 fb^{-1} 615 ± 57 events

Bevan, George, Graham, Yèche

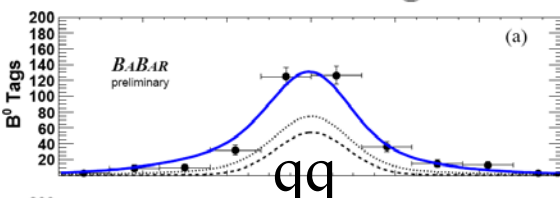
 $B^0 \rightarrow \rho^+ \rho^-$ 

$$\mathcal{B}(B^0 \rightarrow \rho^+ \rho^-) = (23.5 \pm 2.2(\text{stat}) \pm 4.1(\text{syst})) \times 10^{-6},$$

$$f_L = 0.977 \pm 0.024(\text{stat})^{+0.015}_{-0.013}(\text{syst}),$$

$$S_{\text{long}} = -0.19 \pm 0.21(\text{stat})^{+0.05}_{-0.07}(\text{syst}),$$

$$C_{\text{long}} = -0.07 \pm 0.15(\text{stat}) \pm 0.06(\text{syst}).$$



$\alpha = [74, 117]^\circ$ at 68% CL

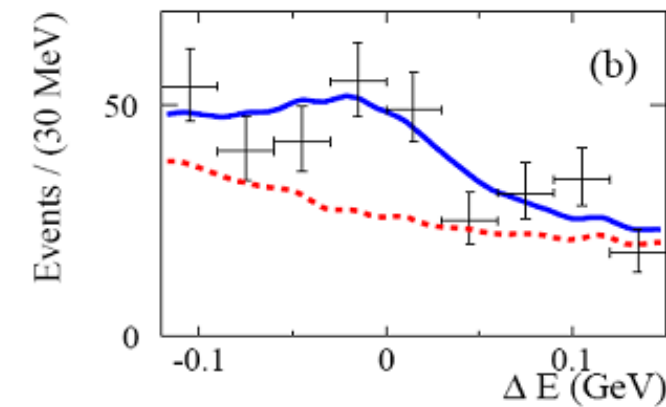
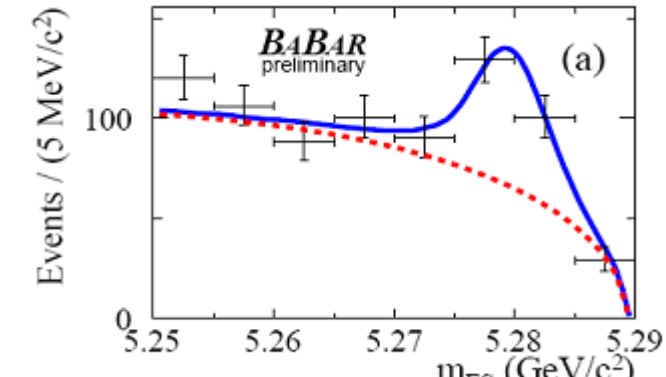
Dominant systematic: SxF

no CP violation

1 ab^{-1} projection:

$f_L \pm 0.014 \pm 0.011$ (statistically limited)

$\text{BF} \pm 1.3 \pm 3.8$ (systematically limited)

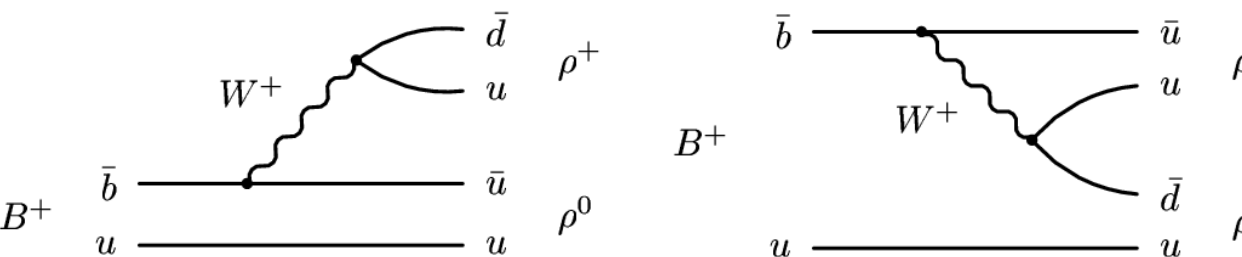


232 M BB

$B^\pm \rightarrow \rho^\pm \rho^0$

hep-ex/0607092

D. Hutchcroft, K. Schofield, G. Schott.



| Observables | Fitted value |
|---|---------------------|
| $B^\pm \rightarrow \rho^\pm \rho^0$ yield | 390 ± 49 events |
| Polarization f_L | 0.897 ± 0.042 |
| Charge asymmetry A_{CP} | -0.12 ± 0.13 |
| $B^\pm \rightarrow \rho^\pm f_0$ yield | 51 ± 30 events |

$$\mathcal{B} = (16.8 \pm 2.2 \pm 2.3) \times 10^{-6}$$

$$A_{CP} = -0.12 \pm 0.13 \pm 0.10$$

$$f_L = 0.905 \pm 0.042^{+0.023}_{-0.027}$$

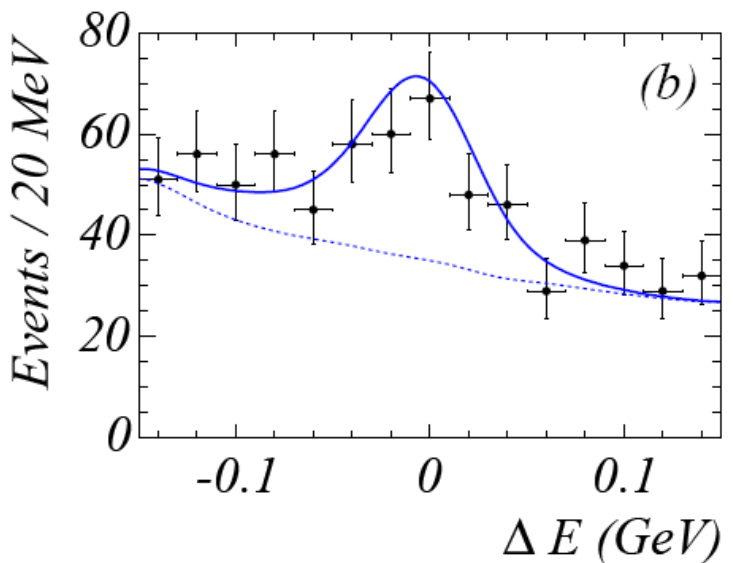
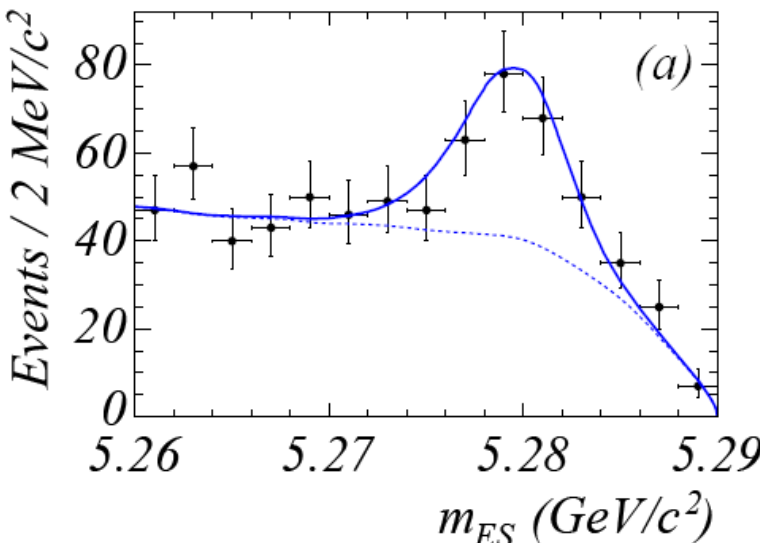
$$C = -0.12 \pm 0.13 \pm 0.10$$

Dominant systematic: fit bias, SxF

1 ab⁻¹ projection:

$f_L \pm 0.002 \pm 0.018$ (statistically limited)

$BF \pm 1.0 \pm 2.0$ (systematically limited)



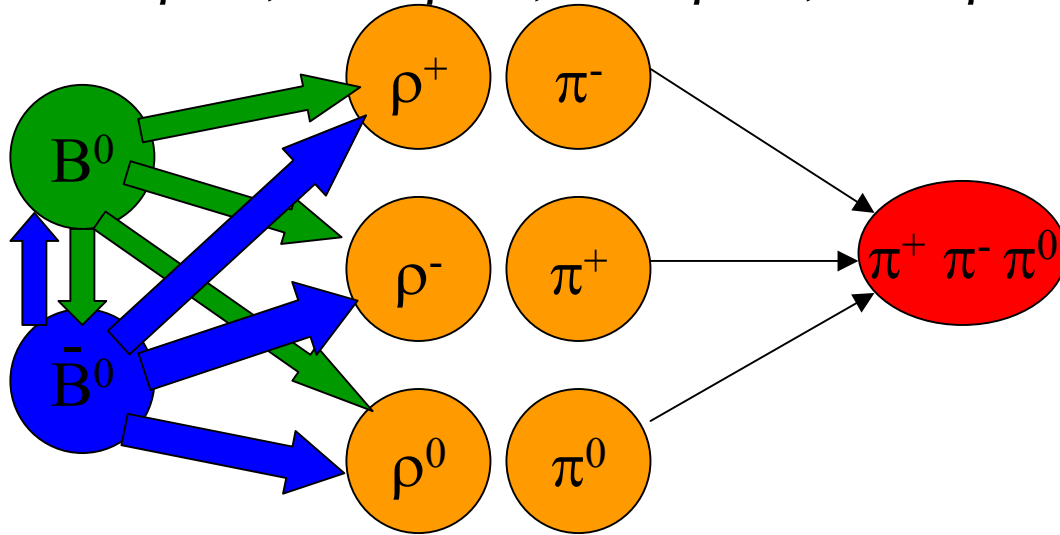
Dalitz analysis of $B^0 \rightarrow (\rho\pi)^0 \pi^+ \pi^- \pi^0$

Snyder-Quinn, PRD 48, 2139 (1993)

dominant decay $B^0 \rightarrow \rho^+ \pi^-$: not a CP eigenstate

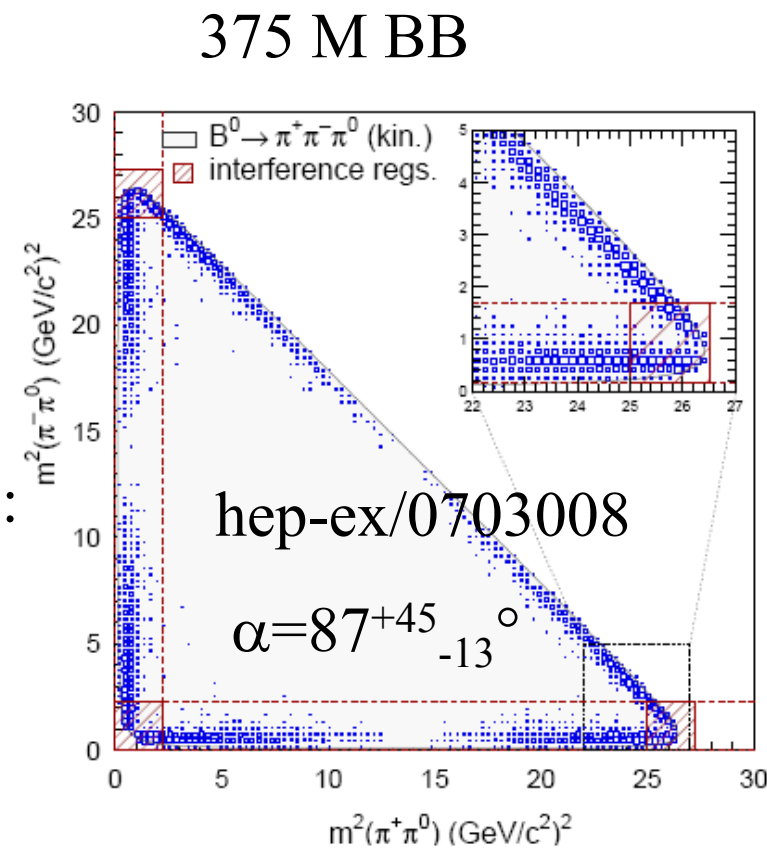
isospin analysis not viable: too many amplitudes:

$B^0 \rightarrow \rho^+ \pi^-$, $B^0 \rightarrow \rho^- \pi^+$, $B^0 \rightarrow \rho^0 \pi^0$, $B^+ \rightarrow \rho^+ \pi^0$, $B^+ \rightarrow \rho^0 \pi^+$ and charge conjugates



better approach: Time-dependent Dalitz analysis:

- simultaneous fit of α , T, P amplitudes
- no ambiguity on α (unlike isospin analysis)



- $B^0/\bar{B}^0 \rightarrow \pi^+\pi^-$
- $B^0/\bar{B}^0 \rightarrow \rho^\pm\pi^\mp$
- $B^0/\bar{B}^0 \rightarrow \rho^+\rho^-$

meilleure mesure simple

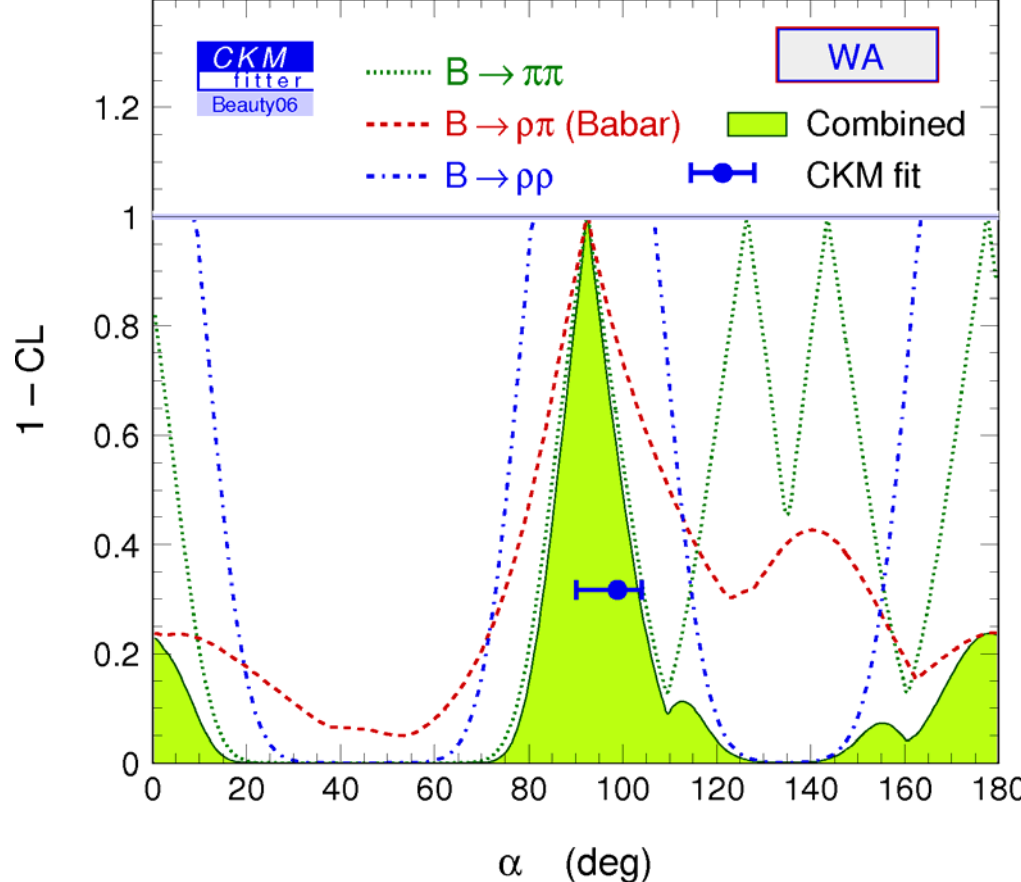
→ Élimine solutions miroirs

good agreement with global CKM fit



Beauty 2006

$$\alpha = 92.6^{+10.7}_{-9.3} {}^\circ$$



Babar is working fine

$\sim 400 \text{ fb}^{-1}$

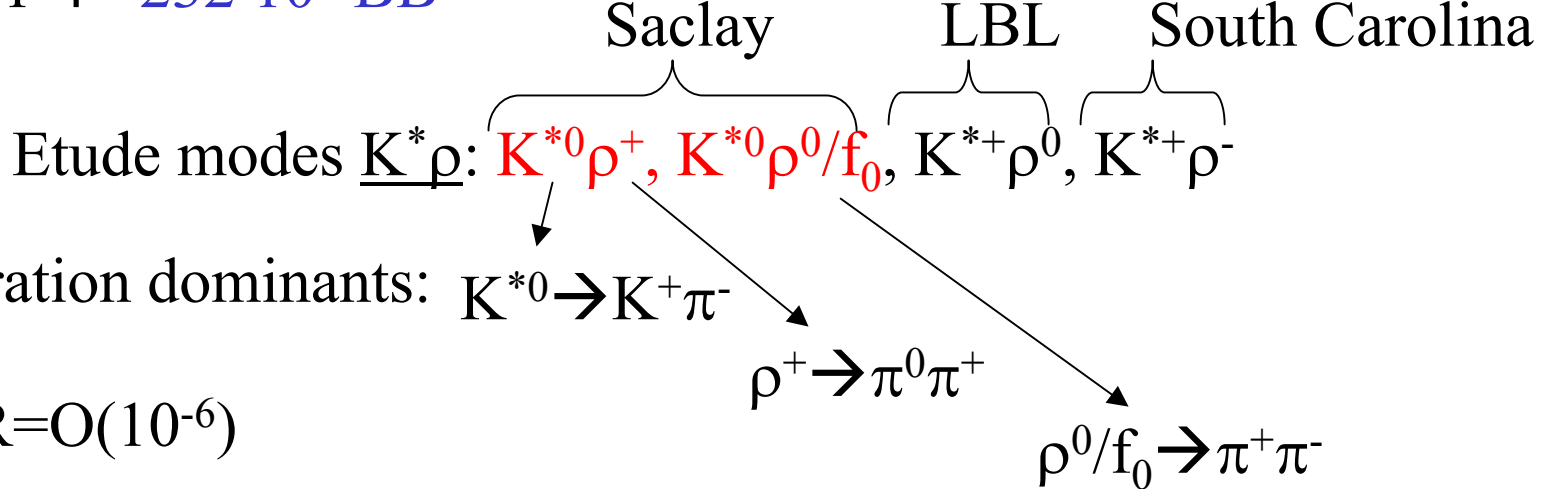
2008: expected $\sim 1 \text{ ab}^{-1} = 1000 \text{ fb}^{-1}$

→ many physics potential (rare modes)

I Recherche $B^0 \rightarrow K^{*0}\rho^0/f_0$, $B^+ \rightarrow K^{*0}\rho^+$

Travail dans Babar

run 1-4 $232 \cdot 10^6 B\bar{B}$



- modes désintégration dominants: $K^{*0} \rightarrow K^+\pi^-$
- modes rares: $BR=O(10^{-6})$

Motivations:

- test prédictions théoriques
- modes jamais observé ($K^{*0}\rho^0/f_0$)
- contrainte sur α, γ : plus lointain

Mesurer

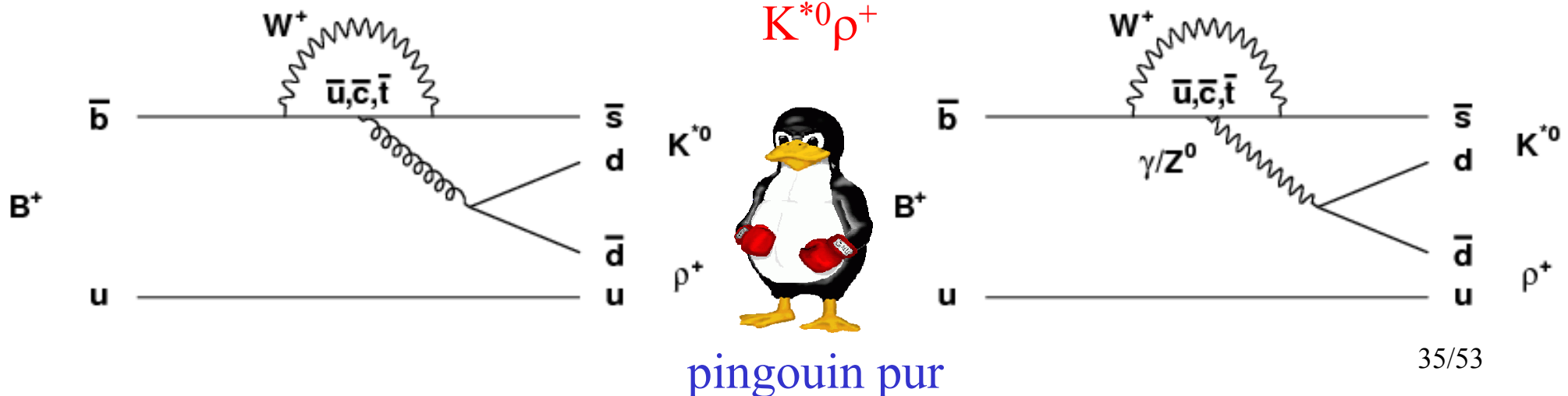
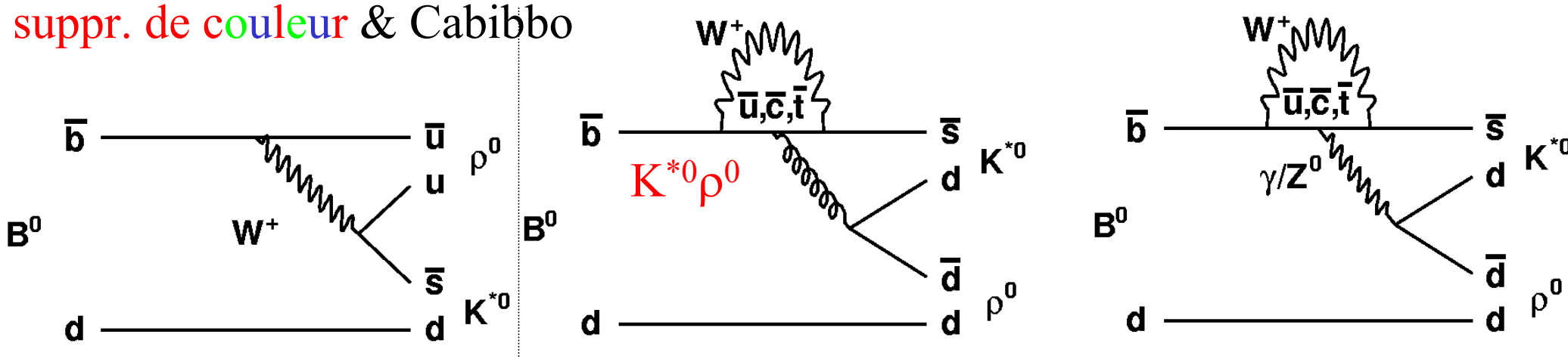
- rapport d'embranchement
- fraction de polarisation longitudinale f_L
- asymétrie directe de CP A_{CP}

Diagrammes de Feynman



dominé par pingouin

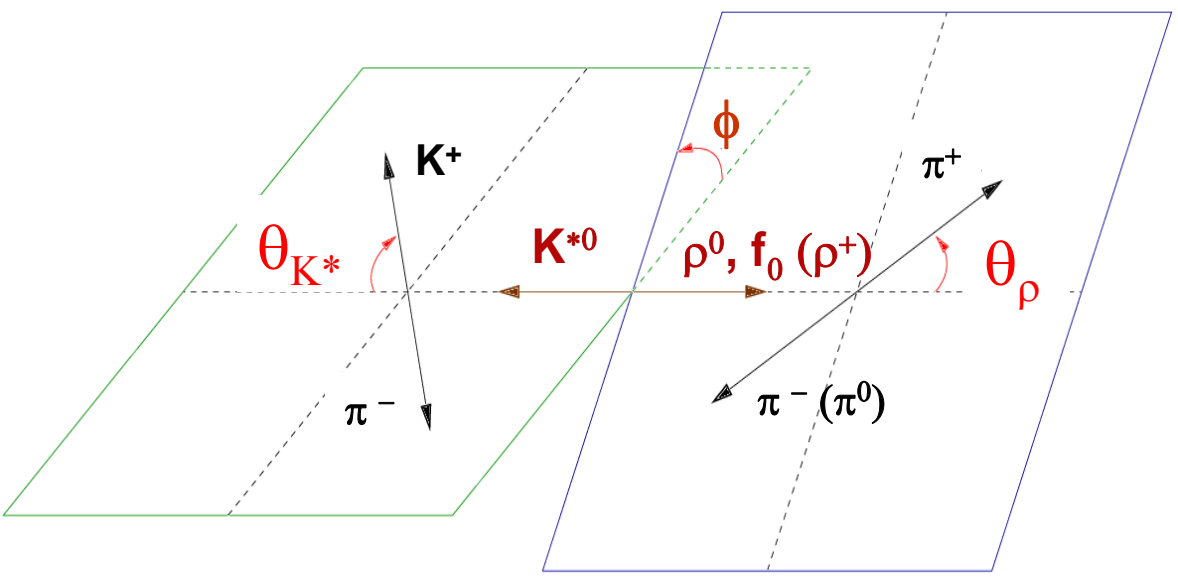
suppr. de couleur & Cabibbo



pingouin pur

Quelle polarisation pour modes VV ?

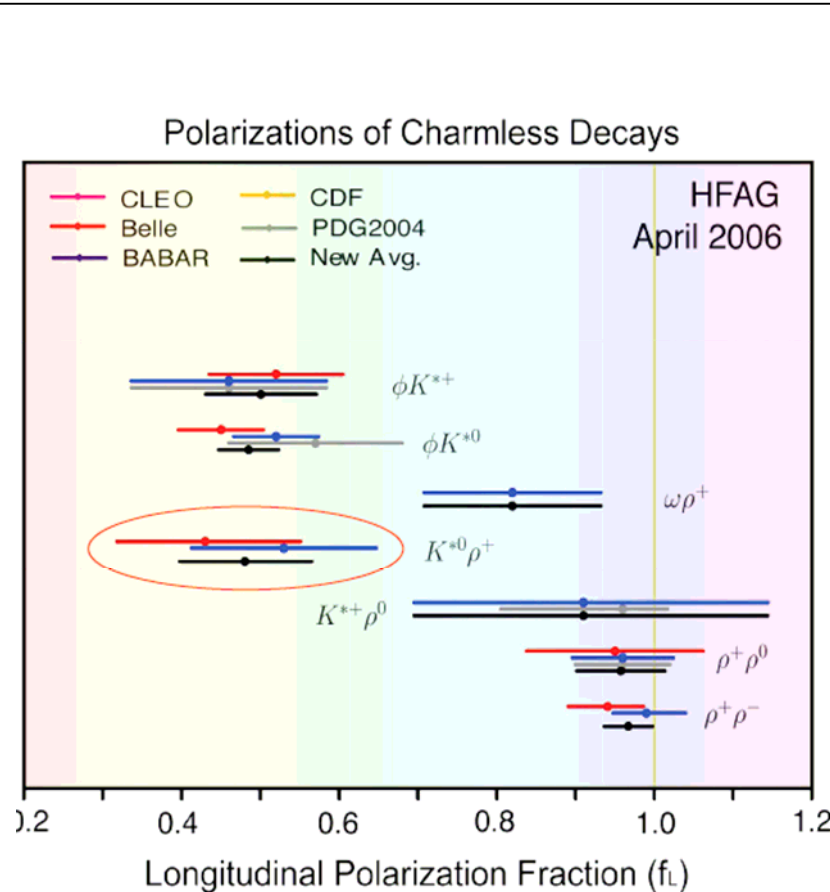
-distributions angulaires → polar. $\frac{dN}{d\cos\theta_1 d\cos\theta_2} \sim f_L \times (\cos\theta_1 \cos\theta_2)^2 + (1-f_L) \times \frac{1}{4} (\sin\theta_1 \sin\theta_2)^2$



Expérimentalement:

- dominé arbre : $f_L \sim 100 \%$
- dominé pingouin: $f_L \sim 50 \%$

Symétrie SU(3) → $m_u \sim m_d \sim m_s$
 $\rho \sim (\bar{u}u - \bar{d}d)$ $\phi = c_1(\bar{u}u + \bar{d}d) + c_2 \bar{S}\bar{S}$
 $K^{*0}\phi: f_L = 0.48 \pm 0.04$



Bruit de fond

- Continuum~40000
 $(e^-e^+ \rightarrow u, d, s, c)$

Signal: $K^{*0}\rho^0/f^0(980)$
 $(K^+\pi^-) \quad (\pi^+\pi^-)$

~200

- B bruit de fond **non résonant**~600

| | |
|---------------------------------|------------------------------|
| • $K^+\pi^-\pi^+\pi^-$ | |
| • K^{*0} | $\pi^+\pi^-$ |
| $\hookrightarrow K^+\pi^-$ | |
| • $K^+\pi^-$ | ρ^0 |
| | $\hookrightarrow \pi^+\pi^-$ |
| • K^{**+} | π^- |
| $\hookrightarrow K^+\pi^-\pi^+$ | |
| • K^{*0} | $f_0(1370)$ |
| $\hookrightarrow K^+\pi^-$ | $\hookrightarrow \pi^+\pi^-$ |
| • $K^+\pi^-$ | $f_0(980)$ |
| | $\hookrightarrow \pi^+\pi^-$ |
| • $K^+\pi^-$ | $f_0(1370)$ |
| | $\hookrightarrow \pi^+\pi^-$ |

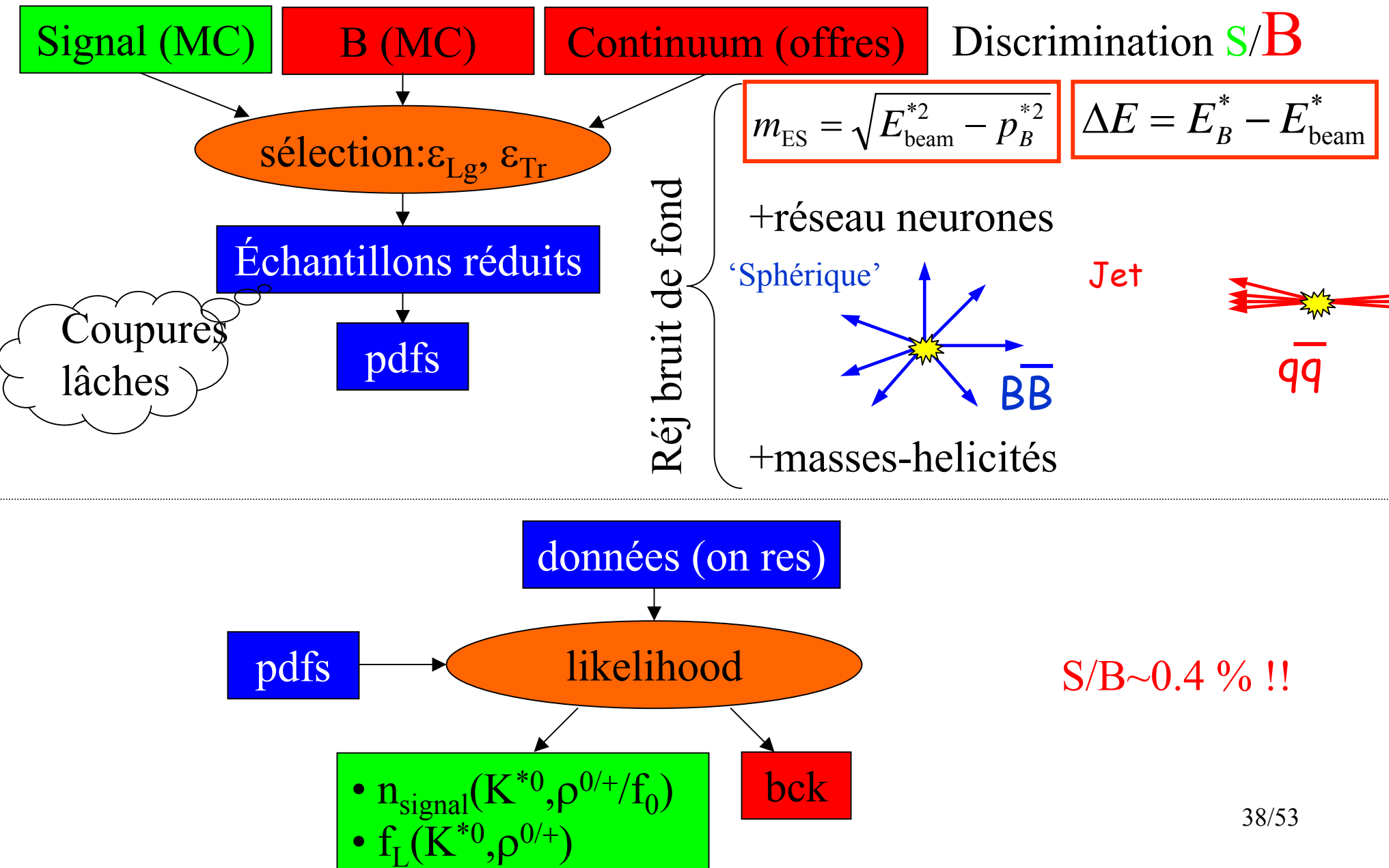
- bruit de fond **réductible**~7700

{ particules finales \neq
imitant certaines pdfs

charmé~7000
non charmé~700

S/B~0.4 %

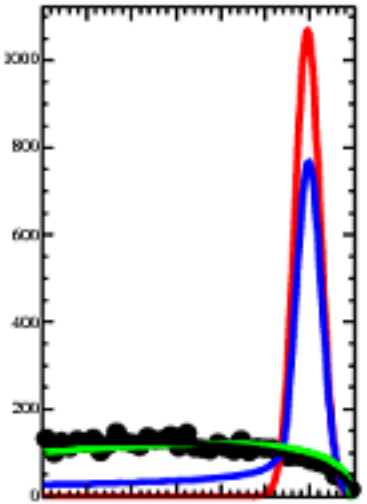
Extraction du rapport d'embranchement



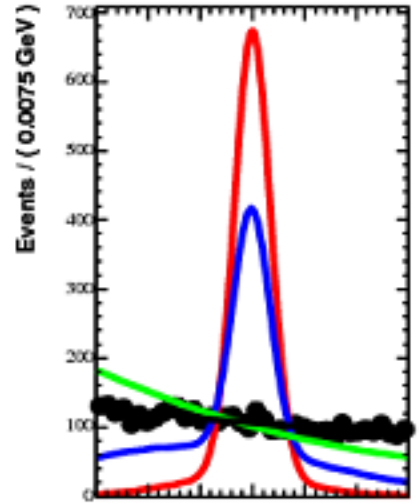
variables discriminantes

- m_{ES} , ΔE : S/(B, continuum), variables forme (nno): (S, B)/continuum
- Mass-helicity(K^*, ρ): signal- B non-resonant B

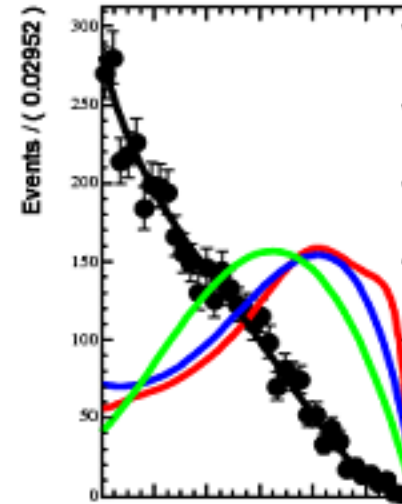
événements



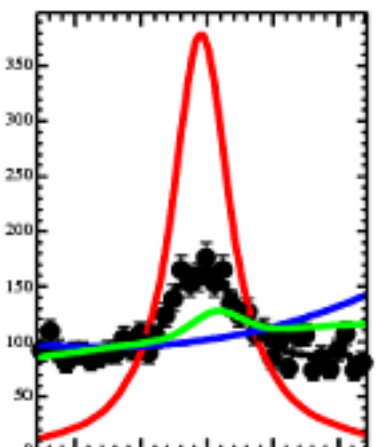
m_{ES}



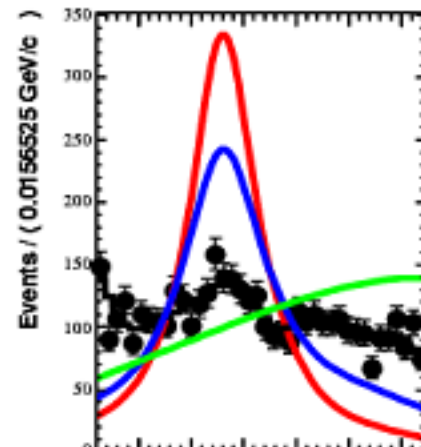
ΔE



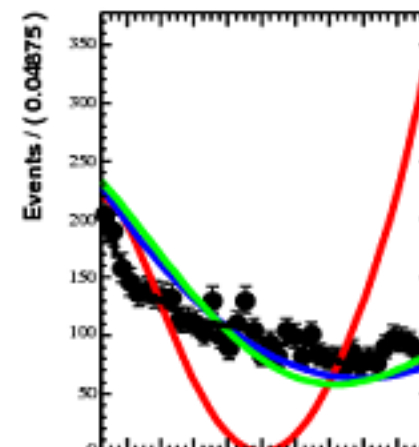
nno



m_{K^*}

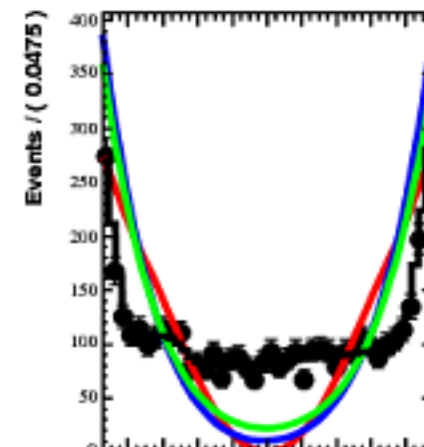


m_ρ



$\cos \theta_{K^*}$

Signal (long.)~200
 $K^+ \pi^- \rho^0$ ~200
 $B^+ \rightarrow \text{charm}$ ~4500
 Continuum ~40000



$\cos \theta_\rho$

efficacités

- $5.22 < m_{ES} < 5.29 \text{ GeV}$
- $-0.15 < \Delta E < 0.15$
- $-0.2 < n_{\text{no}} < 1$
- $0.7711 < m_V(K^*) < 1.0211 \text{ GeV}$
- $0.52 < m_V(\rho^0) < 1.1461 \text{ GeV}$
- $-0.95 < \cos \theta(K^*) < 1$
- $-0.95 < \cos \theta(\rho^0) < 0.95$

| | $K^{*0} \rho^0$ analysis | $K^{*0} \rho^+$ analysis |
|--|-----------------------------|-----------------------------|
| Longitudinal Signal Efficiency (SxF included) | 17.3% | 10.6% |
| Transverse Signal Efficiency (SxF included) | 27.0% | 17.9% |

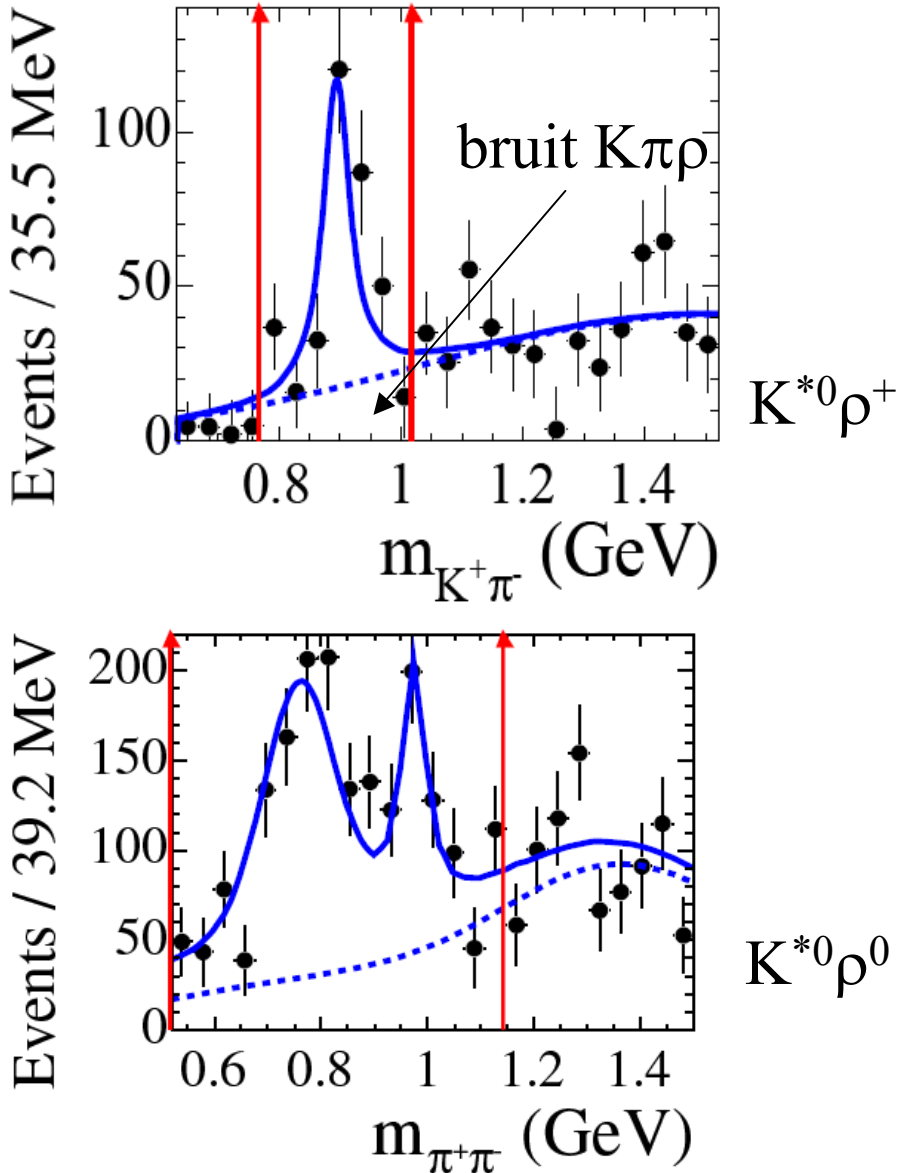
longitudinal signal

Transverse signal

| | Global Self-X-Feed rate | Fraction of true K^{*0} | Fraction of true $\rho^{(0,+)}$ | Global Self-X-Feed rate | Fraction of true K^{*0} | Fraction of true $\rho^{(0,+)}$ |
|-----------------|-------------------------------|------------------------------|------------------------------------|-------------------------------|------------------------------|------------------------------------|
| $K^{*0} \rho^0$ | 21.9% | 93.6% | 82.3% | 6.6% | 97.3% | 95.3% |
| $K^{*0} \rho^+$ | 23.4 % | 95.5 % | 79.7 % | 12.3 % | 98.4 % | 89.1 % _{40/53} |

Systématiques

dominantes: bck non résonants, forme pdfs



SYSTEMATICS for $K^{*0}\rho^+$

| source | ΔBR |
|-----------------------|-------------|
| π^0 reco | 3.0% |
| Track reco | 3.9% |
| B counting | 1.1% |
| Sum efficiency | 5.0% |

| Source | $\Delta BR (10^{-6})$ | ΔfL |
|---|-------------------------------|--------------------------------|
| Efficiency | ± 0.48 | ± 0.000 |
| PID | ± 0.10 | ± 0.002 |
| $\epsilon_{Lg}/\epsilon_{Tr} (\pm 3.5\%)$ | ± 0.00 | ± 0.009 |
| SXF rates | ± 0.05 | ± 0.001 |
| PDFs Shapes | ± 0.71 | ± 0.029 |
| Non resonant | $+ 1.16$ | $+ 0.027$ |
| Backgrounds | $- 1.21$ | $- 0.030$ |
| Nb of B bckgs | ± 0.17 | ± 0.008 |
| TOTAL | $+1.46$ | $+0.041$ |
| | -1.50 | -0.043 |
| Rounded up | (± 1.5) | (± 0.04) |

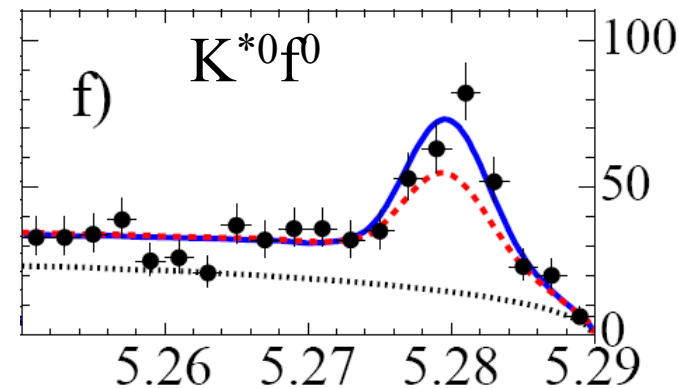
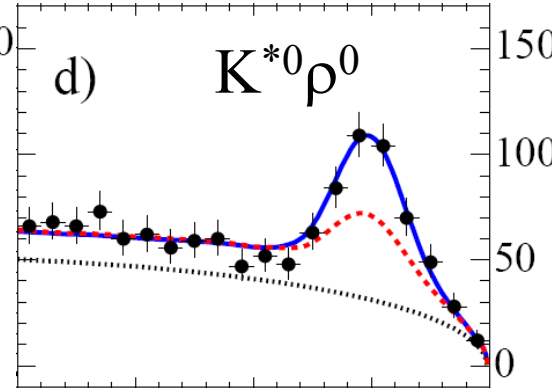
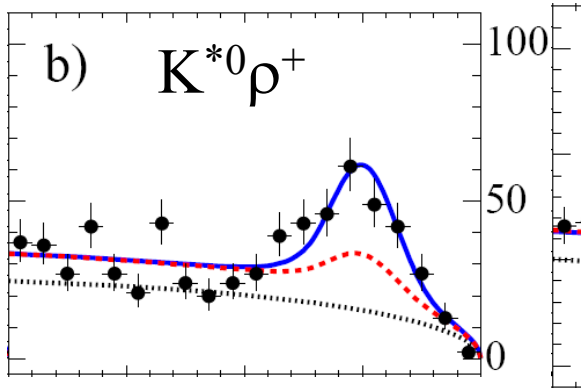
Résultats

(Phys. Rev. Lett. **97**, 201801 (2006))

- $\text{Br}(K^{*0}\rho^0) = [5.6 \pm 0.9(\text{stat}) \pm 1.3(\text{syst})] \cdot 10^{-6}$
- $f_L(K^{*0}\rho^0) = 0.57 \pm 0.09(\text{stat}) \pm 0.08(\text{syst})$
- $\text{Br}(K^{*0}f_0) = [2.6 \pm 0.6(\text{stat}) \pm 0.9(\text{syst})] \cdot 10^{-6}$
- $\text{Br}(K^{*0}\rho^+) = [9.6 \pm 1.7(\text{stat}) \pm 1.5(\text{syst})] \cdot 10^{-6}$
- $f_L(K^{*0}\rho^+) = 0.52 \pm 0.10(\text{stat}) \pm 0.04(\text{syst})$

→ 5.3 σ
→ 3.5 σ
→ 7.1 σ

$\text{Br}(H_{120} \rightarrow \gamma\gamma)$ au LHC:
comparaison: $2 \cdot 10^{-3}$

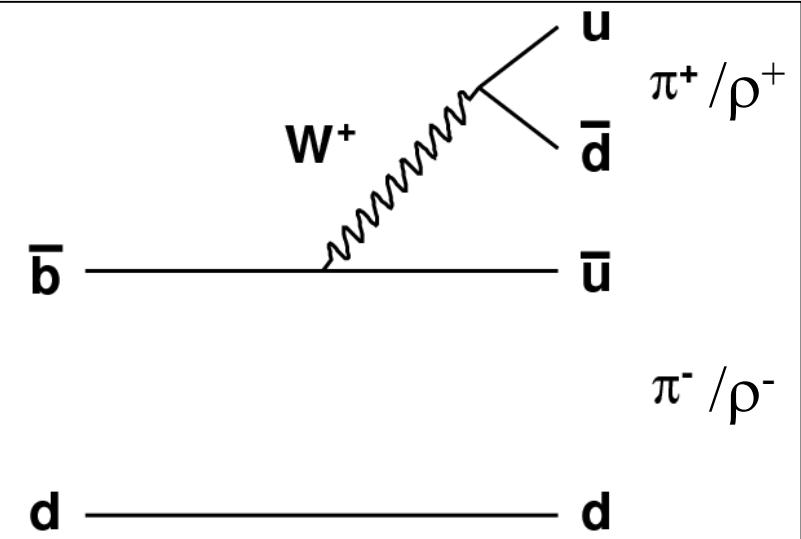


$$A_{CP} \equiv \frac{N(\bar{B}^0 \rightarrow K^{*0}\rho^0) - N(B^0 \rightarrow \bar{K}^{*0}\rho^0)}{N(\bar{B}^0 \rightarrow K^{*0}\rho^0) + N(B^0 \rightarrow \bar{K}^{*0}\rho^0)}$$

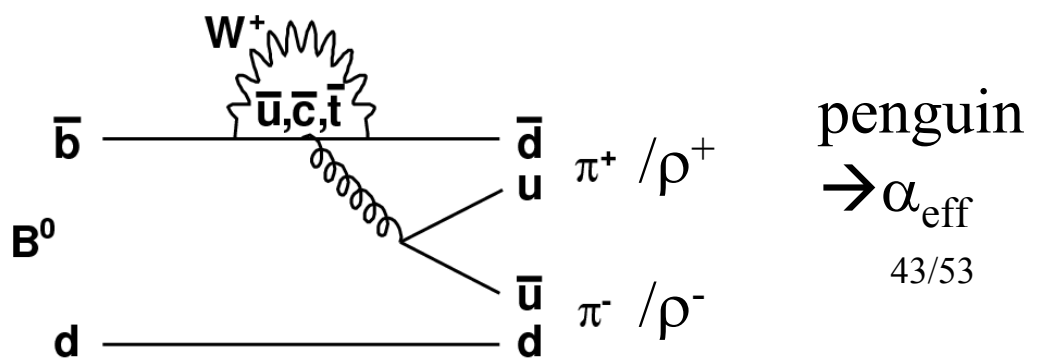
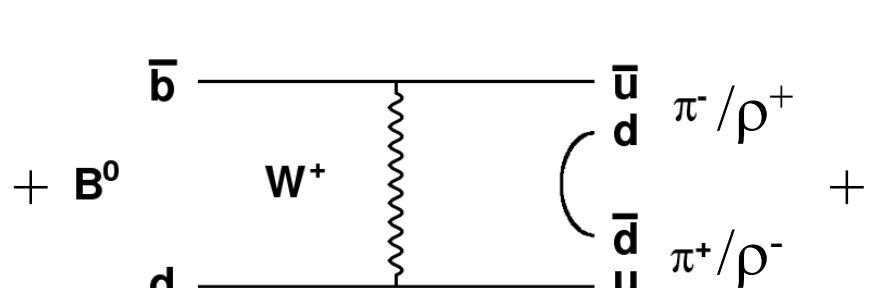
- $a_{CP}(K^{*0}\rho^0) = [0.09 \pm 0.19(\text{stat}) \pm 0.02(\text{syst})]$
- $a_{CP}(K^{*0}f_0) = [-0.17 \pm 0.28(\text{stat}) \pm 0.02(\text{syst})]$
- $a_{CP}(K^{*0}\rho^+) = [-0.01 \pm 0.16(\text{stat}) \pm 0.02(\text{syst})]$

- $K^{*0}\rho^0$ pour la 1^{ère} fois, rapport $K^{*0}\rho^+/K^{*0}\rho^0$ compatible avec isospin
- $f_L \sim \text{compatible } K^{*0}\phi$
- Asymétries faibles

Extraction of α

$$\alpha = \arg \left(-\frac{V_{td} V_{tb}^*}{V_{ud} V_{ub}^*} \right)$$


- $B^0/\bar{B}^0 \rightarrow \pi^+\pi^-$
- $B^0/\bar{B}^0 \rightarrow \rho^\pm\pi^\mp$
- $B^0/\bar{B}^0 \rightarrow \rho^+\rho^-$



penguin
 $\rightarrow \alpha_{\text{eff}}$
 43/53

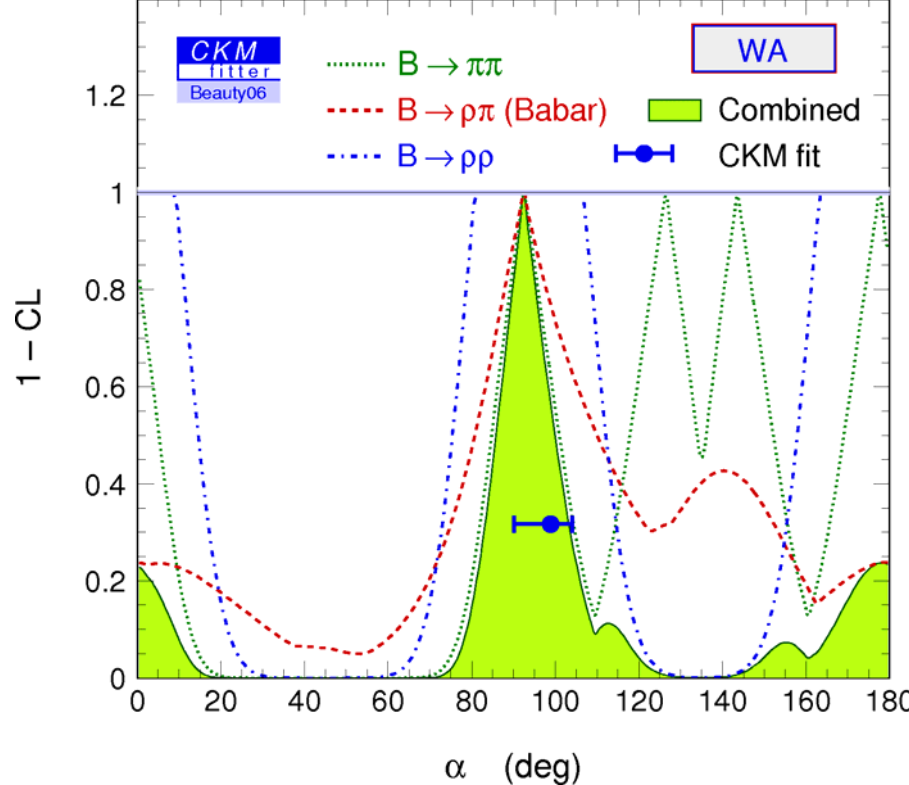
$B^0 \rightarrow \rho^+ \rho^-$

Mesurer α :

- $B^0/\bar{B}^0 \rightarrow \pi^+ \pi^-$
- $B^0/\bar{B}^0 \rightarrow \rho^\pm \pi^\mp$
- $B^0/\bar{B}^0 \rightarrow \rho^+ \rho^-$

Beauty 2006
 $\alpha = 92.6^{+10.7}_{-9.3} \text{ }^\circ$

$\rightarrow \rho^+ \rho^-$



Mélange B^0 - \bar{B}^0

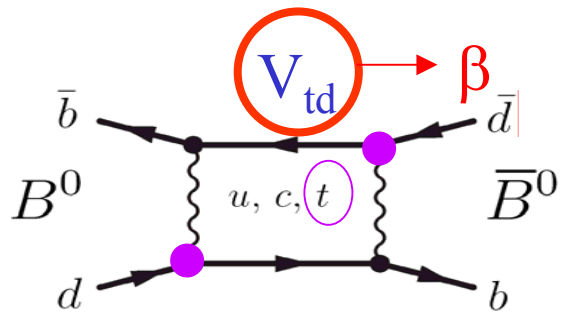


Diagramme arbre

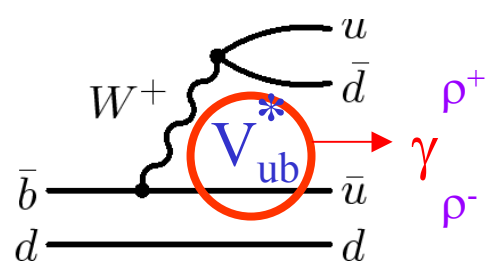
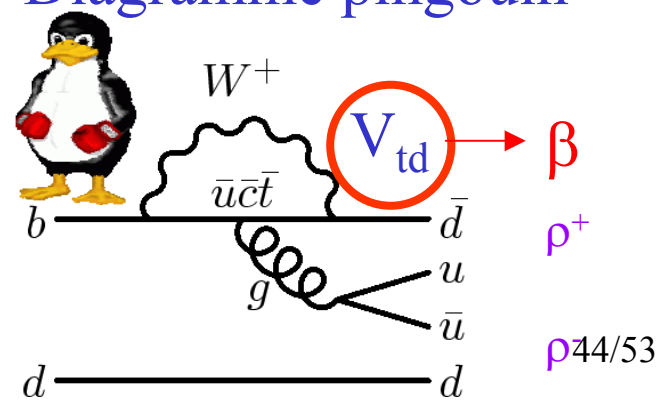


Diagramme pingouin

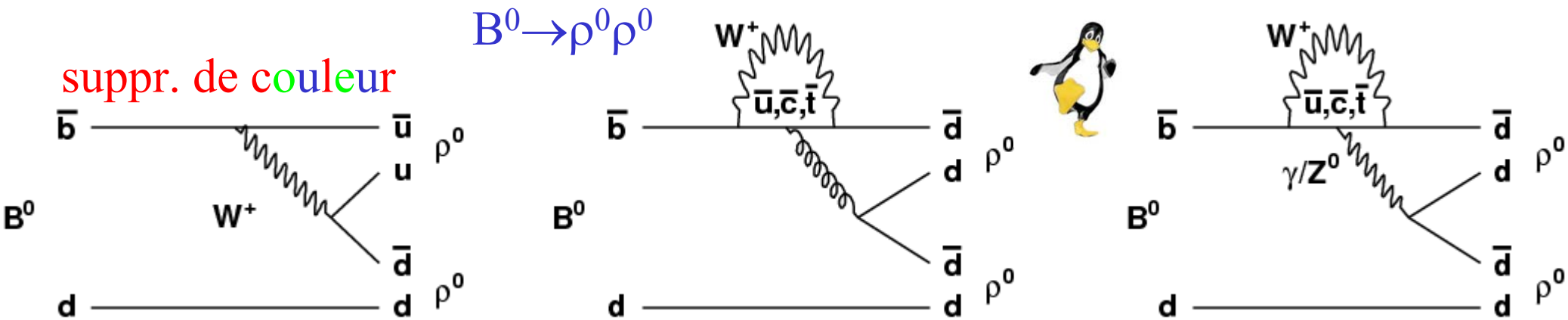
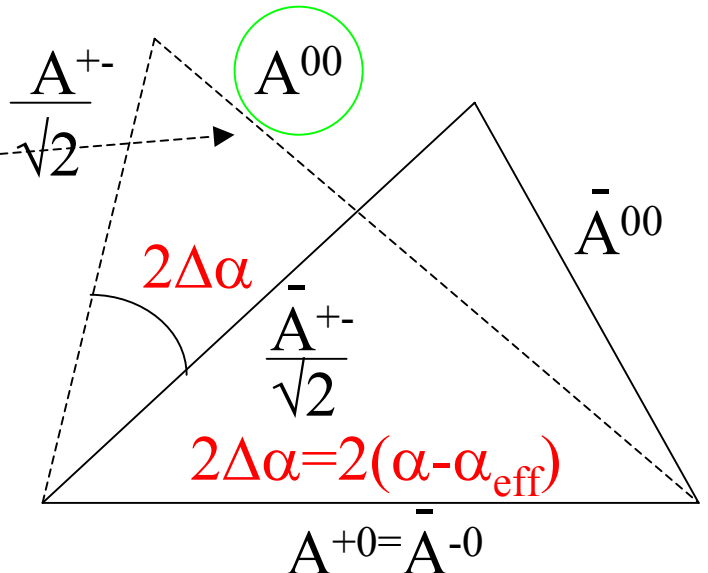


p^{44/53}

$B^0 \rightarrow \rho^0 \rho^0$

pingouin important $\rightarrow \alpha_{\text{eff}}$ mesuré
 solution, analyse d'isospin, mesure C et S de $\rho^0 \rho^0$

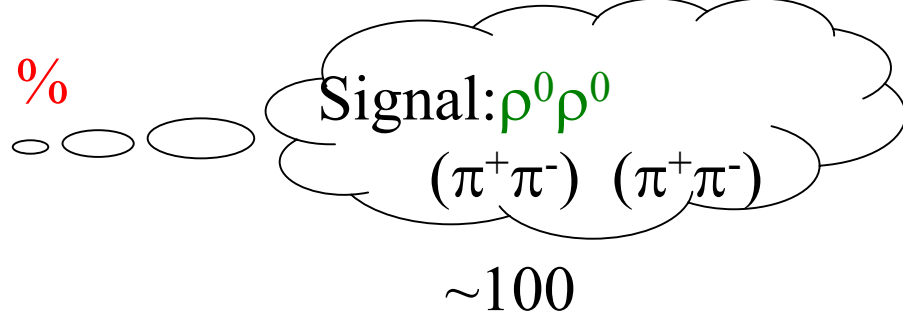
$$a_{CP}(t) = [C_f] \cos \Delta m t + [S_f] \sin \Delta m t$$



Background

S/B~0.15 %

- Continuum~58000
 $(e^-e^+ \rightarrow u, d, s, c)$



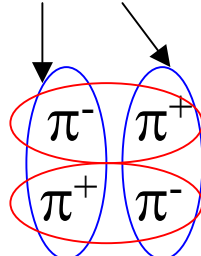
- B dominant background~220

$$\left. \begin{array}{l} \rho^0 f_0 \sim 20 \\ f_0 f_0 \sim 0 \\ a_1 \pi \sim 200 \end{array} \right\}$$

Reducible background~3200

$$\left. \begin{array}{l} \text{final particle} \neq \\ \text{mimic pdfs} \\ \text{charm} \sim 3000 \\ \text{charmless} \sim 200 \end{array} \right\}$$

$B \rightarrow \rho^0\rho^0 \rightarrow$ symmetrization for $B \rightarrow \rho^0\rho^0, a_1^{+/-}\pi^{-/+}, \rho^0f_0$



- K^*0f_0
 - K^*0r_0 long
 - K^*0r_0 trans
 - $\eta'K$
 - $a_1^0\pi^+$
 - $\rho^0\pi^+$
 - $\rho^0\rho^+$ long
- yield fixed

bckg: C and S fixed to 0, $a_1\pi : C_{\text{eff}}, S_{\text{eff}}$ fixed to last result

The maximum likelihood fit

Unbinned extended maximum likelihood fit

$$-\ln L = \sum_{tag \ cat \ i} \left(N_{sig} \epsilon_{tag_i}^{sig} \prod_{obs_j} PDF_{sig_j} + N_{cont} \epsilon_{tag_i}^{cont} \prod_{obs_j} PDF_{cont_j} + \sum_{B \ bck_k} N_B^k \epsilon_{tag_i}^{Bbck_k} \prod_{obs_j} PDF_B^k \ bck_j \right)$$

$$PDF_{signal} = f_L \left[(1 - SxF_{Lg}) PDF_{Lg}^{pur} + SxF_{Lg} PDF_{Lg}^{SxF} \right] + (1 - f_L) \left[(1 - SxF_{Tr}) PDF_{Tr}^{pur} + SxF_{Tr} PDF_{Tr}^{SxF} \right]$$

Symmetrization for appropriate backgrounds

$$PDF_{sym} = \frac{PDF(\pi_1^+ \pi_1^-, \pi_2^+ \pi_2^-) + PDF(\pi_1^+ \pi_2^-, \pi_1^- \pi_2^+)}{2}$$

Time decay distribution

$$F_{Q_{tag}}^{\rho^0 \rho^0}(\Delta t) \sim \frac{e^{-|\Delta t|/\tau}}{4\tau} \{ 1 - Q_{tag} \Delta w + Q_{tag} \mu (1 - 2\omega) + (Q_{tag}(1 - 2w) + \mu(1 - Q_{tag} \Delta \omega)) [S \sin(\Delta m_d \Delta t) - C \cos(\Delta m_d \Delta t)] \}$$

+1: B^0 , -1: \bar{B}^0

$\mu \neq$ tagging efficiency

ω :mis-tagging frac: $(B^0 + \bar{B}^0)/2$

$\Delta\omega \neq$ of mis-tagging frac ($B^0; \bar{B}^0$)

$$(\omega, \Delta\omega) \rightarrow \begin{cases} \text{mistagging fraction } \bar{B}^0 \\ \text{mistagging fraction } B^0 \end{cases}$$

Efficacités et taux de mauvaise reconstruction

- $5.245 < m_{ES} < 5.29 \text{ GeV}$
- $-0.085 \text{ GeV} < \Delta E < 0.085 \text{ GeV}$
- $-2 < nno < 2$
- $0 < |\cos \theta| < 0.98$
- $0.55 < m_V < 1.05 \text{ GeV}$

$\rho^0\rho^0$ Lg : Eff : $22.11 \pm 0.08 \%$

SxF: $17.6 \pm 0.07 \%$

$\rho^0\rho^0$ Tr : Eff : $27.28 \pm 0.08 \%$

SxF: $3.08 \pm 0.03 \%$

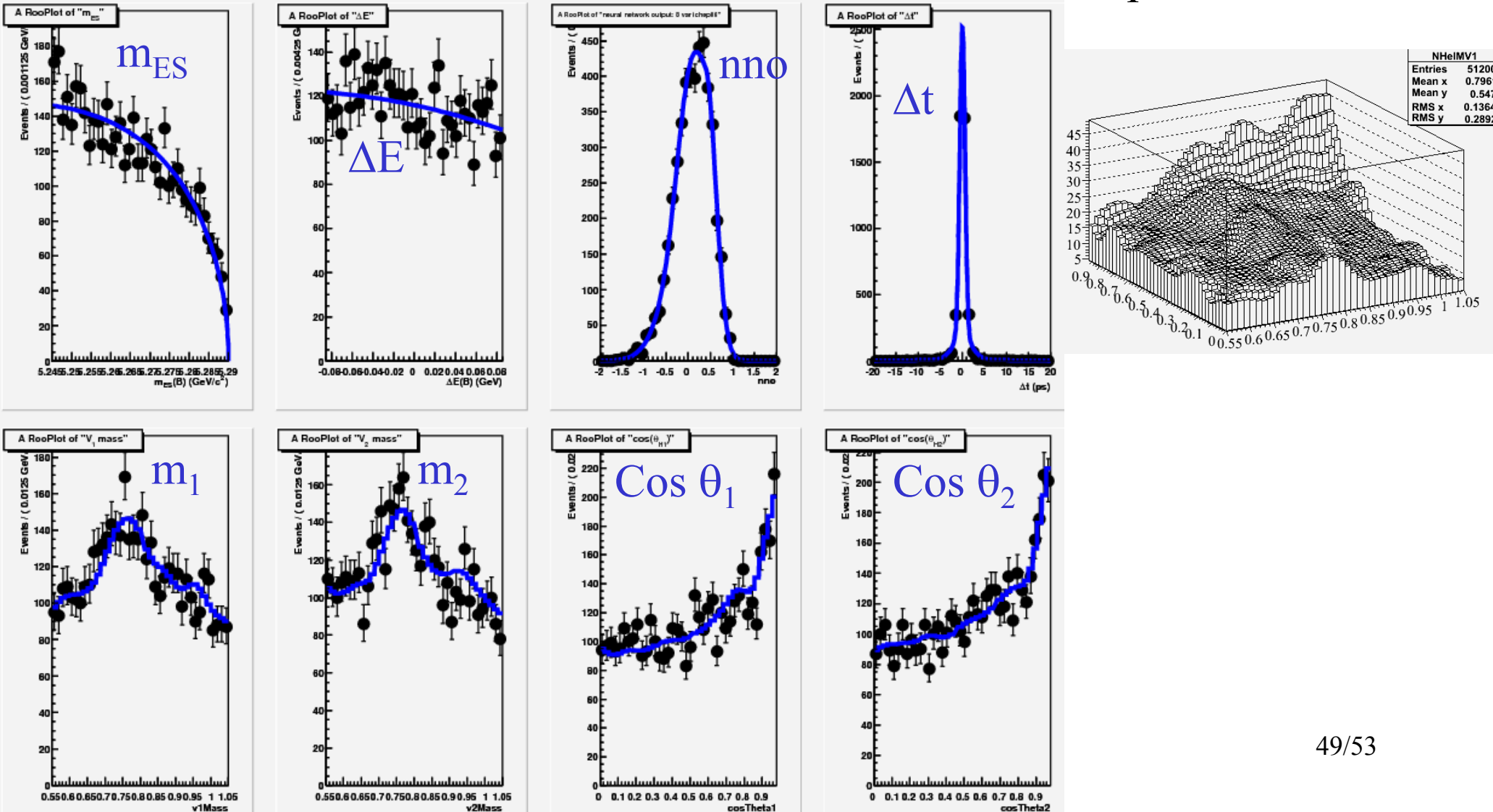
ρ^0f^0 : Eff: $24.71 \pm 0.02 \%$, SxF: $12.78 \pm 0.09 \%$

f^0f^0 : $27.19 \pm 0.08 \%$, SxF: $7.95 \pm 0.05 \%$

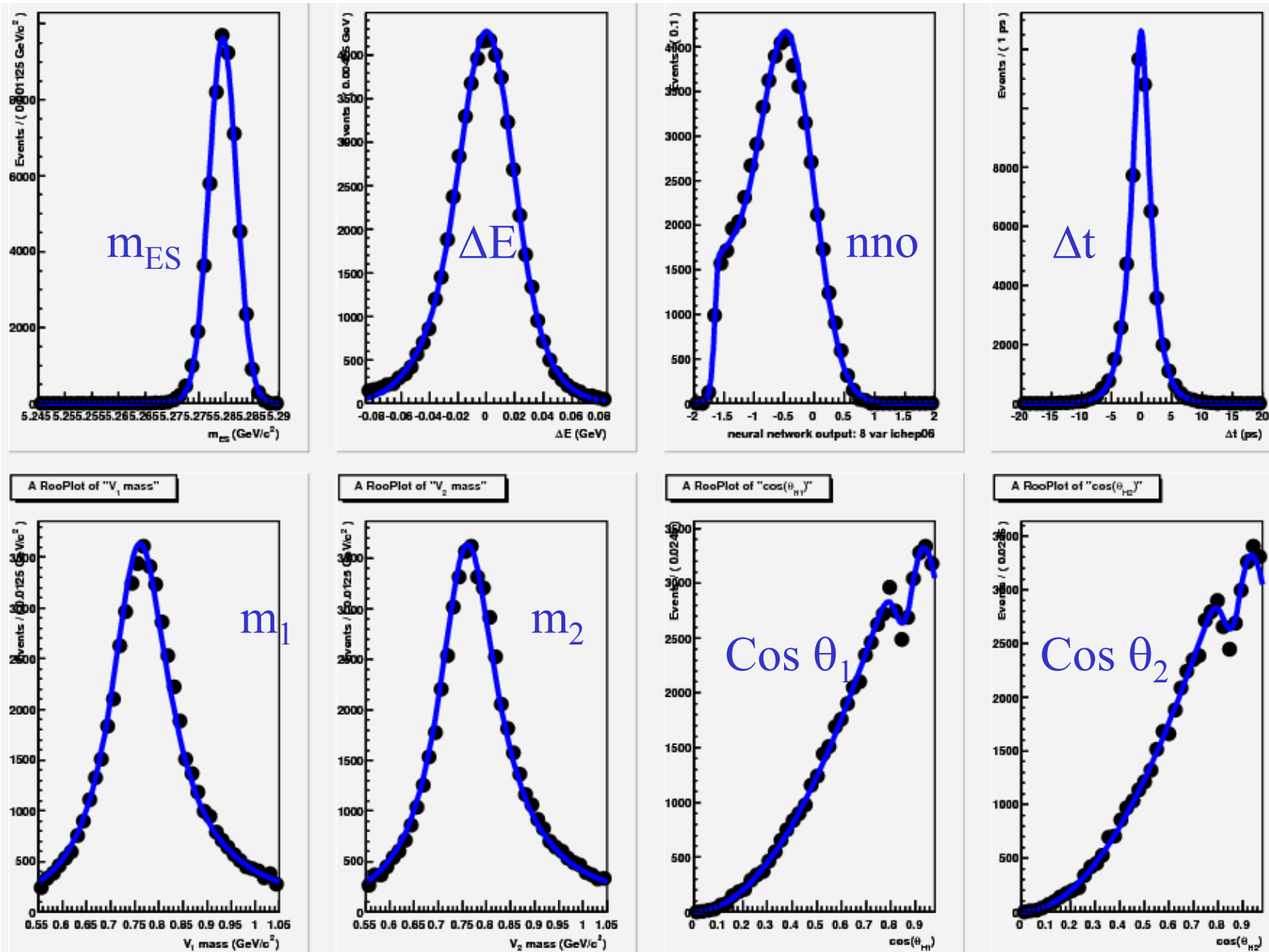
Pdfs for continuum

Mass-helicity:

- Use GSB from run1-5+offres
- Use a 2D parametrisation



Pdfs for pure signal Lg



Incertitudes

- B counting: $(383.634 \pm 2.211) 10^6$ BB → **1.1%** uncertainty on BR
- tracks: 1.3 % per track → 5.2 %

m_{ES} , ΔE (half)

| variable | $\Delta N_{\rho^0 \rho^0}$ | Δf_L | ΔS_L | ΔC_L | $\Delta N_{\rho^0 f_0}$ | $\Delta N_{f_0 f_0}$ |
|----------|----------------------------|--------------|--------------|--------------|-------------------------|----------------------|
| m_{ES} | -3.40 | -0.01 | -0.07 | 0.01 | 1.45 | -0.06 |

SxF rate

| variable | $\Delta N_{\rho^0 \rho^0}$ | Δf_L | ΔS_L | ΔC_L | $\Delta N_{\rho^0 f_0}$ | $\Delta N_{f_0 f_0}$ |
|----------|----------------------------|--------------|--------------|--------------|-------------------------|----------------------|
| SxF | 0.22 | 0.00 | 0.00 | -0.00 | -0.01 | -0.00 |

+PDFs

+yields charmless

+efficacités tagging

+C et S dans $\rho^0 f^0$, $f^0 f^0$, a1 π

+interférence a1pi (Loïc Estève, [nouveau thésard Saclay])

Résultats

$384 \cdot 10^6 \text{ BB}$

(Collaboration LBL, J. Hopkins, Saclay)

i) Analyse indépendante du temps

évidence ($3,5 \sigma$), pour la 1^{ère} fois

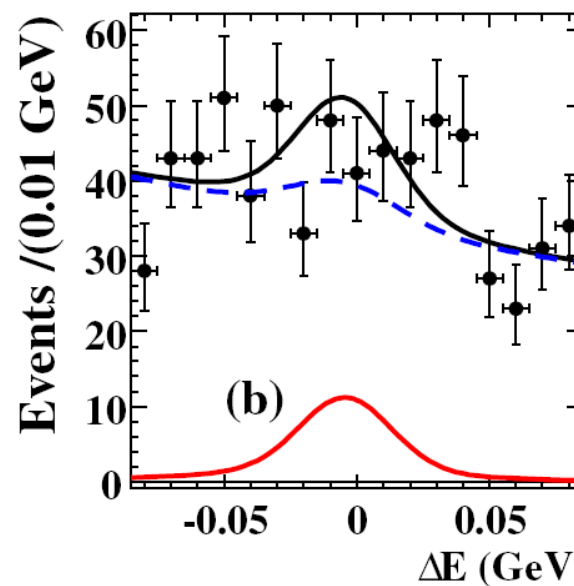
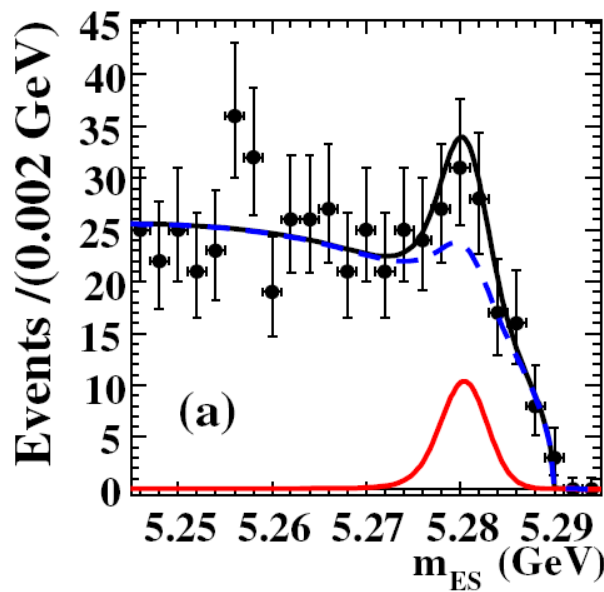
$$\text{Br}(\rho^0 \rho^0) = (1,07 \pm 0,33 \pm 0,19) \times 10^{-6}$$

$$f_L = 0,87 \pm 0,13 \pm 0,04$$

$$|\Delta\alpha| < 18^\circ \text{ (68% CL)}$$

$$100 \pm 32 \pm 17 \rho^0 \rho^0$$

PRL 98, 111801



dominant systematic:
Interference w/ $a_1 \pi$

Intérêt de mesurer C et S

Analyse=f(t)

t: diff temps désint B^0/\bar{B}^0

en cours

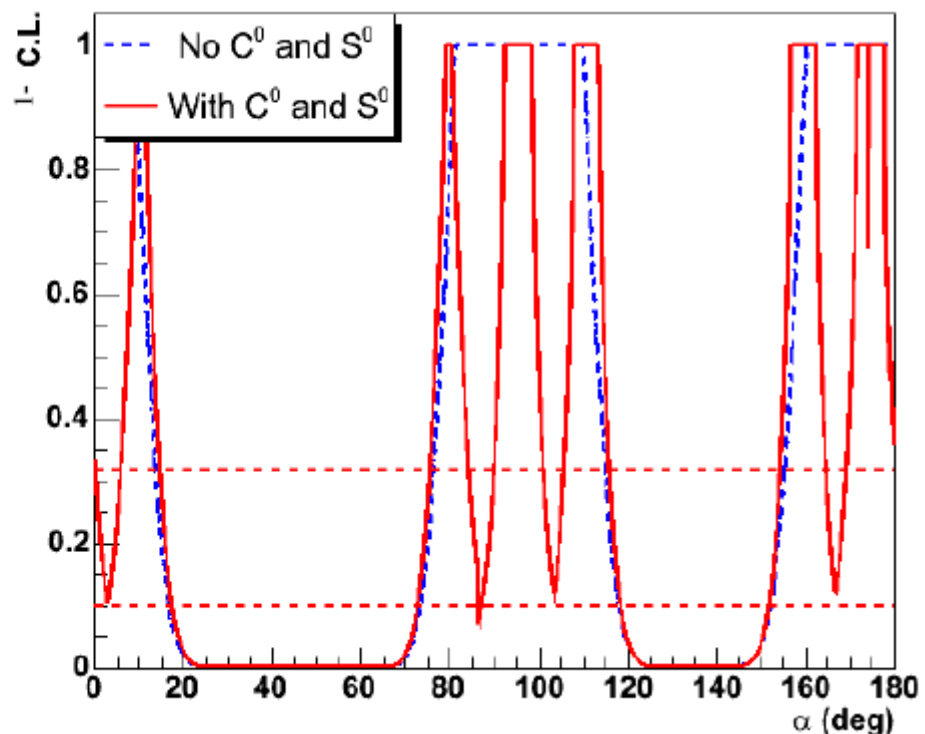
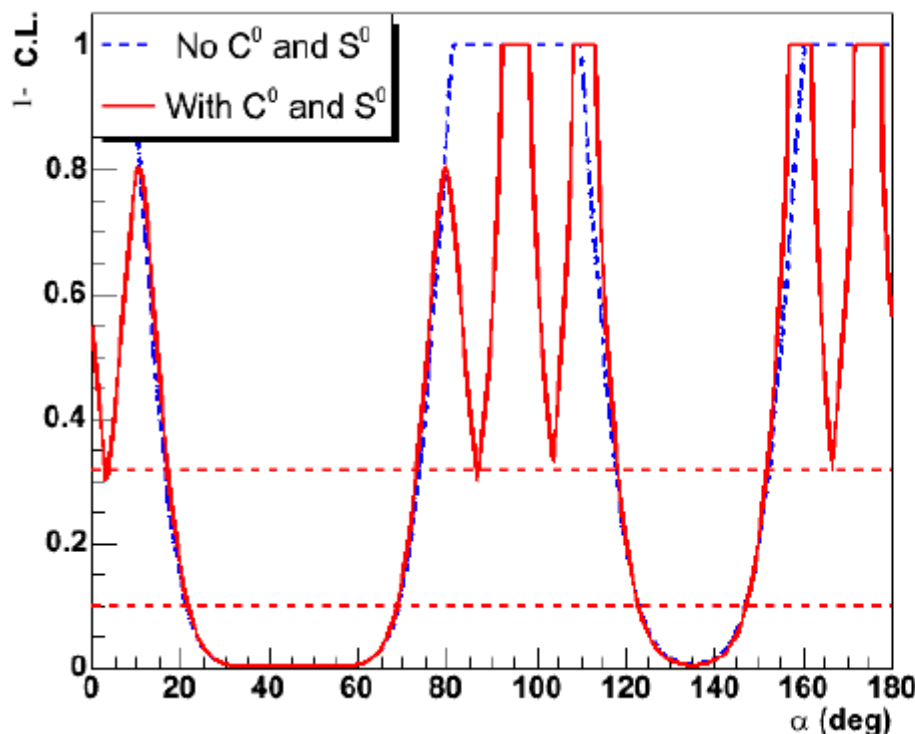
$$S = (0,0) \pm 0,7 \pm 0,06$$

$$C = (0,0) \pm 0,6 \pm 0,06$$

$$S = (0,0) \pm 0,42 \pm 0,05$$

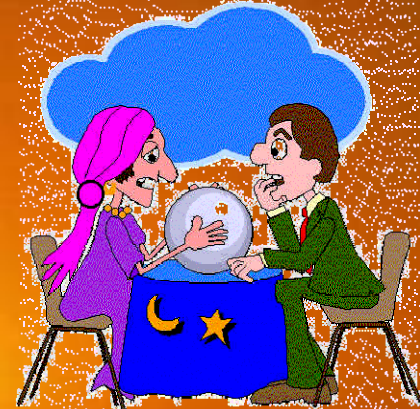
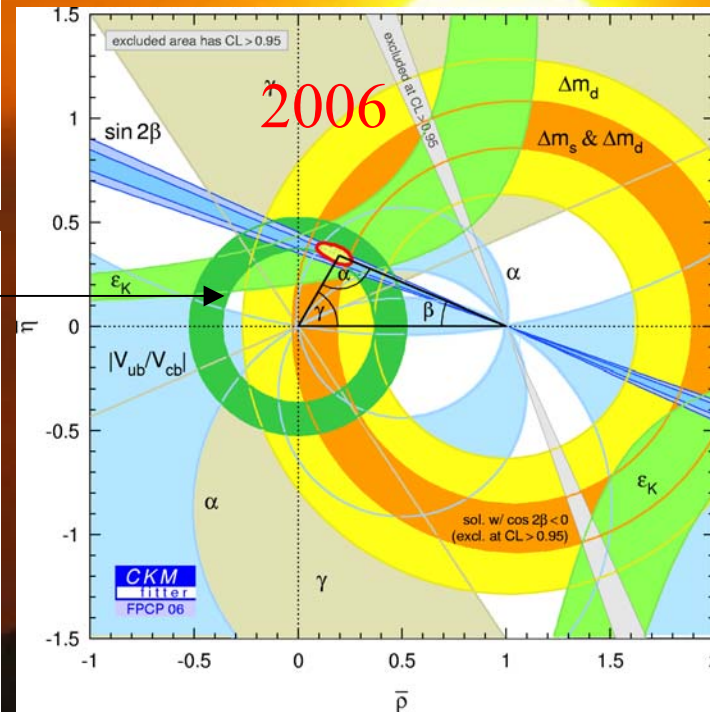
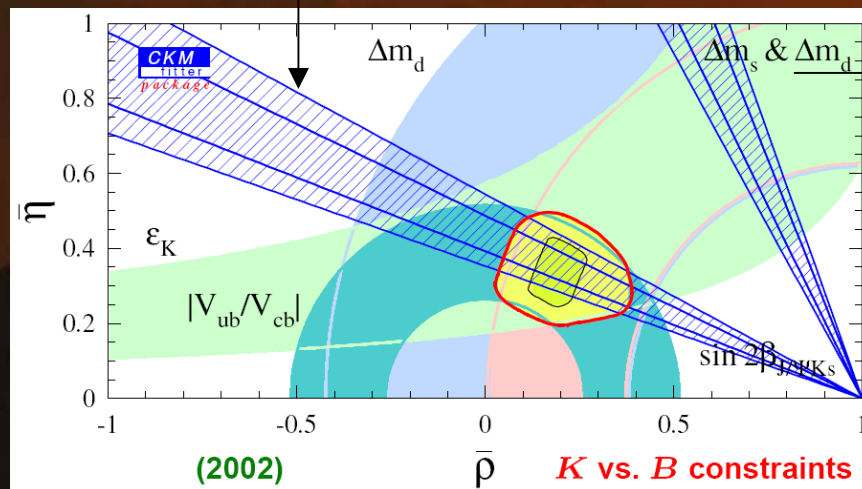
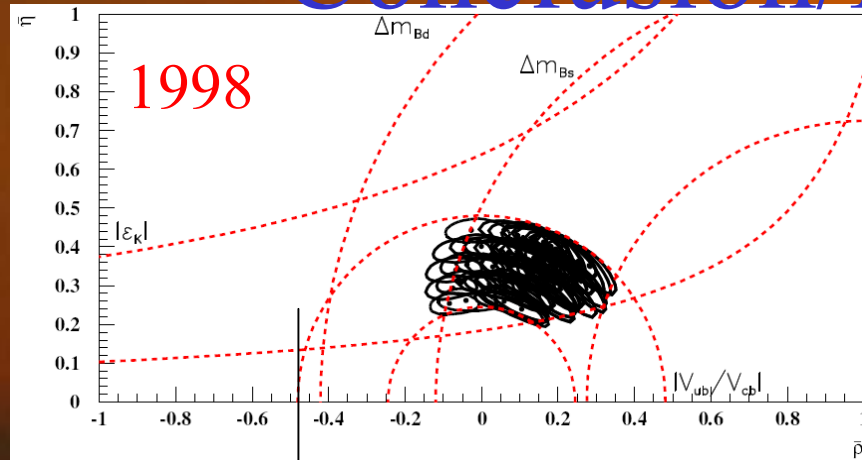
$$C = (0,0) \pm 0,36 \pm 0,05$$

(limité statistique)



Plan: mesures pour conférences été 2007

Conclusion/Perspectives



- $B \rightarrow K^* 0 \rho^{0/+}$
- $B \rightarrow \rho^0 \rho^0$

bcp de chemin parcouru depuis 1998

Davantage encore avec les futurs run6, ... → 2008 (Babar $\sim 1 \text{ ab}^{-1}$)

Dans le Modele Standard, la violation de CP est expliquee par la presence de termes complexes dans la matrice CKM. L'unitarite de cette matrice impose l'existence d'un triangle (dit d'unitarite) dont les cotes et angles sont mesurees par les experiences. Apres une breve revue des analyses pour la determination des angles, je presenterai mon travail d'etude des canaux $B^0 \rightarrow K^*0 \rho^0$ et $B^0 \rightarrow \rho^0 \rho^0$, permettant pour ce dernier d'ameliorer la determination de l'angle alpha

appendice

$$\begin{aligned}
A(B^- \rightarrow D^0(K^+\pi^-)K^-) &= abr_D \\
A(B^- \rightarrow \bar{D}^0(K^+\pi^-)K^-) &= abr_B e^{i(\delta_f + \delta_D)} e^{-i\gamma} && \text{rapport suppr/ favor} \\
A(B^+ \rightarrow D^0(K^-\pi^+)K^+) &= abr_B e^{i(\delta_f + \delta_D)} e^{i\gamma} && r_D = |A(D^0 \rightarrow K^+\pi^-)/A(D^0 \rightarrow K^-\pi^+)| \\
A(B^+ \rightarrow \bar{D}^0(K^-\pi^+)K^+) &= abr_D
\end{aligned}$$

$$\begin{aligned}
Br(B^- \rightarrow D(K^+\pi^-)K^-) + Br(B^+ \rightarrow D(K^-\pi^+)K^+) &= 2a^2 b^2 (r_D^2 + r_B^2 + 2r_B r_D \cos(\delta_D + \delta_f) \cos \gamma) \\
Br(B^- \rightarrow D(K^+\pi^-)K^-) - Br(B^+ \rightarrow D(K^-\pi^+)K^+) &= 4a^2 b^2 r_B r_D \sin(\delta_D + \delta_f) \sin \gamma
\end{aligned}$$

Deux quantités mesurant γ

- Asymétrie de CP

$$A_{ADS} = \frac{Br(B^- \rightarrow D(K^+\pi^-)K^-) - Br(B^+ \rightarrow D(K^-\pi^+)K^+)}{Br(B^- \rightarrow D(K^+\pi^-)K^-) + Br(B^+ \rightarrow D(K^-\pi^+)K^+)} = \frac{2r_B r_D \sin(\delta_D + \delta_f) \sin \gamma}{r_D^2 + r_B^2 + 2r_B r_D \cos(\delta_D + \delta_f) \cos \gamma}$$

- $R_{CP\pm}$

$$R_{ADS} = \frac{Br(B^- \rightarrow D(K^+\pi^-)K^-) + Br(B^+ \rightarrow D(K^-\pi^+)K^+)}{[Br(B^- \rightarrow D^0(K^-\pi^+)K^-) + Br(B^+ \rightarrow \bar{D}^0(K^+\pi^-)K^+)]} = r_B^2 + r_D^2 + 2r_B r_D \cos(\delta_B + \delta_D) \cos \gamma$$

Silva-Wolfenstein method (SU(3))

SU(3) symmetry: $B^0 \rightarrow K^+ \pi^-$, $B^0 \rightarrow \pi^+ \pi^-$

$$\Gamma(B^0 \rightarrow \pi^+ \pi^-) = |T^{+-}|^2 + |P^{+-}|^2 + 2|T^{+-}||P^{+-}| \cos(\beta + \gamma - \delta)$$

$$\Gamma(B^0 \rightarrow K^+ \pi^-) = |T'^{+-}|^2 + |P'^{+-}|^2 - 2|T'^{+-}||P'^{+-}| \cos(\gamma + \epsilon' - \epsilon - \delta')$$

$\epsilon' = \arg\left(-\frac{V_{us} V_{ud}^*}{V_{cs} V_{cd}^*}\right)$

$\epsilon = \arg\left(-\frac{V_{cb} V_{cs}^*}{V_{tb} V_{ts}^*}\right)$

- $$R = \frac{\Gamma(B^0 \rightarrow K^+ \pi^-) + \Gamma(\bar{B}^0 \rightarrow K^- \pi^+)}{\Gamma(B^0 \rightarrow \pi^+ \pi^-) + \Gamma(\bar{B}^0 \rightarrow \pi^+ \pi^-)}$$

$$= \frac{|T'^{+-}|^2}{|T^{+-}|^2} \frac{1 + r'^2 + 2r' \cos(\alpha + \beta + \epsilon + \epsilon') \cos \delta'}{1 + r^2 - 2r \cos \alpha \cos \delta}$$

from $J/\psi/K_S$

- $a_{CP}(\pi^+ \pi^-) = -\sin 2(\alpha + \delta_\alpha)$

$$\tan \delta_\alpha = \frac{r \sin \alpha}{1 - r \cos \alpha}$$

$\rightarrow \alpha$

advantage: easy to measure

« Trajectographe » de vertex (Silicon Vertex Tracker)

- $a_{CP} \rightarrow \Delta t$ (désintégrations) \rightarrow vertex 2 mésons, $\Delta z(B) \sim 260 \mu\text{m}$
- P_T traces chargées $P_T: 50-120 \text{ MeV}$ (R^{-1} trop \downarrow pour DCH)
- identification dE/dX (DCH)

Diffusion multiple : meilleure résolution couche internes

$P_T < 100 \text{ MeV}$: n'atteint pas DCH ($\varepsilon \uparrow$ pour $P_T > 180 \text{ MeV}$) \rightarrow SVTracker

$\sigma_z \gg O(\Delta z/2) \rightarrow \sigma_z < 80 \mu\text{m}$, silicium à micropistes

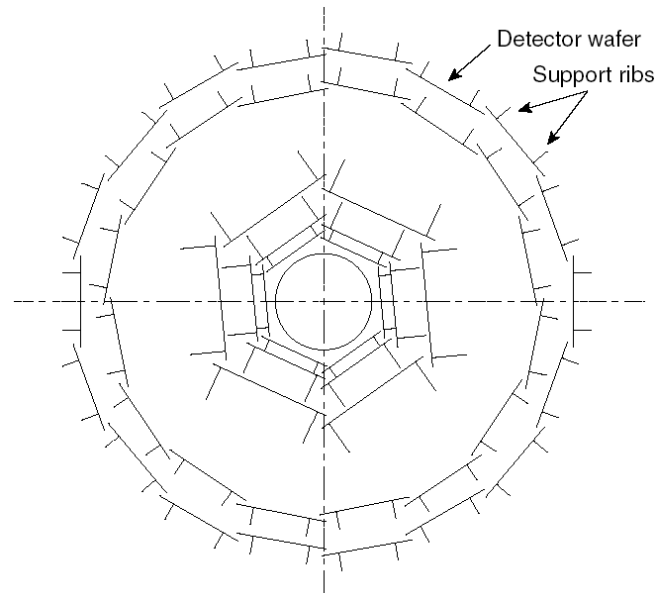
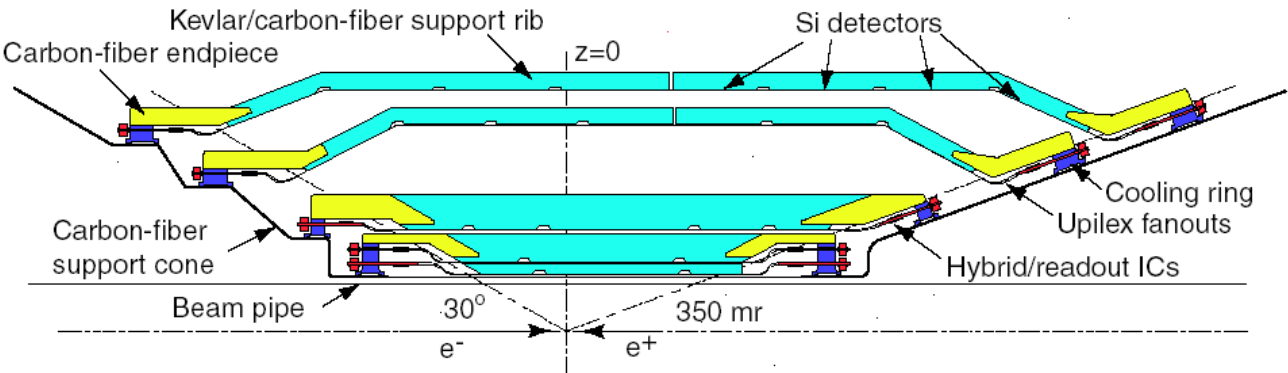
meilleure $\sigma_z \rightarrow$ reconnaissance motifs, reconstruction vertex, rejet bruit

Limite par diffusion multiple \rightarrow couches internes $10-15 \mu\text{m}$, externes: $30-40 \mu\text{m}$



5 couches cylindriques

2 externes: en arche (couverture angulaire, angles incidence↓)



3 couches internes: 6 modules: paramètre impact

Faces internes: pistes \perp faisceaux → position longitudinale (z)

externes: pistes \parallel faisceaux → angle azimuthal (ϕ)

340 détecteurs silicium, 150000 canaux lecture, 90 % angle solide

Chambre à dérive (DCH)

particules chargées (impulsion et angles) acceptance: 17.2° - 152.6°

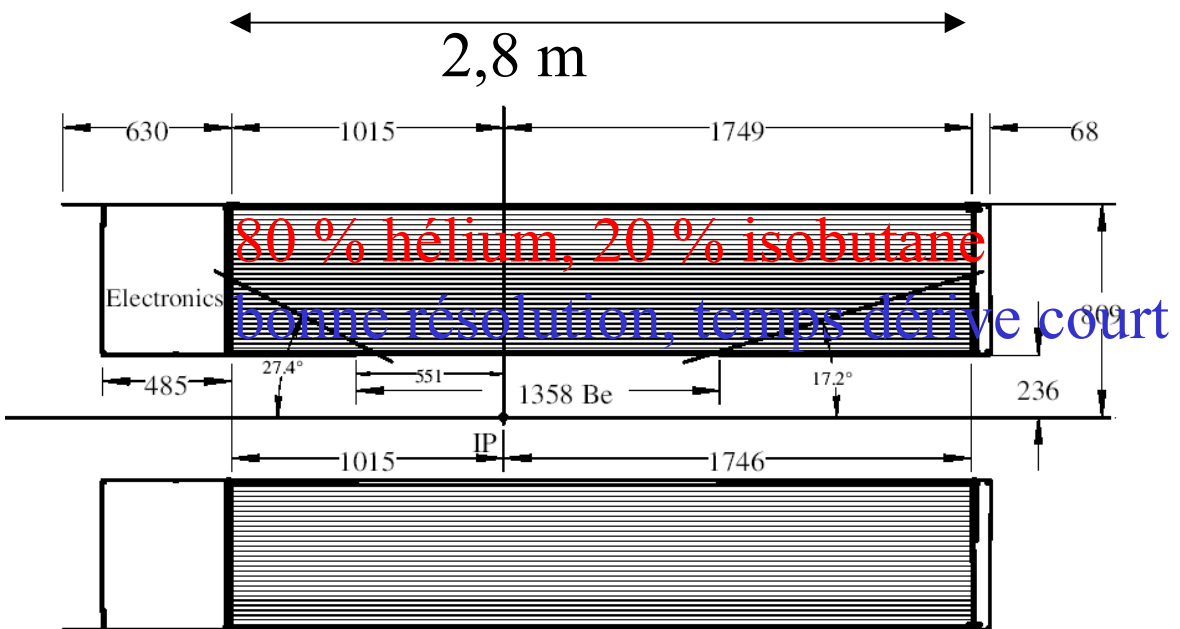
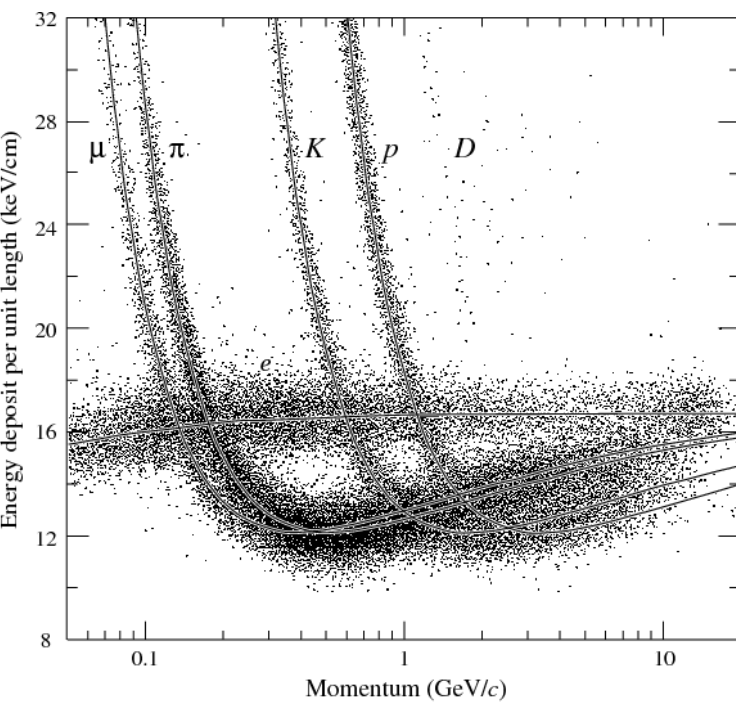
40 points de mesure par trace, $\sigma < 140 \mu\text{m}$

Avec SVT, reconstruction traces $P_T > 100 \text{ MeV}$

reconstruire vertex déplacé (non dans SVT) \rightarrow bonne résolution longitudinale

Identification particules (dE/dx) sépare π/K jusqu'à 700 MeV

$\downarrow P_T$: $\sigma: 7\%$, $\uparrow P_T > 1 \text{ GeV}$: $\sigma \sim 0,3\%$



- 1 fil capteur

20 µm, alliage tungstène-rhéinium

Résistivité ↓, résistance mécanique
ionisation gaz, avalanche

seuil détection: 2 e⁻ (1 trace~22 e⁻)

- 6 fils de champ

7104 cellules hexagonales, 11,9 x19,0 mm

10 super-couches (chacune 4 couches)

→jusqu'à 40 points de mesures

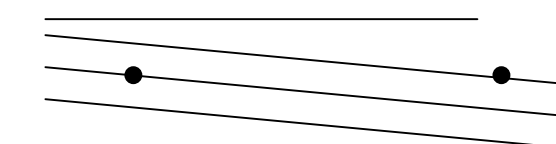
Mesure 3D: angle stereo super-couches:

alterne axiale, stereo (U-V)

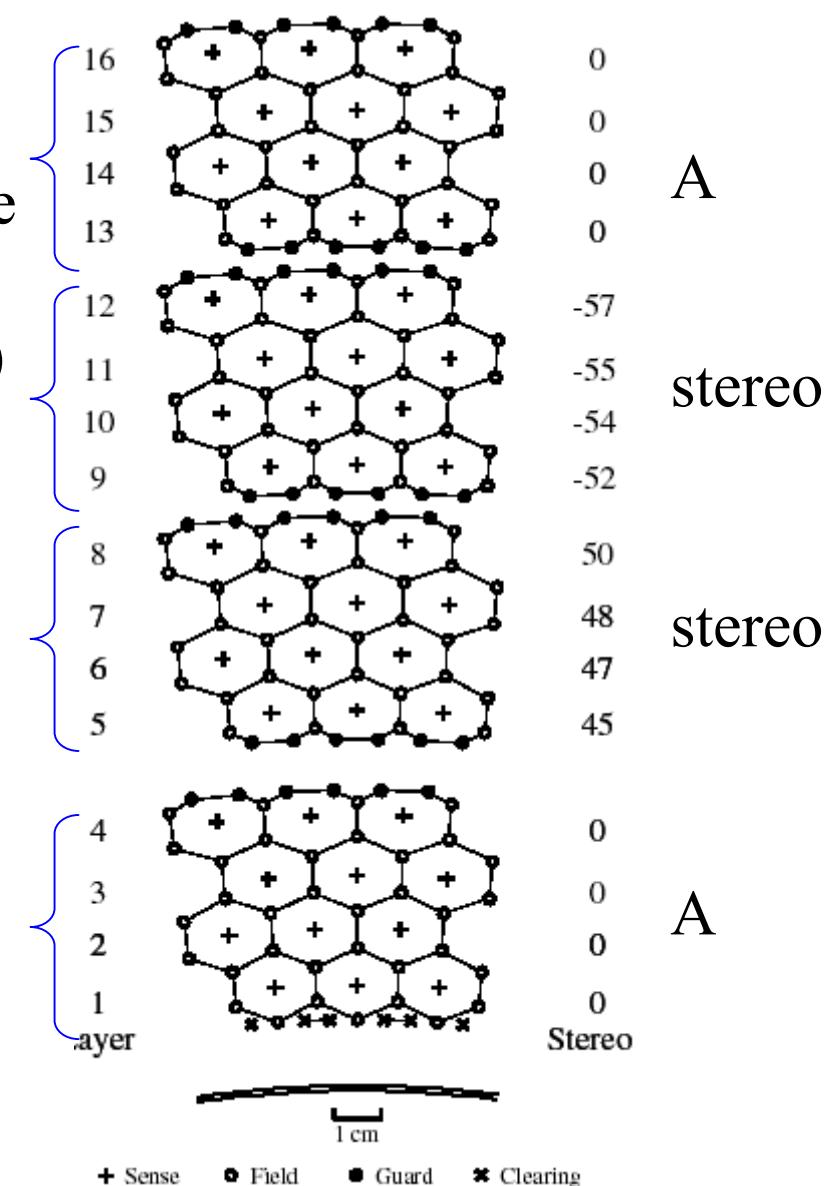
$\theta \sim [\pm 45 \text{ mrad}; \pm 76 \text{ mrad}]$

Axiales : angle courbure traces (impulsion)

Stereo: en plus: position longitudinale



→ position longitudinale



Résolution temporelle: 1 ns → 140 µm

DIRC: (detection of Internally Reflected Cerenkov light)

Identification particules chargées, distingue $\pi^{+/-}/K$

(P_T :[0,7 GeV;4 GeV]), p ($P>1.3$ GeV)

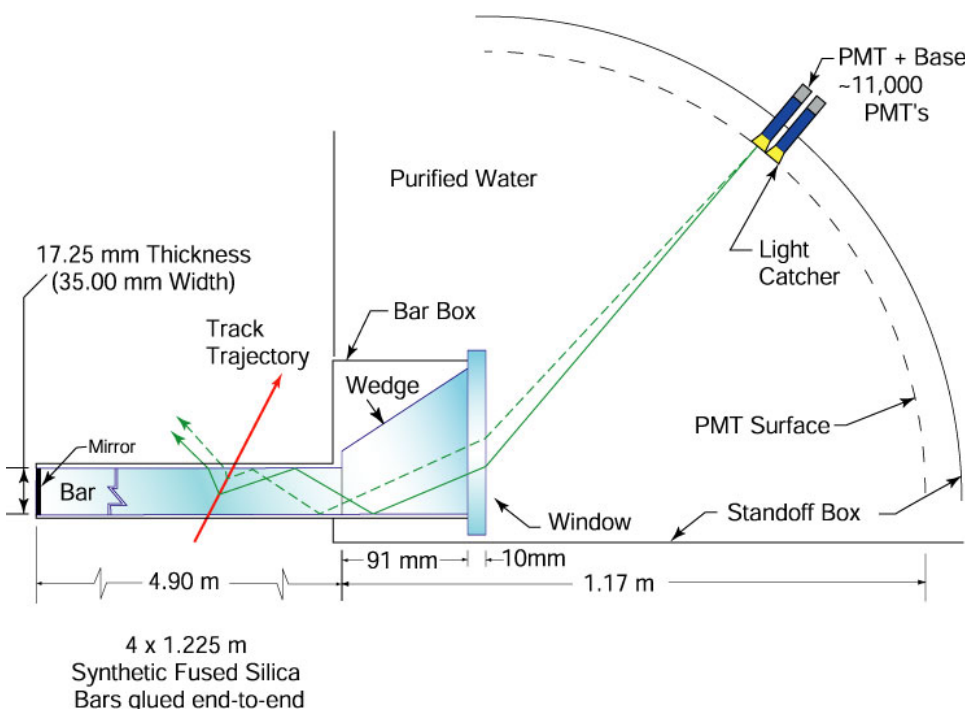
$K \rightarrow$ étiquetage saveur B ($b \rightarrow c \rightarrow s$)

Rayonnement Cerenkov particule chargée $\beta > 1/n$

SVT+DCH: p \rightarrow identification particule

$$\cos \theta_C = \frac{1}{\beta n}$$

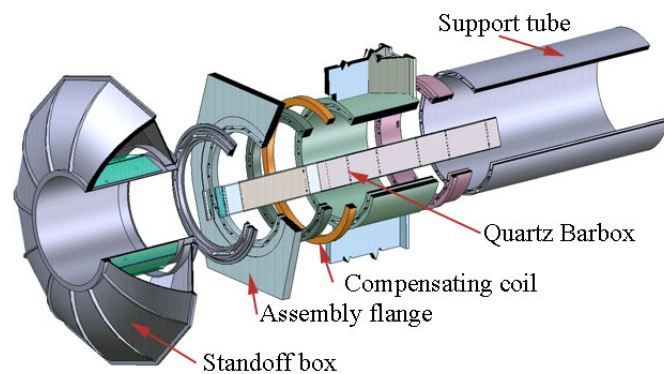
$$m^2 c^4 = \frac{1 - \beta^2}{\beta^2} p^2$$



radiateur 144 barres quartz (résistant radiations, longueur atténuation \uparrow , $n \uparrow$, dispersion chromatique faible)
lumière \rightarrow arrière détecteur
Prisme: rabat photons trop grand angle (réduit PMT), angle 6 mrad prisme
Ambiguïté parité réflexion

Cuve à eau (Stand Off Box)

Eau: indice proche quark, minimise perte réflexions quartz/eau
photons → 11000 PMT



Calorimètre électromagnétique

Gerbes électromagnétiques γ , π , η , position, énergie

20 MeV-9 GeV

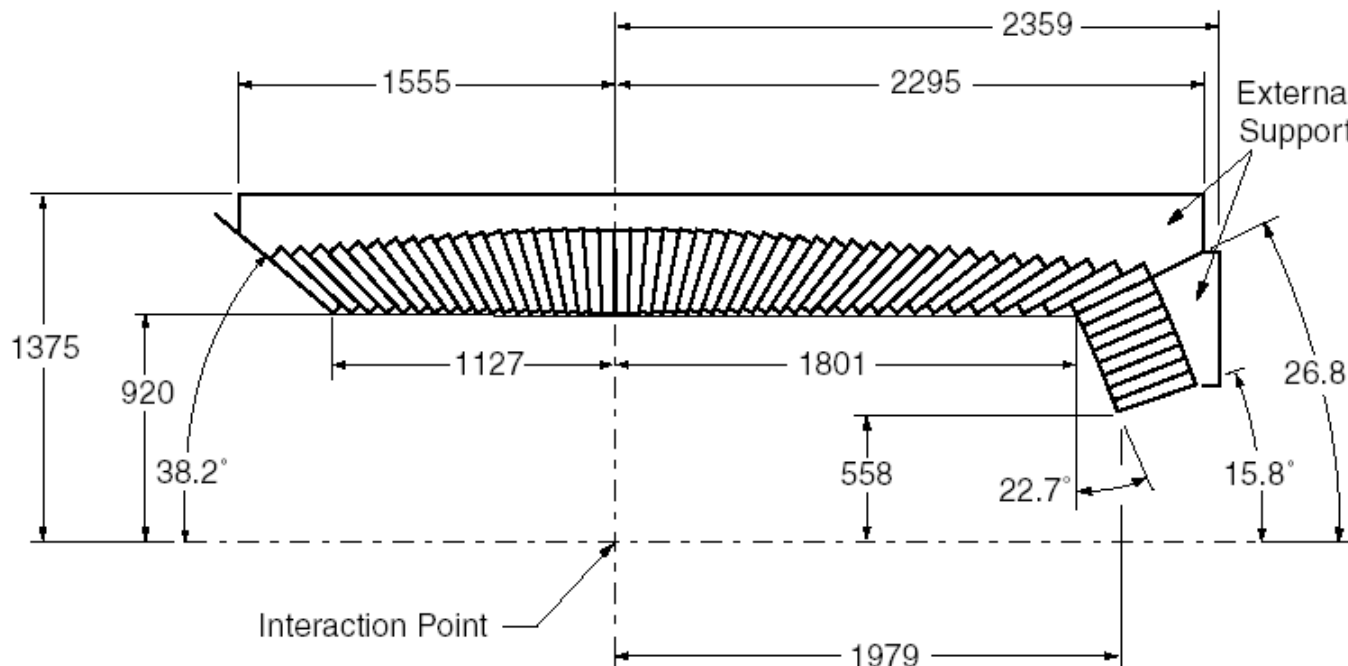
Identification e^- par E/p , permet de tagger B par lepton

Tonneau cylindrique, bouchon conique avant

5760 cristaux scintillation (48 colonnes suivant angle polaire)

Cristaux CsI: bonne production lumière (50000 γ/MeV)

Lumière scintillation lue par photodiodes silicium



solénoïde

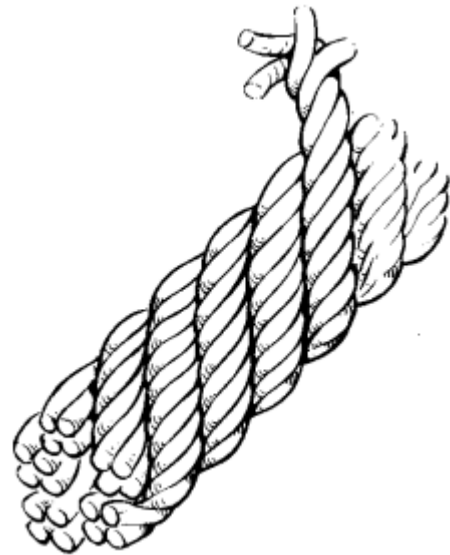
like the filaments in composite wires, cables
must be twisted to reduce coupling

1,5 T

Cable Rutherford 10 km

$I=4600\text{ A}$, hélium liquide 4.5 K

Retour de champ pour protéger aimants Q2, Q4, Q5



Retour de flux instrumenté

IFR(Instrumented Flux Return)

détecteur μ (étiquetage saveur B, désintégrations semi-leptoniques B)

$P_T > \text{GeV}$

Détection hadrons neutres (K_L^0, n)

RPC: Resistive Plate Chamber

RPC: détectent particule ionisante dans gaz \rightarrow étincelle entre deux plaques

